Titre: SSNS106 - Endommagement d'une plaque plane sous so[...] Responsable: Sébastien FAYOLLE

Date : 01/03/2013 Page : 1/63 Clé : V6.05.106 Révision : 10570

# SSNS106 – Endommagement d'une plaque en béton armé sous sollicitations variées avec la loi GLRC DM

#### Résumé:

Ce test valide le modèle d'endommagement de plaque en béton armé <code>GLRC\_DM</code> (voir [R7.01.32]) pour des chargements cycliques variés : traction/compression, flexion alternée, le cisaillement dans le plan et leurs combinaisons. Les analyses sont faites en statique (<code>STAT\_NON\_LINE</code>). Les résultats sont comparés avec ceux d'une modélisation multi-couches, dans laquelle on représente les aciers des nappes d'armature par l'élasticité et le béton par le modèle de comportement <code>ENDO\_ISOT\_BETON</code> (voir [R7.01.04]).

Ce test peut servir utilement de base de départ pour caler le paramétrage de ce modèle dans les diverses situations de chargement susceptibles de se produire en pratique.

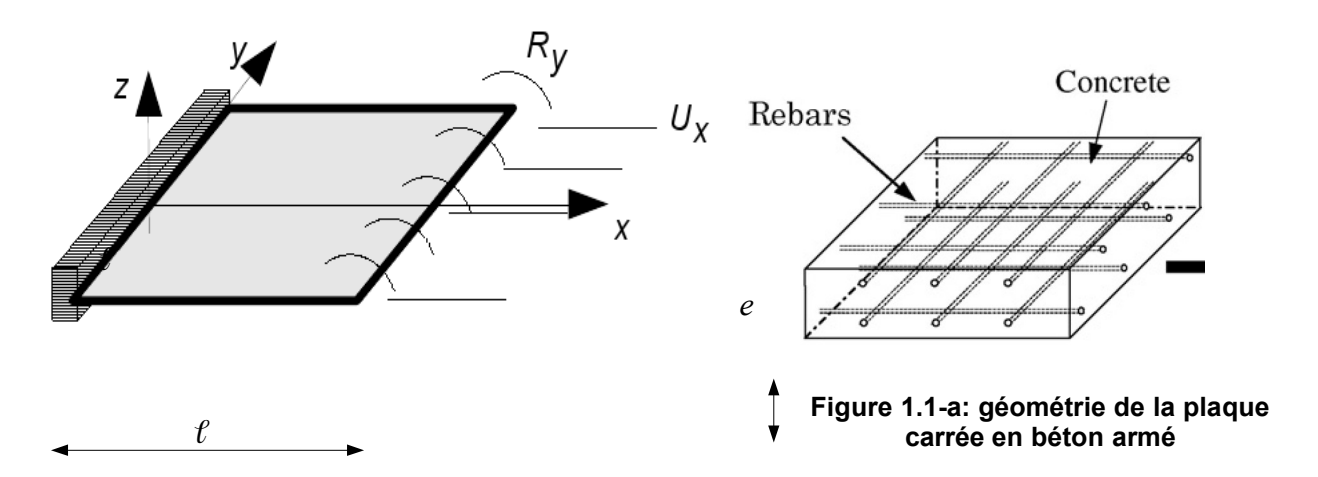
Pour compléter, on traite deux modélisations avec kit entre comportement <code>GLRC\_DM</code> et comportement élastoplastique avec écrouissage isotrope, afin de représenter l'apparition de déformations résiduelles comme attendu dans la réalité.

Les modélisations L et M testent la thermomécanique en prenant en compte des déformations thermiques équivalentes en terme d'efforts aux chargements mécaniques des modélisations A et B.

Date: 01/03/2013 Page: 2/63 Responsable: Sébastien FAYOLLE Clé: V6.05.106 Révision: 10570

## Problème de référence

#### 1.1 Géométrie



Longueur:  $\ell = 1.0 m$ ; Épaisseur: e = 0.1 m.

Enrobage des nappes d'armature inférieure et supérieure :  $0.01 \, m$ .

#### 1.2 Propriétés du matériau

Tous les paramètres du modèle GLRC DM, élastiques et non linéaires, sont identifiés à partir de tests correspondants dans les modélisations A et B, à l'exception du module de Young modifié dans le test D (cisaillement) afin de réduire l'erreur dans le domaine linéaire et ainsi mieux valider la partie endommagement.

C'est-à-dire qu'on identifie :

Module de Young effectif de membrane $E^m_{\acute{e}q}$
Coefficient de Poisson effectif de flexion $v_m$
Module de Young effectif de flexion $E^f_{\acute{e}q}$
Coefficient de Poisson effectif de membrane $ {\it v}_f $
Effort membranaire du seuil de fissuration en traction $N_{D}$ (noté $NYT_{\it GLRC}$ )
Coefficient d'endommagement en traction $\gamma_{\it mt}$
Moment fléchissant du seuil de fissuration en flexion ( $M_{D}$ noté $MYF_{\it GLRC}$ )
Coefficient d'endommagement en flexion $ \gamma_{ f} $

Ces paramètres sont calculés à partir des caractéristiques des matériaux acier (modèle élastoplastique  $E_a$  ,  $\sigma_e^{acier}$  ,  $E_{ecr}^{acier}$  ) et béton (via le modèle <code>ENDO\_ISOT\_BETON</code>  $E_b$  ,  $\nu_b$  ,  $\gamma_{\it EIB}$ ,  $\mathit{SYT}_\mathit{EIB}$  , voir [ R7.01.09 ] ), et vérifiés par calage à partir de la modélisation  $\mathit{A}$  et grâce à la modélisation B.

Date: 01/03/2013 Page: 3/63

Titre: SSNS106 - Endommagement d'une plaque plane sous so[...]

Responsable: Sébastien FAYOLLE Clé: V6.05.106 Révision : 10570

Au bilan, voici les valeurs des caractéristiques des matériaux et des paramètres GLRC DM:

modélisation	A et B	С	D et E	F	G	H, I et J	K
$E_a$ , MPa	200000	200000	200000	200000	200000	200000	200000
$\sigma_e^{acier}$ , MPa	570	570	570	4.5	11	570	570
E <sub>ecr</sub> , MPa	300	300	300	3570	4251	300	300
$E_b$ , MPa	32308	32308	32308	32308	32308	32308	32308
$\nu_b$	0.2	0.2	0.2	0.2	0.2	0.2	0.2
D_SIGM_EPSI	$-0.2 \times E_b$						
${\gamma}_{\it EIB}$	5	5	5	5	5	5	5
SYT <sub>EIB</sub> , MPa	3.4	3.4	3.4	3.4	3.4	3.4	3.4
$E_{\acute{e}q}^m$ , MPa	35620	35700	32308	35700	42510	35625	35620
$E_{\acute{e}q}^f$ , MPa	38700	38700	38700	35700	73200	38660	38700
$v_m$	0.18	0.18	0.18	0.18	0.16	0.18	0.18
$v_f$	0.17	0.17	0.17	0.18	0.12	0.17	0.17
$\gamma_{mt}$	0.02	0.02	0.02	0.1	0.225	0.02	0.02
$\gamma_c$	1	1	1	1	1	1	0,02
$\gamma_f$	0.32	0.32	0.32	0.1	0.6	0.32	0.32
NYT <sub>GLRC</sub> , N/m	370000	370000	370000	370000	360000	370000	370000
$MYF_{GLRC}$ , $N$	9000	9000	9000	5000	1600	9000	9000
$\alpha_c$	1	1	1	1	1	1	100

**Remarque :** on note que la valeur de  $\gamma_{EIB}$  , cf. [R7.01.04], est comparable à l'inverse de celle utilisée dans la loi GLRC\_DM, cf. [R7.01.32].

#### 1.3 Conditions aux limites et chargements

On considère différentes modélisations A, B, C, D et E pour différents types de chargements caractéristiques et différents comportements de la plaque. Dans tous les cas, les chargements sont des déplacements (rotations) imposés aux bords de la plaque différemment pour chaque modélisation.

Les modélisations considérées sont :

modélisation A(§ 3): traction – compression - traction pure ;

modélisation B(§ 4) : flexion pure alternée ;

modélisation C(§ 5): couplage de traction - compression et flexion;

modélisation D(§ 6): cisaillement pur et distorsion dans le plan;

modélisation E(§ 7) : couplage de flexion et cisaillement dans le plan ;

modélisation F(§ 8): traction - compression pure - avec « kit\_dll » de comportement

élastoplastique endommageable (GLRC DM + Von Mises);

Responsable : Sébastien FAYOLLE

Date : 01/03/2013 Page : 4/63 Clé : V6.05.106 Révision : 10570

modélisation G(§ 9): traction – compression pure – avec « kit\_ddl » de comportement

élastoplastique endommageable (GLRC\_DM + Von Mises);

modélisation H(§10): traction – compression – traction pure, sollicitations élevées ;

modélisation I(§11): flexion pure alternée, sollicitations élevées ;

modélisation J(§12): couplage traction – compression et flexion, sollicitations élevées ;

modélisation K(§13): compression - traction avec ALPHA C=100;

#### 1.4 Conditions initiales

Au départ les déplacements et les contraintes valent zéro partout.

Titre : SSNS106 - Endommagement d'une plaque plane sous so[...] Date : 01/03/2013 Page : 5/63
Responsable : Sébastien FAYOLLE Clé : V6.05.106 Révision : 10570

### 2 Solution de référence

La solution de référence est obtenue par une modélisation semi-globale en plaque multi-couches, où le maillage et le chargement sont les mêmes que pour les modélisations avec la loi GLRC\_DM correspondantes.

On modélise le béton et les armatures séparément. Pour chaque nappe d'armatures, on considère une couche qui se comporte uniquement dans le sens longitudinal des armatures. Donc on aura 4 couches pour les armatures.

De plus, plusieurs résultats analytiques avec le modèle GLRC DM ont pu être établis.

#### 2.1 Modèles

Sur le même maillage on définit 5 modèles représentant la plaque en béton armé : 1 modèle DKT pour le béton et 4 modèles GRILLE pour les armatures (2 suivant la direction X, 2 suivant la direction Y pour les parties inférieure et supérieure). Le taux de ferraillage pour chaque nappe d'armatures est de  $8.0 \times 10^{-4} \, m^2 / m$ .

La position des armatures (inférieure ou supérieure) est définie par le mot clé <code>EXCENTREMENT</code> sous le mot clé facteur <code>GRILLE</code> dans l'opérateur <code>AFFE</code> <code>CARA</code> <code>ELEM</code>, qui vaut  $\pm 0.04\,m$  .

La fissuration du béton est modélisée par la loi de comportement ENDO\_ISOT\_BETON, tandis qu'on suppose que l'acier reste toujours dans le domaine élastique.

## 2.2 Propriétés des matériaux

Béton (modèle ENDO\_ISOT\_BETON) :

Module de Young:  $E_b = 32308.0 MPa$ 

Coefficient de Poisson :  $v_b$ =0.20

Seuil d'endommagement en traction simple  $\mathit{SYT}_{\mathit{EIB}}$  : 3.4  $\mathit{MPa}$ 

Pente adoucissante :  $-0.2E_h$  (  $\gamma_{EIB} = 5$  ).

Acier:

 $\begin{array}{ll} {\rm Module~de~Young:}~E_a\!=\!\!200000.0~MPa \\ {\rm Limite~de~lin\'earit\'e}~\sigma_e^{acier}:~570.0~MPa \end{array}$ 

Pente post-élastique  $E_{\acute{e}crou\acute{l}s}^{acier}$  : = 0.0015  $E_a$  = 300 MPa .

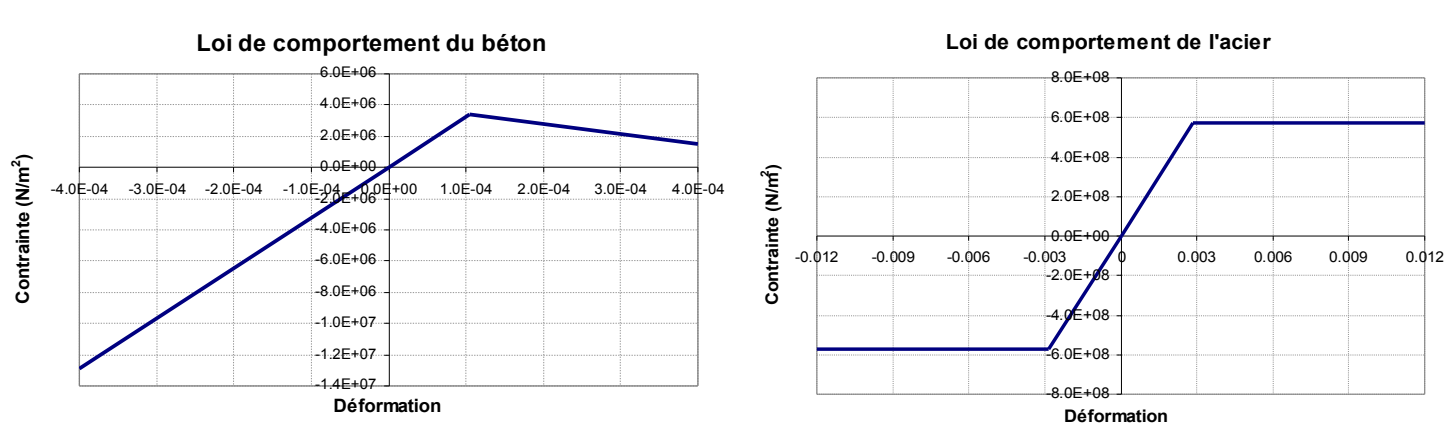


Figure 2.2-a: courbes rationnelles des matériaux (pour modèle multicouche).

Titre: SSNS106 - Endommagement d'une plaque plane sous so[...] Date: 01/03/2013 Page: 6/63

Responsable: Sébastien FAYOLLE Clé: V6.05.106 Révision: 10570

#### Modélisation A 3

#### 3.1 Caractéristiques de la modélisation

Traction - compression - traction pure.

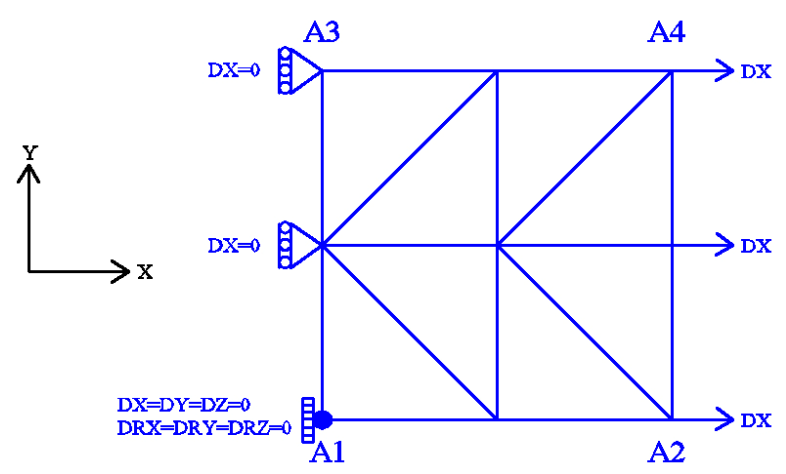
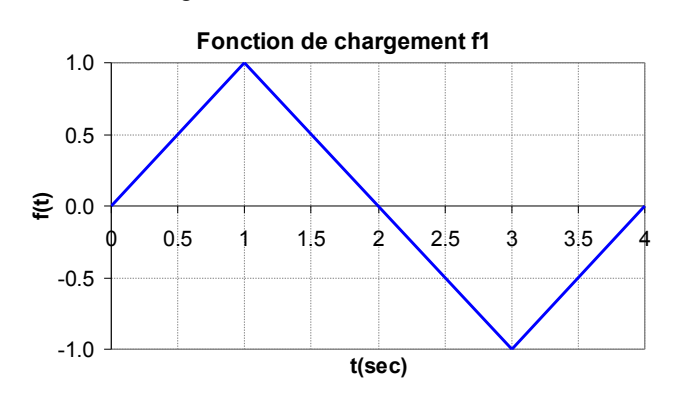


Figure 3.1-a: maillage et conditions aux limites.

Modélisation: DKTG Conditions aux limites :

- Encastrement en  $A_1$ ;
- DX = 0.0 sur l'arête  $A_1 A_3$ ;
- $DX\!=\!U_{0}\times f\left(t\right)$  sur l'arête  $A_{2}\!-\!A_{4}$  ;

où  $U_0 = 2.0 \times 10^{-4} m$  et f(t) représentent l'amplitude du chargement cyclique en fonction du paramètre (de pseudo-temps) t. Pour bien vérifier le modèle, on considère deux fonctions de chargement comme suit :



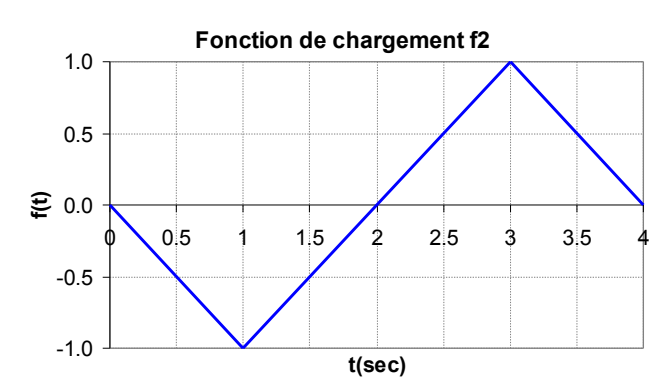


Figure 3.1-b: Fonctions de chargement f1 (gauche) et f2 (droite).

Note: la déformation extrémale est:  $2.0 \times 10^{-4}$ , soit bien en-deçà du passage en plasticité des aciers. Pas de temps d'intégration : 0.05 .

#### 3.2 Caractéristiques du maillage

Nombre de nœuds : 9. Nombre de mailles : 8 TRIA3 ; 8 SEG2.

Titre: SSNS106 - Endommagement d'une plaque plane sous so[...] Date: 01/03/2013 Page: 7/63 Responsable: Sébastien FAYOLLE

Clé: V6.05.106 Révision: 10570

#### 3.3 Solution analytique simple

En plus du calcul de référence, on fait un calcul analytique très simple pour vérifier le modèle ainsi que le logiciel. Pour ce faire, on considère une poutre homogène em traction-compression dont les propriétés des matériaux sont les mêmes que celles de la plaque homogène. On impose les mêmes conditions aux limites sur la poutre. Puis en considérant la loi de comportement considérée (élastique endommageable en traction et élastique linéaire en compression), on calcule la force FXcorrespondante à DX imposé.

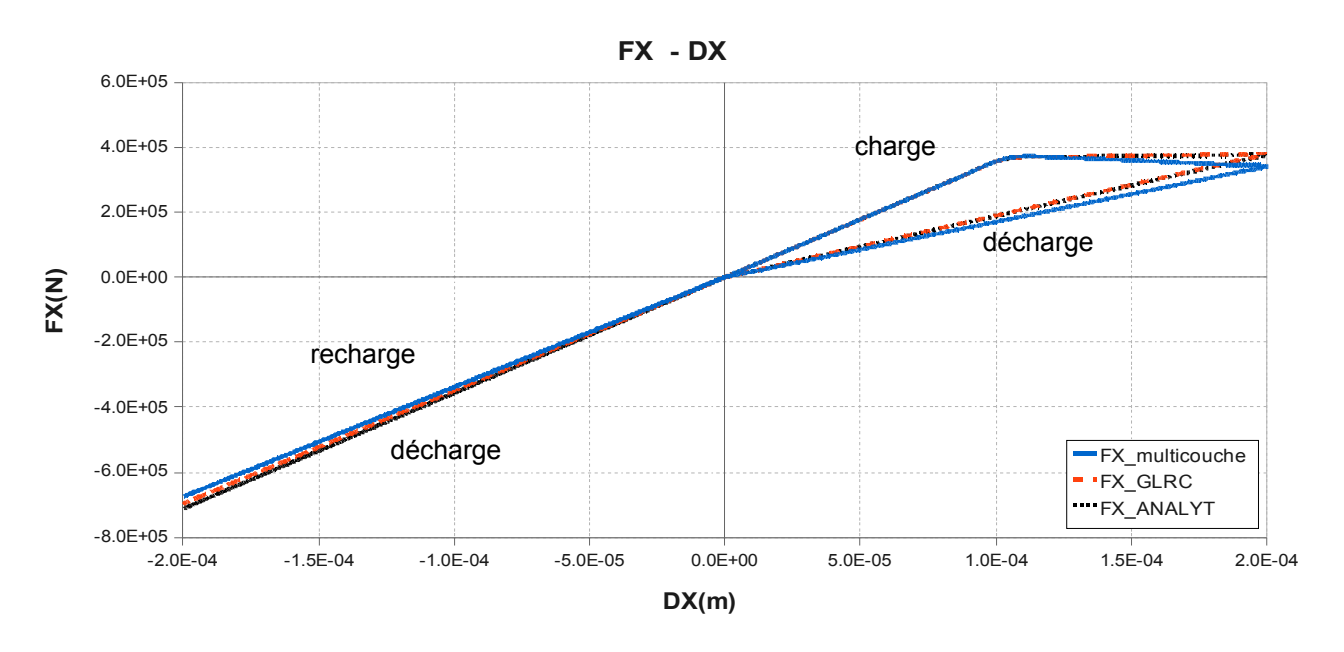
#### 3.4 Valeurs testées et résultats pour la fonction de chargement f1

On compare les forces de réactions moyennes selon l'axe Ox et les déplacements moyens selon l'axe Oy obtenus par la modélisation multi-couches (référence) et par celle reposant sur le modèle GLRC DM, en terme de différences relatives; la tolérance est prise en valeur absolue sur ces différences relatives :

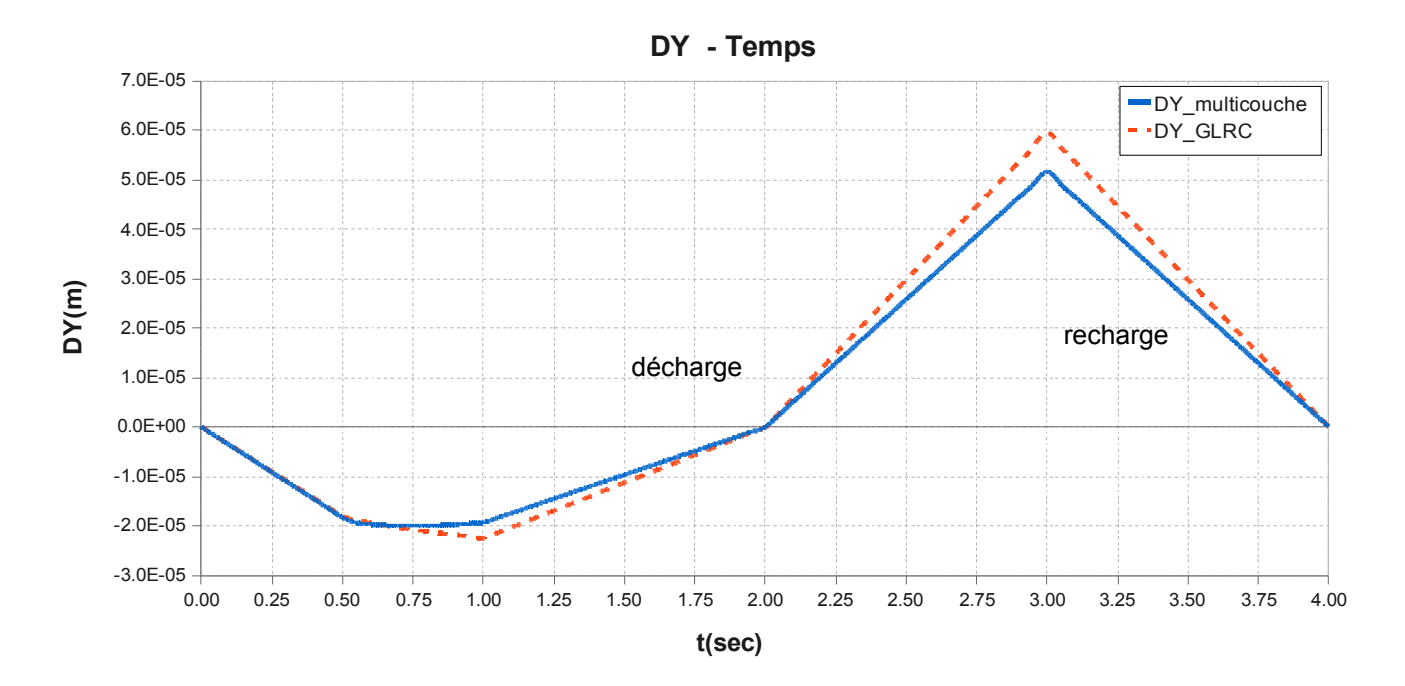
Identification	Type de référence	Valeur de référence	Tolérance
TRACTION - PHASE ELASTIQUE $t=0.25$			
Différence relative des forces $FX$ en $A2-A4$	AUTRE_ASTER	0	5 10 <sup>-2</sup>
Différence relative des déplacements $DY$ en	AUTRE_ASTER	0	5 10 <sup>-2</sup>
A2-A4 TRACTION - PHASE ENDOMMAGEMENT $t=1,0$			
Différence relative des forces $FX$ en $A2-A4$	AUTRE_ASTER	0	1,2 10 <sup>-1</sup>
Différence relative des déplacements DY en	AUTRE_ASTER	0	1,7 10 <sup>-1</sup>
A2-A4 TRACTION - PHASE DECHARGEMENT $t=1,5$ Différence relative des forces $FX$ en $A2-A4$ Différence relative des déplacements $DY$ en	AUTRE_ASTER AUTRE_ASTER	0 0	1,2 10 <sup>-1</sup> 1,7 10 <sup>-1</sup>
A2-A4 COMPRESSION - PHASE CHARGEMENT (toujours élastique) $t=3,0$ Différence relative des forces $FX$ en $A2-A4$ Différence relative des déplacements $DY$ en	AUTRE_ASTER AUTRE_ASTER	0 0	5 10 <sup>-2</sup> 1,7 10 <sup>-1</sup>
A2-A4 COMPRESSION - PHASE DECHARGEMENT $t=3,5$ Différence relative des forces $FX$ en $A2-A4$	AUTRE_ASTER	0	5 10 <sup>-2</sup>
Différence relative des déplacements DY en	AUTRE_ASTER	0	1,7 10 <sup>-1</sup>
A2 - A4			

Date: 01/03/2013 Page: 8/63 Responsable: Sébastien FAYOLLE Clé: V6.05.106 Révision: 10570

Diagrammes comparés force FX (efforts  $N_{xx}$ ) – déplacement DX en traction/compression pour le chargement fl:



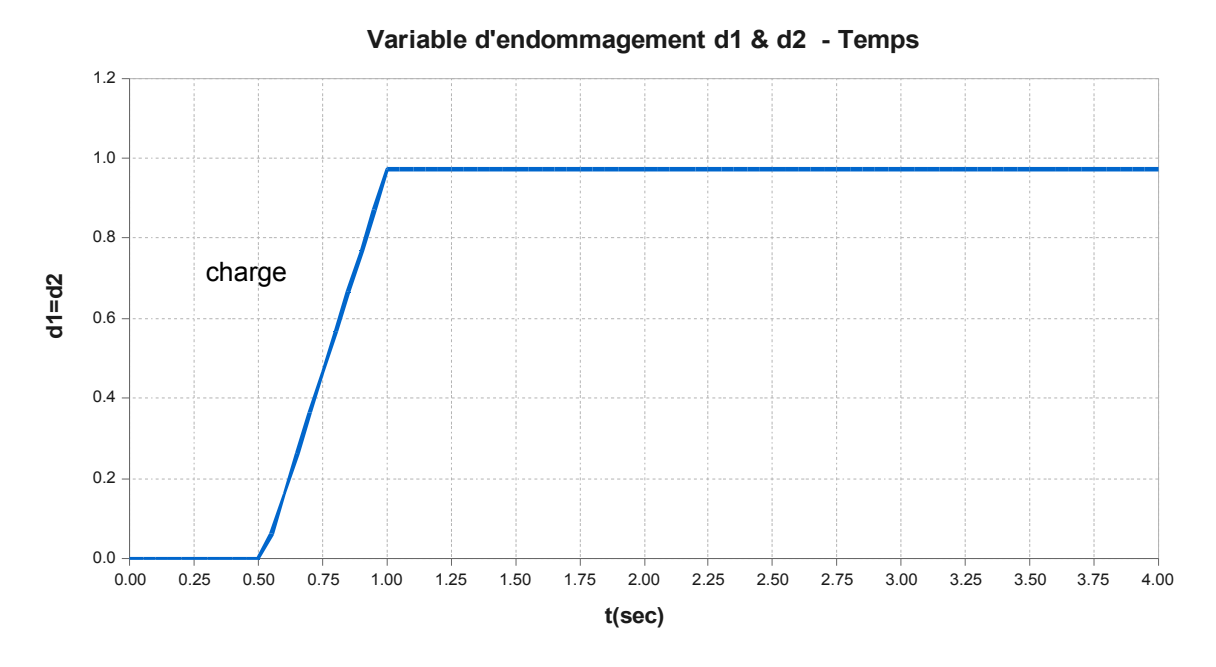
#### Diagrammes comparés déplacement DY (dû à l'effet de Poisson) en fonction du temps :



Responsable: Sébastien FAYOLLE

Date : 01/03/2013 Page : 9/63 Clé : V6.05.106 Révision : 10570

Diagrammes de l'évolution de l'endommagement du modèle glrc\_DM ( $d_1$  pour la face supérieure et  $d_2$  pour la face inférieure) en fonction du temps :



A partir des variables d'endommagement, on teste également l'énergie dissipée qui s'écrit : [R7.01.32 §2.7]

$$E = k_0 \times (d_1 + d_2)$$
 avec ici  $k_0 = 8.89910 J/m^2$ 

L'énergie dissipée a donc le même profil que la courbe ci-dessus.

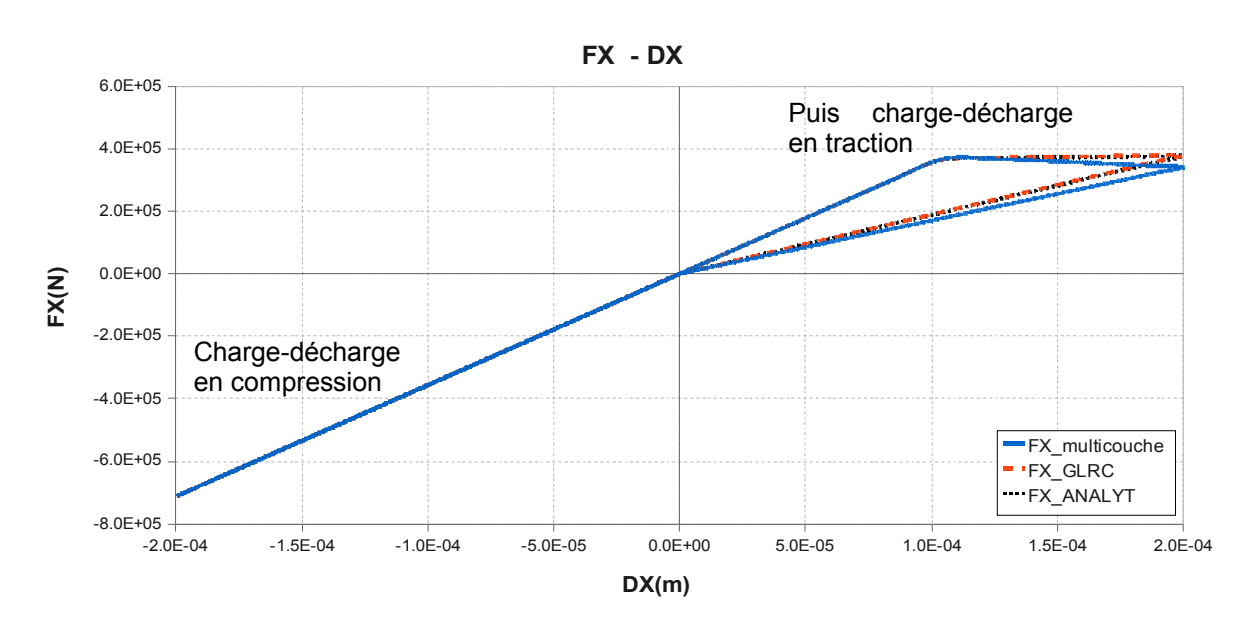
## 3.5 Valeurs testées et résultats pour la fonction de chargement f2

On compare les forces moyennes de réaction selon l'axe Ox et les déplacements moyens selon l'axe Oy obtenus par la modélisation multi-couches (référence) et par celle reposant sur le modèle  ${\tt GLRC\_DM}$ , en terme de différences relatives ; la tolérance est prise en valeur absolue sur ces différences relatives :

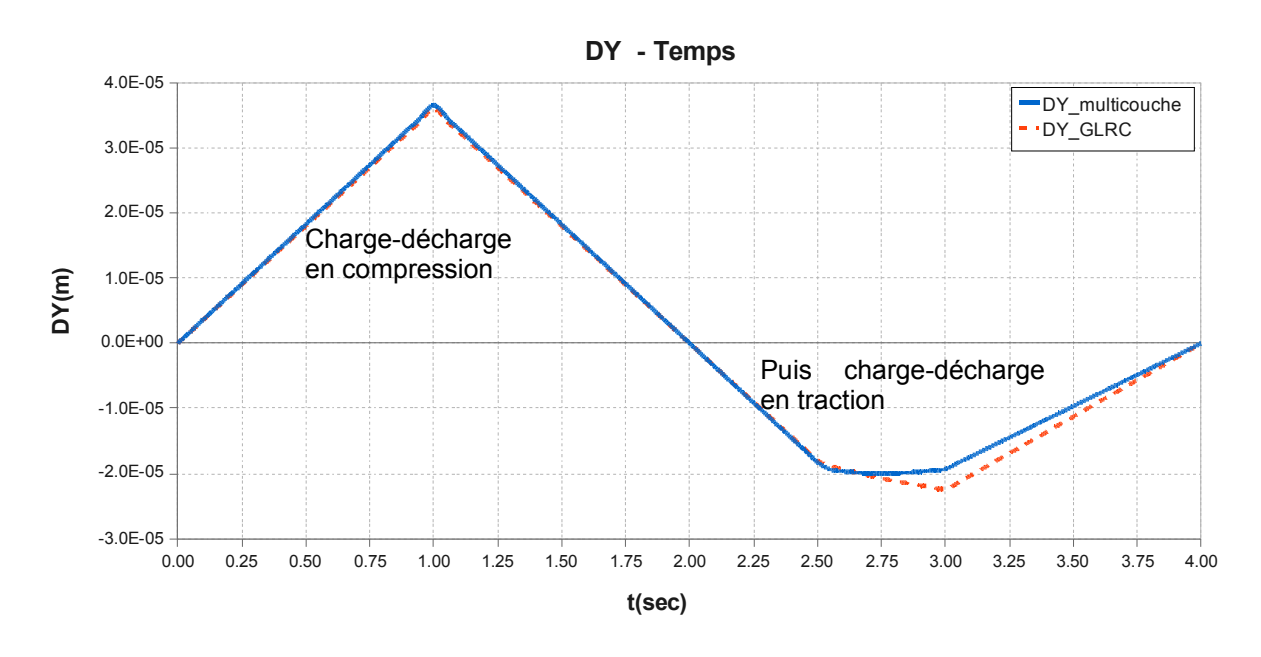
Identification	Type de référence	Valeur de référence	tolérance
COMPRESSION - PHASE ELASTIQUE $t=0.25$			
Différence relative des efforts $N_{xx}$ en $A2-A4$	AUTRE_ASTER	0	$5 \ 10^{-2}$
Différence relative des déplacements $DY$ en	AUTRE_ASTER	0	5 10 <sup>-2</sup>
A2-A4 COMPRESSION - PHASE ENDOMMAGEMENT $t=1,0$			
Différence relative des efforts $N_{xx}$ en $A2-A4$	AUTRE_ASTER	0	5 10 <sup>-2</sup>
Différence relative des déplacements $DY$ en	AUTRE_ASTER	0	5 10 <sup>-2</sup>
A2-A4 COMPRESSION - PHASE DECHARGEMENT $t=1,5$			٥
Différence relative des efforts $N_{xx}$ en $A2-A4$	AUTRE_ASTER	0	$5   10^{-2}$
Différence relative des déplacements $DY$ en	AUTRE_ASTER	0	5 10 <sup>-2</sup>
A2-A4 TRACTION - PHASE CHARGEMENT (toujours élastique) $t=3,0$			

Titre : SSNS106 - Endommagement d'une plaque plane s Responsable : Sébastien FAYOLLE		Date : 01/03/2013 Clé : V6.05.106	Page : 10/63 Révision : 10570
Différence relative des efforts $N_{xx}$ en $A2-A4$	AUTRE_ASTER	0	1,2 10 <sup>-1</sup>
Différence relative des déplacements $DY$ en	AUTRE_ASTER	0	$1,7 10^{-1}$
A2-A4 TRACTION - PHASE DECHARGEMENT $t=3,5$			
Différence relative des efforts $N_{xx}$ en $A2-A4$	AUTRE_ASTER	0	$1,2 10^{-1}$
Différence relative des déplacements $DY$ en	AUTRE_ASTER	0	$1,7 10^{-1}$
A2 - A4			

Diagrammes comparés FX (efforts  $N_{xx}$ ) – déplacement DX en traction/compression pour le chargement f2 ::

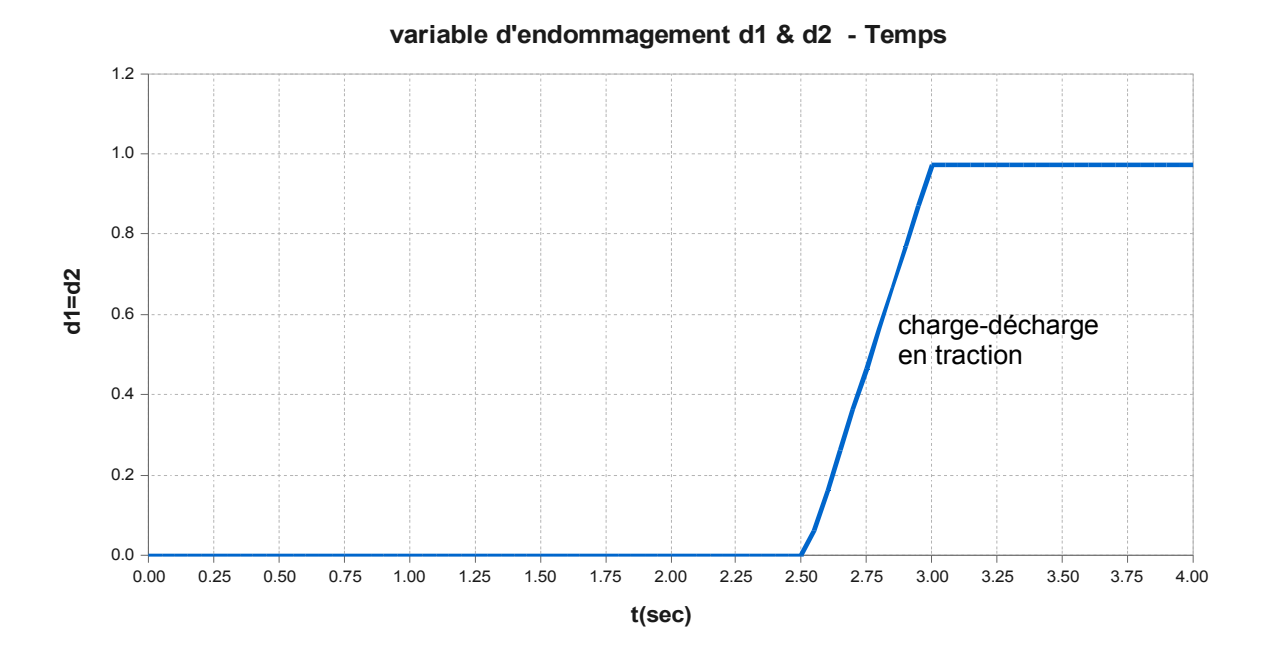


#### Diagrammes comparés déplacement DY (dû à l'effet de Poisson) en fonction du temps :



Date: 01/03/2013 Page: 11/63 Responsable: Sébastien FAYOLLE Clé: V6.05.106 Révision: 10570

Diagrammes de l'évolution de l'endommagement du modèle glrc DM ( $d_1$  pour la face supérieure et  $d_2$  pour la face inférieure) en fonction du temps :



#### 3.6 Remarques

D'après les courbes précédentes, on constate que le modèle GLRC DM représente le comportement global du béton armé en traction – compression pure d'une manière satisfaisante. L'erreur relative du modèle GLRC DM par rapport à la solution de référence est admissible. Il faut noter que la différence entre le modèle GLRC DM et ENDO ISOT BETON est la plus importante durant la phase d'endommagement : le comportement du béton en traction est alors adoucissant et on trouve une pente négative dans le modèle de référence multi-couche, malgré le ferraillage (couches d'acier et couches ENDO ISOT BETON) alors que l'une des hypothèses du modèle GLRC DM est de ne pas modéliser l'adoucissement du béton armé.

Étant basé sur l'hypothèse du matériau équivalent isotrope (voir [R7.01.32]), le modèle GLRC DM surestime légèrement l'effet de Poisson.

On vérifie aussi la symétrie de la réponse selon le sens choisi de charge en compression-traction ou l'inverse, selon le chargement f1 ou f2.

Date: 01/03/2013 Page: 12/63 Responsable: Sébastien FAYOLLE Clé: V6.05.106 Révision: 10570

#### Modélisation B 4

#### 4.1 Caractéristiques de la modélisation

Flexion pure alternée.

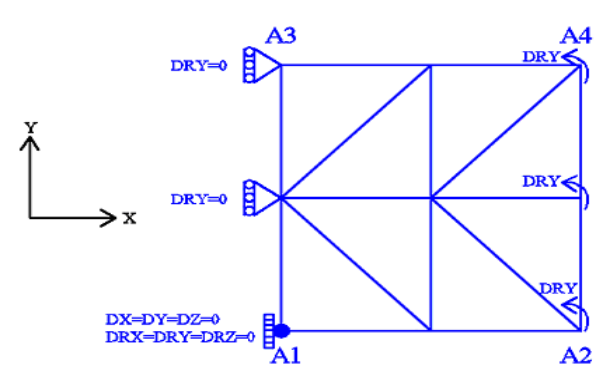


Figure 4.1-a: maillage et conditions aux limites

Modélisation: DKTG Conditions aux limites :

- DRY = 0.0 sur l'arête  $A_1 A_3$

où  $R_0 = 6 \times 10^{-3}$  et f(t) est l'amplitude du chargement cyclique en fonction du paramètre (de pseudo-temps) t, Pour bien vérifier le modèle, on considère trois fonctions de chargements comme :

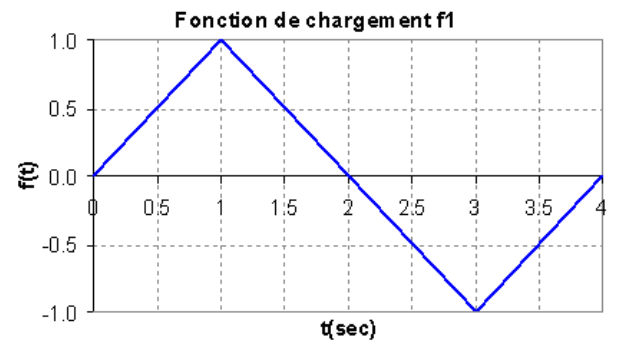


Figure 4.1-b: Flexion positive, puis flexion négative

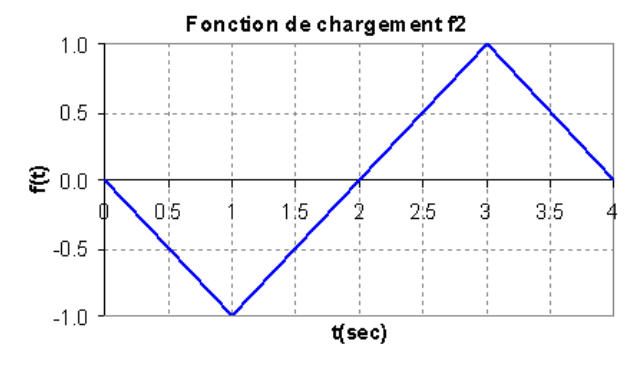


Figure 4.1-c: Flexion négative, puis flexion positive

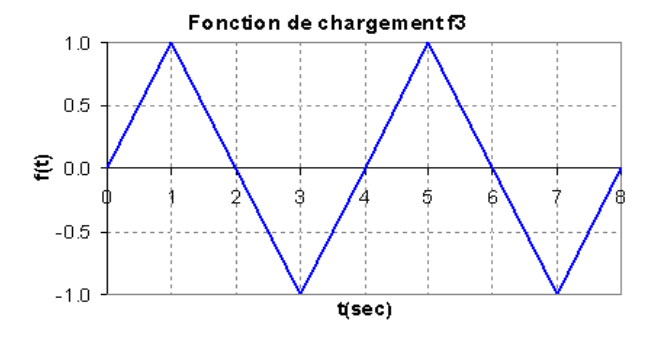


Figure 4.1-d: Deux cycles de flexion alternée

Titre : SSNS106 - Endommagement d'une plaque plane sous so[...] Date : 01/03/2013 Page : 13/63
Responsable : Sébastien FAYOLLE Clé : V6.05.106 Révision : 10570

Note : la déformation extrémale des aciers est :  $2.4 \times 10^{-3}$  , soit en-deçà du passage en plasticité des aciers. Incrément d'intégration :  $0.05\,s$  .

### 4.2 Caractéristiques du maillage

Nombre de nœuds: 9. Nombre de mailles: 8 TRIA3.

## 4.3 Solution analytique simple

En plus du calcul de référence, on fait un calcul analytique très simple pour vérifier le modèle ainsi que le code. Pour ce faire, on considère une poutre homogène dont les propriétés des matériaux sont les mêmes que celles de la plaque homogène. On impose les mêmes conditions aux limites sur la poutre. Puis en considérant la loi de comportement considérée (élastique endommageable en traction et élastique linéaire en compression), on calcule la force MY correspondante à DRY imposé.

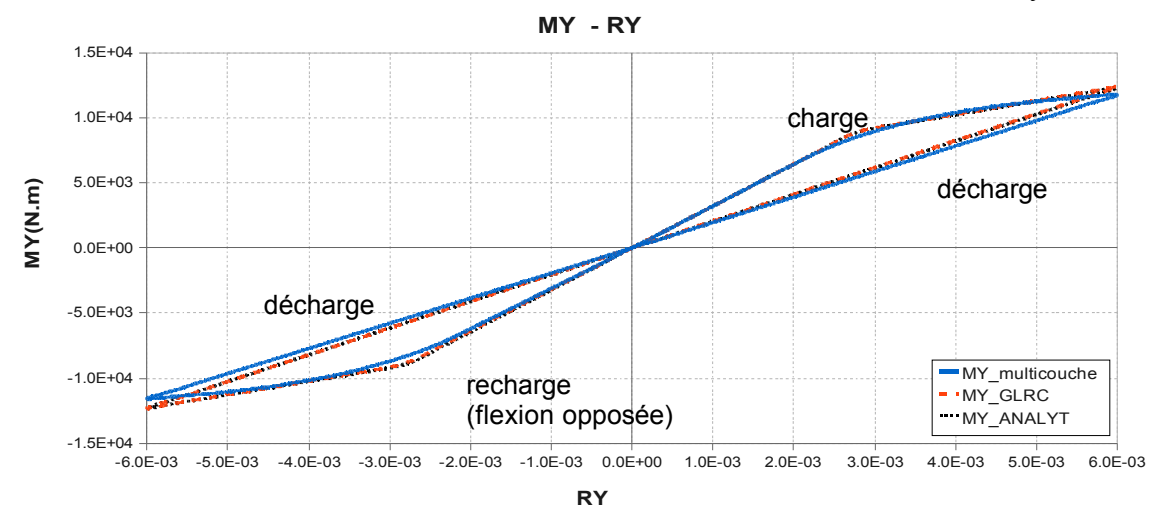
## 4.4 Grandeurs testées et résultats pour la fonction de chargement f1

On compare les moments moyens selon l'axe Oy et les rotations moyennes selon l'axe Ox obtenus par la modélisation multi-couches (référence) et par celle reposant sur le modèle <code>GLRC\_DM</code>, en terme de différences relatives ; certaines tolérances sont prises en valeur absolue, d'autres en valeurs relatives (à partir d'une valeur de non-régression, elles sont alors notées « R »), sur ces différences relatives :

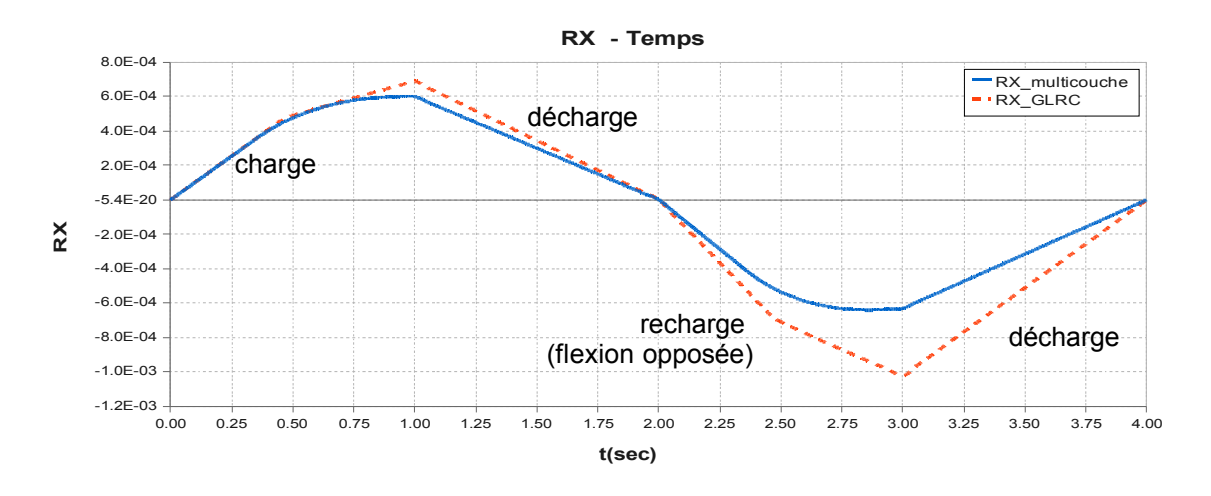
Identification	Type de référence	Valeur de référence	Tolérance
FLEXION POSITIVE - PHASE ELASTIQUE $t=0.25$			
Différence relative des moments $M_{yy}$ en	AUTRE_ASTER	0	5 10 <sup>-2</sup>
A2-A4 Différence relative des rotations $DRX$ en	NON_REGRESSION	5.17840782 10 <sup>-3</sup>	1 10 <sup>-6</sup>
A2-A4 FLEXION POSITIVE - PHASE ENDOMMAGEMENT $t=1,0$			
Différence relative des moments $M_{yy}$ en	AUTRE_ASTER	0	7 10 <sup>-2</sup>
A2-A4 Différence relative des rotations $DRX$ en	NON_REGRESSION	0.1490673	1 10 <sup>-6</sup>
A2-A4 FLEXION POSITIVE - PHASE DECHARGEMENT $t=1,5$			
Différence relative des moments $M_{_{yy}}$ en	AUTRE_ASTER	0	7 10 <sup>-2</sup>
A2-A4 Différence relative des rotations DRX en $A2-A4$ FLEXION NEGATIVE - PHASE ELASTIQUE $t=2,25$	NON_REGRESSION	0.1490673	1 10 <sup>-6</sup>
Différence relative des moments $M_{_{yy}}$ en	AUTRE_ASTER	0	5 10 <sup>-2</sup>
A2-A4 Différence relative des rotations $DRX$ en $A2-A4$	NON_REGRESSION	0.2755444	1 10 <sup>-6</sup>

Titre : SSNS106 - Endommagement d'une plaque plane sous so[] Responsable : Sébastien FAYOLLE			Date : 01/03/2013 Clé : V6.05.106	Page : 14/63 Révision : 10570				
FLEXION ENDOMMA		SATIVE $t=3$ ,	<del>_</del>	PHA	ASE			
Différence	relative	des	moments	$M_{yy}$	en	AUTRE_ASTER	0	7 10 <sup>-2</sup>
A2-A4 Différence	relative	des	rotations	DRX	en	NON_REGRESSION	0.62151906	1 10 <sup>-6</sup>
A2-A4 FLEXION N t=3.5	NEGATIVE	E - PH	ASE DECH	ARGEME	ENT			
Différence	relative	des	moments	$M_{yy}$	en	AUTRE_ASTER	0	7 10 <sup>-2</sup>
A2-A4 Différence $A2-A4$	relative	des	rotations	DRX	en	NON_REGRESSION	0.62151905	1 10 <sup>-6</sup>

#### Diagrammes comparés moment/rotation en flexion cyclique pour le chargement fl:



Diagrammes comparés rotation  $D\!R\!X$  (due à l'effet de Poisson) en fonction du temps pour le chargement  $f\!I$  :

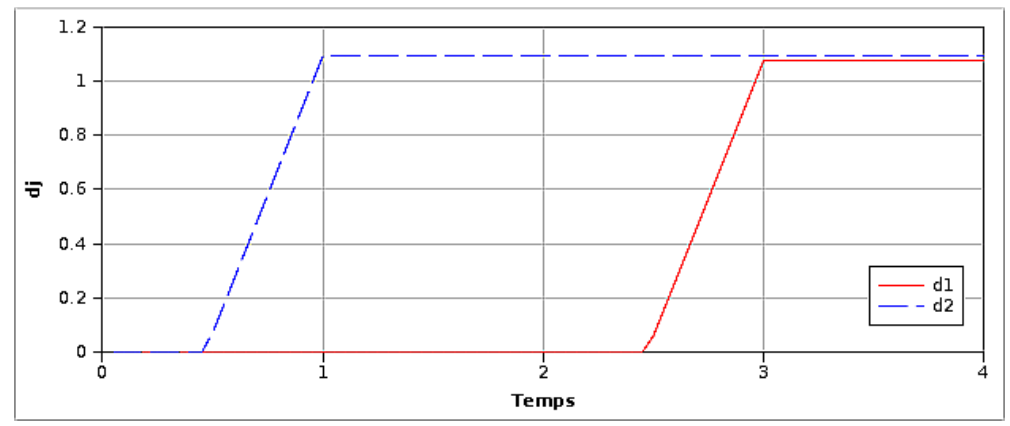


Responsable: Sébastien FAYOLLE

Date: 01/03/2013 Page: 15/63 Clé: V6.05.106 Révision: 10570

Diagrammes de l'évolution de l'endommagement du modèle GLRC DM ( $d_1$  pour la face supérieure et  $d_2$  pour la face inférieure) en fonction du temps :





#### Grandeurs testées et résultats pour la fonction de chargement f2 4.5

On compare les moments moyens selon l'axe Oy et les rotations moyennes selon l'axe Ox obtenus par la modélisation multi-couches (référence) et par celle reposant sur le modèle GLRC DM, en terme de différences relatives ; certaines tolérances sont prises en valeur absolue, d'autres en valeurs relatives (à partir d'une valeur de non-régression, elles sont alors notées « R »), sur ces différences relatives:

Identification	Type de référence	Valeur de référence	Tolérance
FLEXION POSITIVE - PHASE ELASTIQUE $t=0,25$			
Différence relative des moments $M_{yy}$ en $A2-A4$	AUTRE_ASTER	0	5 10 <sup>-2</sup>
Différence relative des rotations $DRX$ en $A2-A4$ FLEXION POSITIVE - PHASE ENDOMMAGEMENT $t=1,0$	AUTRE_ASTER	0	5 10 <sup>-2</sup>
Différence relative des moments $M_{yy}$ en $A2-A4$	AUTRE_ASTER	0	$7 \ 10^{-2}$
Différence relative des rotations $DRX$ en $A2-A4$ FLEXION POSITIVE - PHASE DECHARGEMENT $t=1,5$	AUTRE_ASTER	0	1.5 10 <sup>-1</sup>
Différence relative des moments $M_{yy}$ en $A2-A4$	AUTRE_ASTER	0	$7 \ 10^{-2}$
Différence relative des rotations $DRX$ en $A2-A4$	AUTRE_ASTER	0	1.5 10
FLEXION NEGATIVE - PHASE ELASTIQUE $t=2,25$			
Différence relative des moments $M_{yy}$ en $A2-A4$	AUTRE_ASTER	0	$5 \ 10^{-2}$
Différence relative des rotations $DRX$ en $A2-A4$ FLEXION NEGATIVE - PHASE ENDOMMAGEMENT $t=3,0$	NON_REGRESSION	0.2755444	1 10 <sup>-6</sup>
Différence relative des moments $M_{yy}$ en $A2-A4$	AUTRE_ASTER	0	$7 \ 10^{-2}$
Différence relative des rotations $DRX$ en $A2-A4$	NON_REGRESSION	0.6215190	$1 \ 10^{-6}$
		60	
FLEXION NEGATIVE - PHASE DECHARGEMENT $t=3,5$			
Différence relative des moments $M_{yy}$ en $A2-A4$	AUTRE_ASTER	0	$7 \ 10^{-2}$
Différence relative des rotations $DRX$ en $A2-A4$	NON_REGRESSION	0.6215190	1 10 <sup>-6</sup>

Responsable: Sébastien FAYOLLE

Date: 01/03/2013 Page: 16/63 Clé: V6.05.106 Révision: 10570

On vérifie bien que ces résultats sont identiques à ceux obtenus avec le chargement fl (en sens opposé).

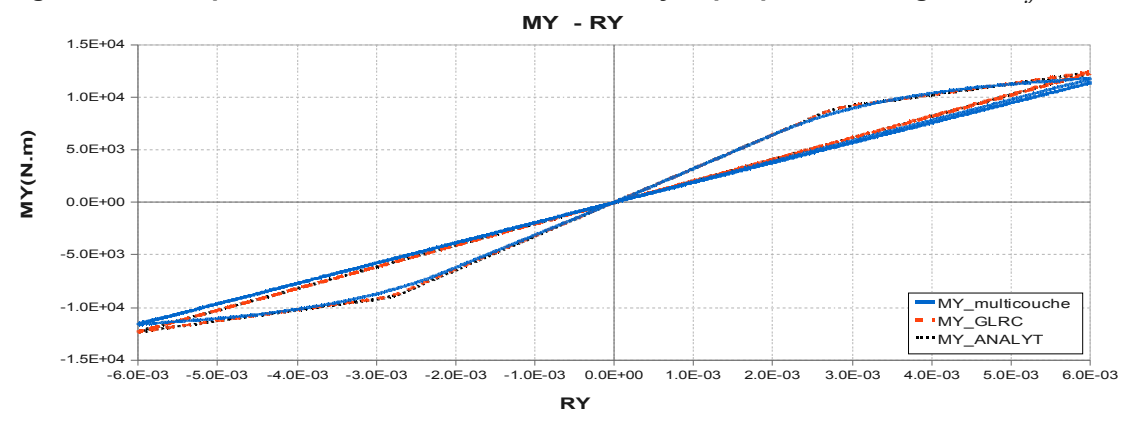
## 4.6 Grandeurs testées et résultats pour la fonction de chargement f3

On compare les moments moyens selon l'axe Oy et les rotations moyennes selon l'axe Ox obtenus par la modélisation multi-couches (référence) et par celle reposant sur le modèle <code>GLRC\_DM</code>, en terme de différences relatives :

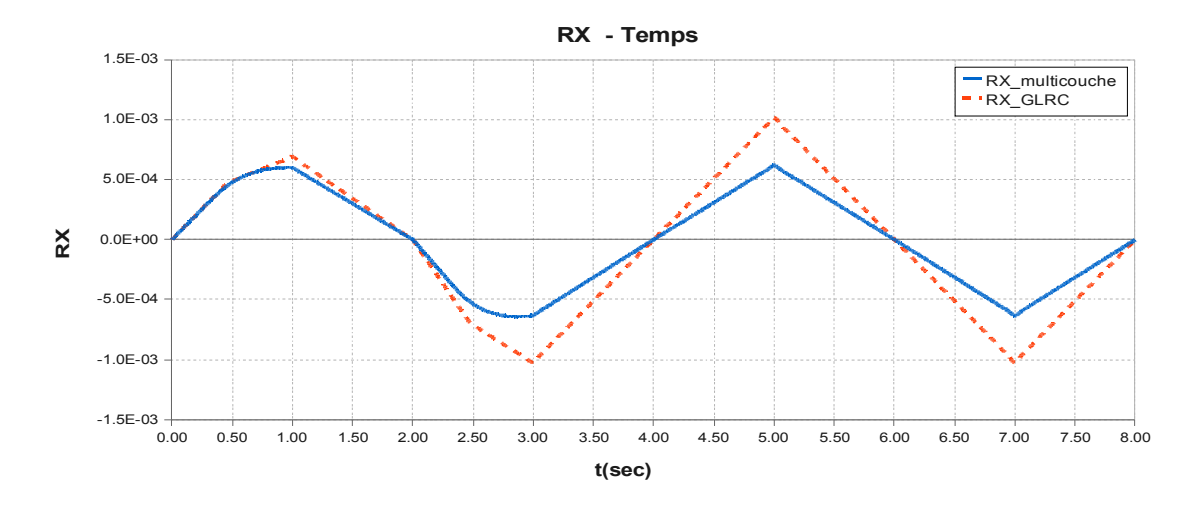
Identification						Type de référence	Valeur de référence	Toléranc e
FLEXION $t = 4,25$	POSITIV	E -	PHASE	ELASTIC	QUE			-
Différence	relative	des	moments	$M_{yy}$	en	AUTRE_ASTER	0	8 10 <sup>-2</sup>
A2 – A4 Différence	relative	des	rotations	DRX	en	AUTRE_ASTER	0	5 10 <sup>-2</sup>
A2 – A4 FLEXION ENDOMMA		SITIVE $t=5$ .		PH	ASE			
Différence			moments	$M_{yy}$	en	AUTRE_ASTER	0	8 10 <sup>-2</sup>
A2-A4 Différence	relative	des	rotations	DRX	en	AUTRE_ASTER	0	1.5 10 <sup>-1</sup>
A2 - A4 FLEXION $t = 1,5$	POSITIVE	- PH	ASE DECH	ARGEM	ENT			
Différence	relative	des	moments	$M_{yy}$	en	AUTRE_ASTER	0	8 10 <sup>-2</sup>
A2-A4 Différence	relative	des	rotations	DRX	en	AUTRE_ASTER	0	1.5 10 <sup>-1</sup>
A2 - A4 FLEXION t = 2,25	NEGATI\	/E -	PHASE	ELASTIC	QUE			
Différence	relative	des	moments	$M_{yy}$	en	AUTRE_ASTER	0	8 10 <sup>-2</sup>
A2 – A4 Différence	relative	des	rotations	DRX	en	NON_REGRESSION	0.2755444	1 10 <sup>-6</sup>
A2 – A4 FLEXION ENDOMMA		SATIVE $t=3$		PH	ASE			
Différence	relative		moments	$M_{yy}$	en	AUTRE_ASTER	0	8 10 <sup>-2</sup>
A2-A4 Différence	relative	des	rotations	DRX	en	NON_REGRESSION	0.621519060	1 10 <sup>-6</sup>
	NEGATIVE	E - PH	ASE DECH	ARGEM	ENT			
t=3,5 Différence	relative	des	moments	$M_{yy}$	en	AUTRE_ASTER	0	8 10 <sup>-2</sup>
A2 – A4 Différence	relative	des	rotations	DRX	en	NON_REGRESSION	0.621519050	1 10 <sup>-6</sup>
A2-A4								

Date: 01/03/2013 Page: 17/63 Responsable: Sébastien FAYOLLE Clé: V6.05.106 Révision: 10570

#### Diagrammes comparés moment/rotation en flexion cyclique pour le chargement f3:



Diagrammes comparés rotation DRX (due à l'effet de Poisson) en fonction du temps pour le chargement f3:



Diagrammes de l'évolution de l'endommagement du modèle glrc\_DM ( $d_1$  pour la face supérieure et  $d_2$  pour la face inférieure) en fonction du temps :

Variables d'endommagement d1 & d2 - Temps 1.2 1 0.8 ₩ 0.6 0.4 dl 0.2 d2 0 3 Temps

On constate que le second cycle de flexion alternée ne provoque pas de nouvel endommagement, comme prévisible.



Version default

Date: 01/03/2013 Page: 18/63

Titre: SSNS106 - Endommagement d'une plaque plane sous so[...]

Responsable : Sébastien FAYOLLE Clé : V6.05.106 Révision : 10570

## 4.7 Remarques

En considération des courbes précédentes, on trouve qu'avec un recalage précis des paramètres du modèle  ${\tt GLRC\_DM}$ , les résultats du modèle  ${\tt GLRC\_DM}$  sont très proches de ceux du calcul de référence. Cela veut dire que le modèle  ${\tt GLRC\_DM}$  peut bien représenter le comportement des dalles en béton armé en flexion pure alternée. Il faut noter qu'au niveau de la rotation suivant X (due à l'effet de Poisson), après apparition de l'endommagement, la différence entre les deux modèles apparaît nettement au détriment de la réponse fournie par le modèle  ${\tt GLRC\_DM}$  (basé sur l'hypothèse du matériau équivalent isotrope, voir  $[{\tt R7.01.32}]$ ).

Titre : SSNS106 - Endommagement d'une plaque plane sous so[...] Date : 01/03/2013 Page : 19/63
Responsable : Sébastien FAYOLLE Clé : V6.05.106 Révision : 10570

### 5 Modélisation C

## 5.1 Caractéristiques de la modélisation

Couplage de traction - compression et flexion.

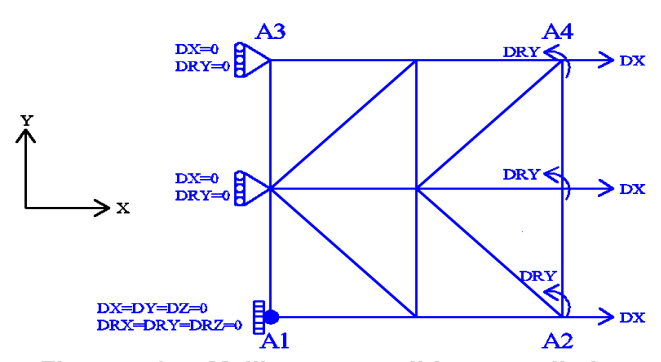


Figure 5.1-a: Maillage et conditions aux limites

Modélisation: DKTG

Conditions aux limites : couplage de Traction - Compression et Flexion :

- DX = 0.0 et DRY = 0.0 sur l'arête  $A_1 A_3$
- $DX = U_0 \times f(t)$  et  $DRY = R_0 \times f(t)$  sur l'arête  $A_2 A_4$ , où  $U_0 = 1.5 \times 10^{-4}$ ,  $R_0 = 5. \times 10^{-3}$  et f(t) est l'amplitude du chargement cyclique en fonction du paramètre (de pseudo-temps) t. On considère deux types de chargement :
- •La même fonction fI de chargement pour la membrane et la flexion (cas synchrone) :

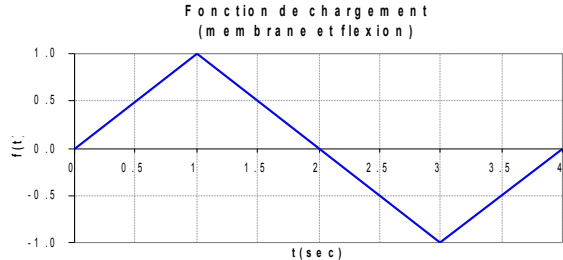


Figure 5.1-b: fonction de chargement f1

•La fonction f2 de chargement de membrane deux fois plus rapide que celui de flexion (en pratique les fréquences de membrane d'une dalle sont supérieures à celles de flexion) :

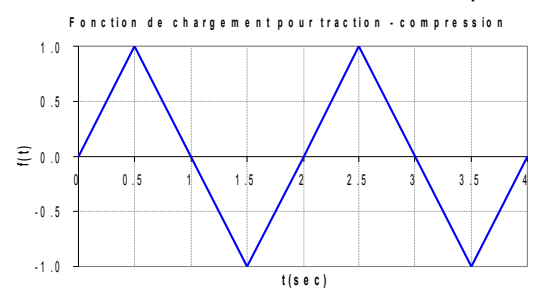


Figure 5.1-c: fonction de chargement pour la traction-compression

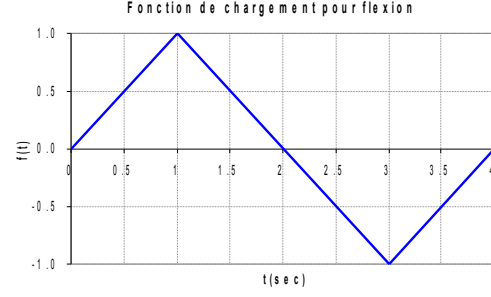


Figure 5.1-d: fonction de chargement pour la flexion

Nota : la déformation extrémale des aciers est  $2.15 \times 10^{-3}$  , soit en-deçà du passage en plasticité des aciers. Incrément d'intégration : 0.05~s .

Responsable : Sébastien FAYOLLE

Date: 01/03/2013 Page: 20/63 Clé: V6.05.106 Révision: 10570

## 5.2 Caractéristiques du maillage

Nombre de nœuds : 9. Nombre de mailles : 8 TRIA3 ; 8 SEG2.

## 5.3 Grandeurs testées et résultats : premier chargement (même fonction de chargement pour membrane et flexion)

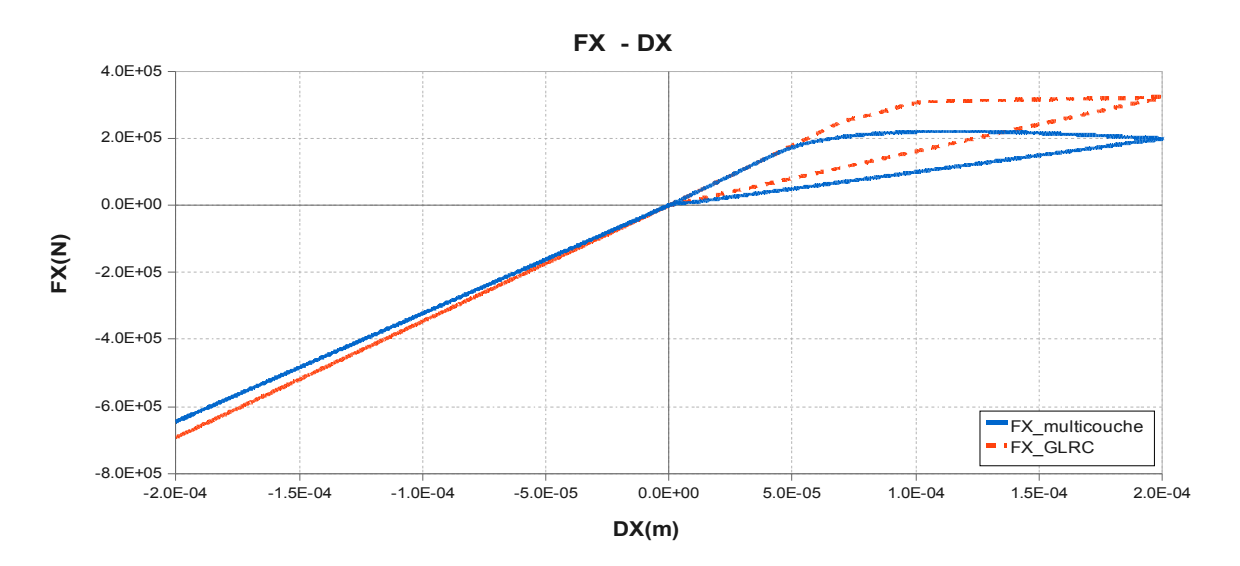
On compare les forces moyennes selon l'axe Ox, les déplacements moyens selon l'axe Oy, les moments moyens selon l'axe Oy et les rotations moyennes selon l'axe Ox obtenus par la modélisation multi-couches s (référence) et par celle reposant sur le modèle  ${\tt GLRC\_DM}$ , en terme de différences relatives ; les tolérances sont prises en valeur relative sur ces différences relatives (non-régression) :

Identification	Type de référence	Valeur de référence	Tolérance
PHASE ELASTIQUE $t=0.25$			_
Différence relative des efforts $N_{xx}$ en $A2-A4$	NON_REGRESSION	0.0308768	$1 \ 10^{-6}$
Différence relative des déplacements $DY$ en $A2-A4$	NON_REGRESSION	$6.800\ 10^{-3}$	1 10-6
Différence relative des moments $M_{yy}$ en $A2-A4$	NON_REGRESSION	0.0506625	$1 \ 10^{-6}$
Différence relative des rotations $DRX$ en $A2-A4$	NON_REGRESSION	0.0456055	1 10 <sup>-6</sup>
PHASE ENDOMMAGEMENT $t=1,0$	=========	0 6100760	6
Différence relative des efforts $N_{{\scriptscriptstyle xx}}$ en ${\scriptstyle A2-A4}$	NON_REGRESSION	0.6199769	1 10 <sup>-6</sup>
Différence relative des déplacements $DY$ en $A2-A4$	NON_REGRESSION	1.0302274	1 10 <sup>-6</sup>
Différence relative des moments $M_{yy}$ en $A2-A4$	NON_REGRESSION	1.1531708	1 10 <sup>-6</sup>
Différence relative des rotations $DRX$ en $A2-A4$ PHASE DECHARGEMENT $t=1,5$	NON_REGRESSION	4.3790440	1 10 <sup>-6</sup>
Différence relative des efforts $N_{xx}$ en $A2-A4$	NON_REGRESSION	0.6199769	1 10-6
Différence relative des énoits $N_{xx}$ en $A2-A4$ Différence relative des déplacements $DY$ en $A2-A4$	NON REGRESSION	1.0302272	1 10 <sup>-6</sup>
Différence relative des moments $M_{vv}$ en $A2-A4$	NON REGRESSION	1.1531708	1 10 1 10 - 6
Difference relative des moments $M_{yy}$ en $A2-A4$	NON REGRESSION	4.3790437	1 10-6
PHASE ELASTIQUE $t=2,25$	NON_REGREESTON	4.3730437	1 10
Différence relative des moments $M_{yy}$ en $A2-A4$	NON_REGRESSION	-0.279039	1 10-6
Différence relative des rotations $DRX$ en $A2-A4$	NON_REGRESSION	-0.045021	1 10 <sup>-6</sup>
PHASE RECHARGEMENT $t=3,0$			
Différence relative des efforts $N_{_{xx}}$ en $A2-A4$	NON_REGRESSION	0.0725839	$1 \ 10^{-6}$
Différence relative des déplacements $DY$ en $A2-A4$	NON_REGRESSION	0.5134477	$1 \ 10^{-6}$
Différence relative des moments $M_{yy}$ en $A2-A4$	NON_REGRESSION	-0.305571	1 10 <sup>-6</sup>
Différence relative des rotations $DRX$ en $A2-A4$	NON_REGRESSION	-0.074300	1 10 <sup>-6</sup>
PHASE DECHARGEMENT $t=3,5$			
Différence relative des efforts $N_{xx}$ en $A2-A4$	NON_REGRESSION	0.0725839	1 10 <sup>-6</sup>
Différence relative des déplacements $DY$ en $A2-A4$	NON_REGRESSION	0.5134477	1 10-6
Différence relative des moments $M_{yy}$ en $A2-A4$	NON_REGRESSION	-0.305571	1 10 <sup>-6</sup>
Différence relative des rotations $DRX$ en $A2-A4$	NON_REGRESSION	-0.074300	1 10 <sup>-6</sup>

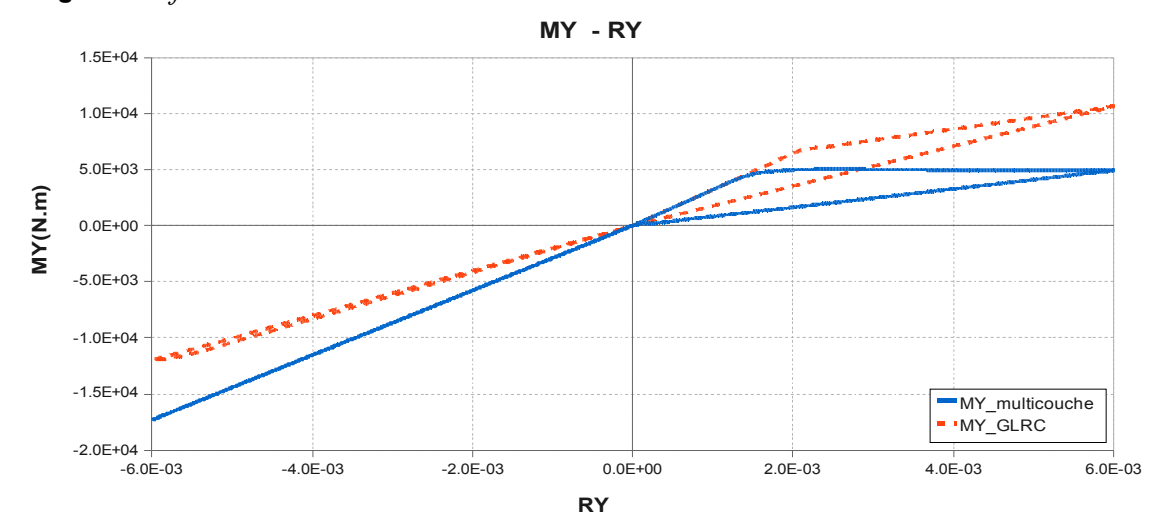
Titre: SSNS106 - Endommagement d'une plaque plane sous so[...]
Responsable: Sébastien FAYOLLE

Date : 01/03/2013 Page : 21/63 Clé : V6.05.106 Révision : 10570

Diagrammes comparés de la force FX ( efforts  $N_{xx}$ ) – en fonction du déplacement DX imposé pour le chargement fI :

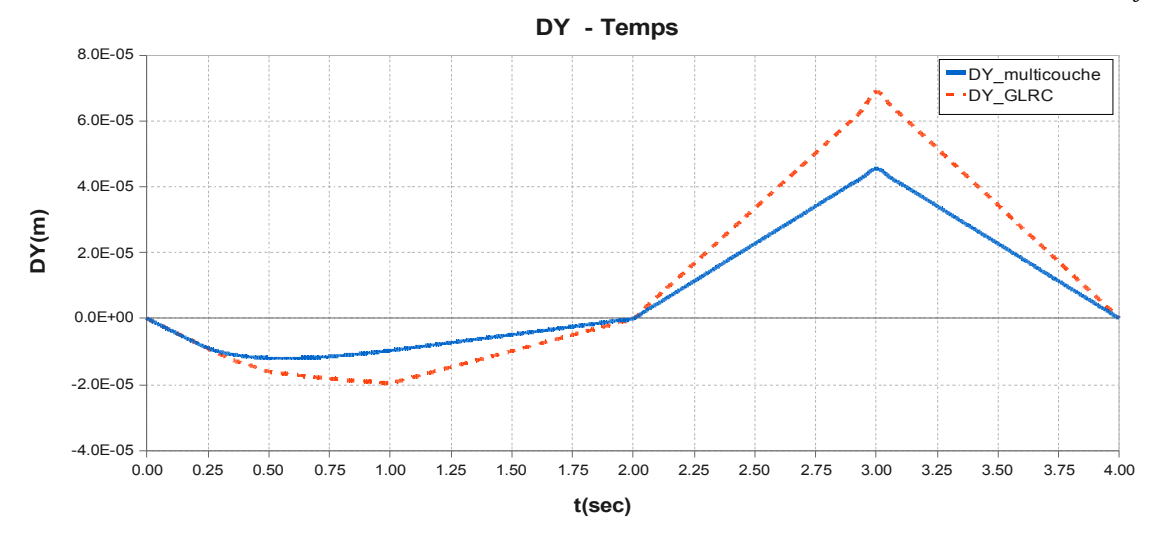


Diagrammes comparés du moment  $M_{yy}$  en fonction de la rotation DRY imposée pour le chargement fl :

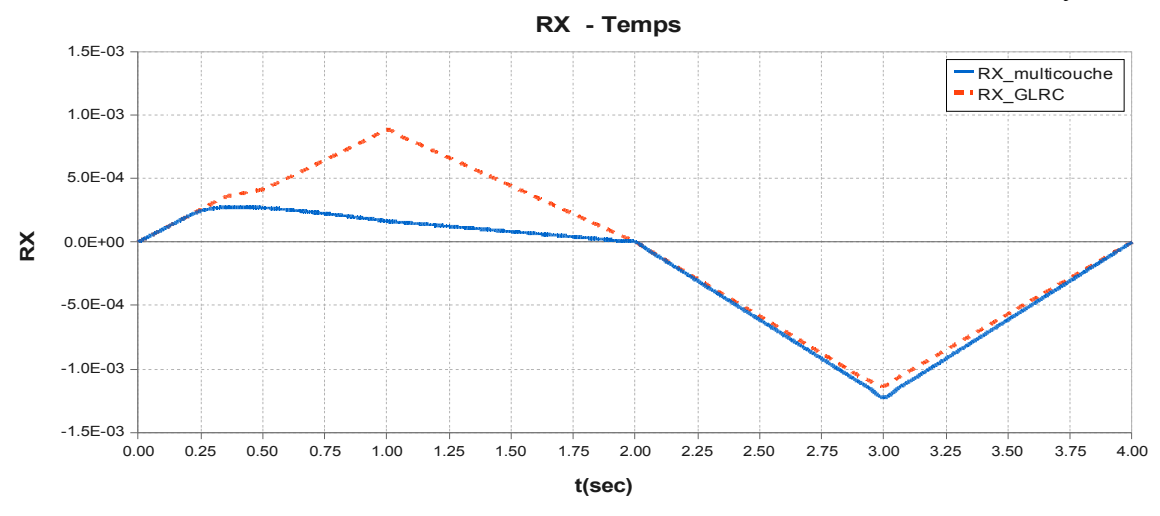


Date: 01/03/2013 Page: 22/63 Responsable: Sébastien FAYOLLE Clé: V6.05.106 Révision: 10570

## Diagrammes comparés déplacement $\,DY\,$ (dû à l'effet de Poisson) pour le chargement $\,fI\,$ :



Diagrammes comparés rotation DRX (dû à l'effet de Poisson) pour le chargement fl:



Diagrammes de l'évolution de l'endommagement du modèle  ${\tt GLRC\_DM}$  ( $d_1$  pour la face supérieure et  $d_{\gamma}$  pour la face inférieure) en fonction du temps :

Variables d'endommagement d1 & d2 - Temps

2 1.5 ÷ d1

Temps

Manuel de validation

d2

Titre: SSNS106 - Endommagement d'une plaque plane sous so[...]

Responsable: Sébastien FAYOLLE

Date: 01/03/2013 Page: 23/63
Clé: V6.05.106 Révision: 10570

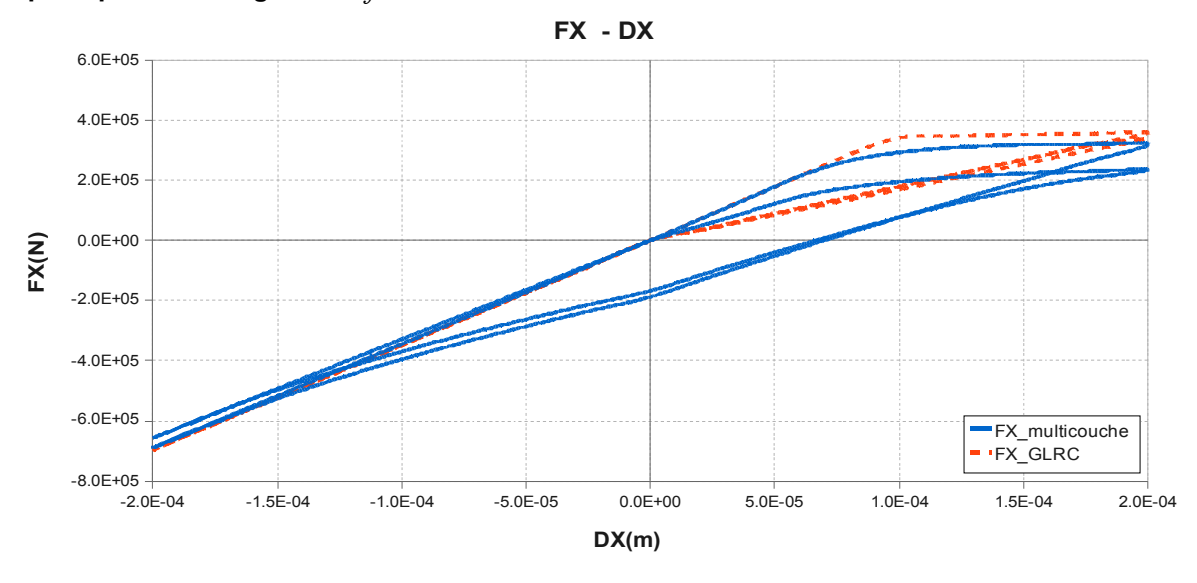
## 5.4 Grandeurs testées et résultats : deuxième chargement (membrane deux fois plus rapide que flexion)

On compare les forces moyennes selon l'axe Ox, les déplacements moyens selon l'axe Oy, les moments moyens selon l'axe Oy et les rotations moyennes selon l'axe Ox obtenus par la modélisation multi-couches (référence) et par celle reposant sur le modèle <code>GLRC\_DM</code>, en terme de différences relatives; les tolérances sont prises en valeur relative sur ces différences relatives (non-régression) :

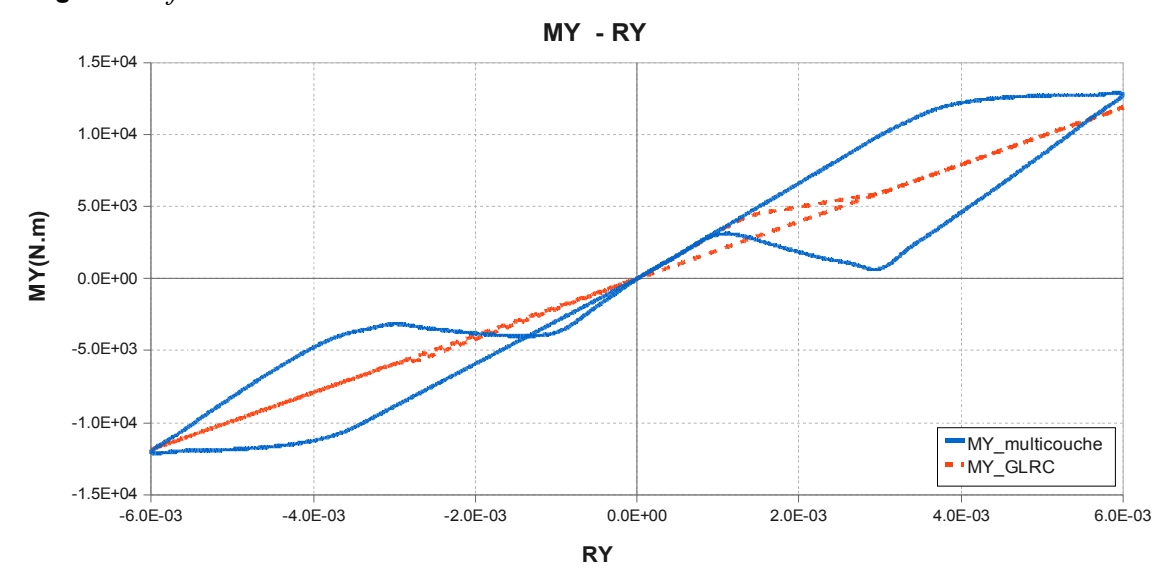
Identification	Type de référence	Valeur de référence	Toléranc e
PHASE ELASTIQUE $t=0,2$	•		<del>-</del>
Différence relative des efforts $N_{_{_{XX}}}$ en $A2-A4$	NON_REGRESSION	0.076636834	$1 \ 10^{-6}$
Différence relative des déplacements $DY$ en	NON_REGRESSION	0.04157561	1 10 <sup>-6</sup>
A2-A4 PHASE ELASTIQUE $t=0,25$			
Différence relative des moments $M_{yy}$ en $A2-A4$	NON_REGRESSION	0.704009303	$1 \ 10^{-6}$
Différence relative des rotations $DRX$ en $A2-A4$ PHASE ENDOMMAGEMENT $t=0,5$	NON_REGRESSION	0.598054490	1 10 <sup>-6</sup>
Différence relative des efforts $N_{xx}$ en $A2-A4$	NON_REGRESSION	0.123330386	1 10-6
Différence relative des déplacements $DY$ en	NON_REGRESSION	0.255062957	1 10 <sup>-6</sup>
$A2-A4$ PHASE ENDOMMAGEMENT $t=1,0$ Différence relative des moments $M_{yy}$ en $A2-A4$	NON REGRESSION	-0.07043058	1 10 <sup>-6</sup>
Différence relative des rotations $DRX$ en $A2-A4$ PHASE DECHARGEMENT $t=1,5$	NON_REGRESSION	7 0.469177765	1 10 <sup>-6</sup>
Différence relative des efforts $N_{xx}$ en $A2-A4$	NON_REGRESSION	0.011450607	1 10 <sup>-6</sup>
Différence relative des déplacements $DY$ en		0.341544237	1 10 <sup>-6</sup>
A2-A4 Différence relative des moments $M_{_{VV}}$ en $A2-A4$	NON_REGRESSION	-0.40261933	1 10-6
Différence relative des rotations $DRX$ en $A2-A4$ PHASE ELASTIQUE $t=2,25$	NON_REGRESSION	0.418428062	1 10 <sup>-6</sup>
Différence relative des moments $M_{_{VV}}$ en $A2-A4$	NON_REGRESSION	-0.20854202	1 10 <sup>-6</sup>
Différence relative des rotations $DRX$ en $A2-A4$ PHASE ELASTIQUE $t=2,5$	NON_REGRESSION	0.194832056	1 10 <sup>-6</sup>
Différence relative des efforts $N_{xx}$ en $A2-A4$	NON_REGRESSION	0.444039545	1 10 <sup>-6</sup>
Différence relative des déplacements $DY$ en	NON_REGRESSION	0.621203835	1 10 <sup>-6</sup>
A2-A4 PHASE RECHARGEMENT $t=3,0$			
Différence relative des moments $M_{_{VV}}$ en $A2-A4$	NON_REGRESSION	-0.01497317	1 10 <sup>-6</sup>
Différence relative des rotations $DRX$ en $A2-A4$ PHASE DECHARGEMENT $t=3,5$	NON_REGRESSION	0.363498924	1 10 <sup>-6</sup>
Différence relative des efforts $N_{xx}$ en $A2-A4$	NON_REGRESSION	0.058363999	1 10 <sup>-6</sup>
Différence relative des déplacements $DY$ en	NON_REGRESSION	0.178663987	1 10 <sup>-6</sup>
A2-A4			
Différence relative des moments $M_{yy}$ en $A2-A4$	NON_REGRESSION		$1 \ 10^{-6}$
Différence relative des rotations $DRX$ en $A2-A4$	NON_REGRESSION		1 10 <sup>-6</sup>
Manuel de validation	Fascicule v6.05 : Statiqu	ie non iineaire des plaq	ques et aes coques

Date: 01/03/2013 Page: 24/63 Responsable: Sébastien FAYOLLE Clé: V6.05.106 Révision: 10570

Diagrammes comparés de la force FX (efforts  $N_{xx}$ ) – en fonction du déplacement DXimposé pour le chargement f2:

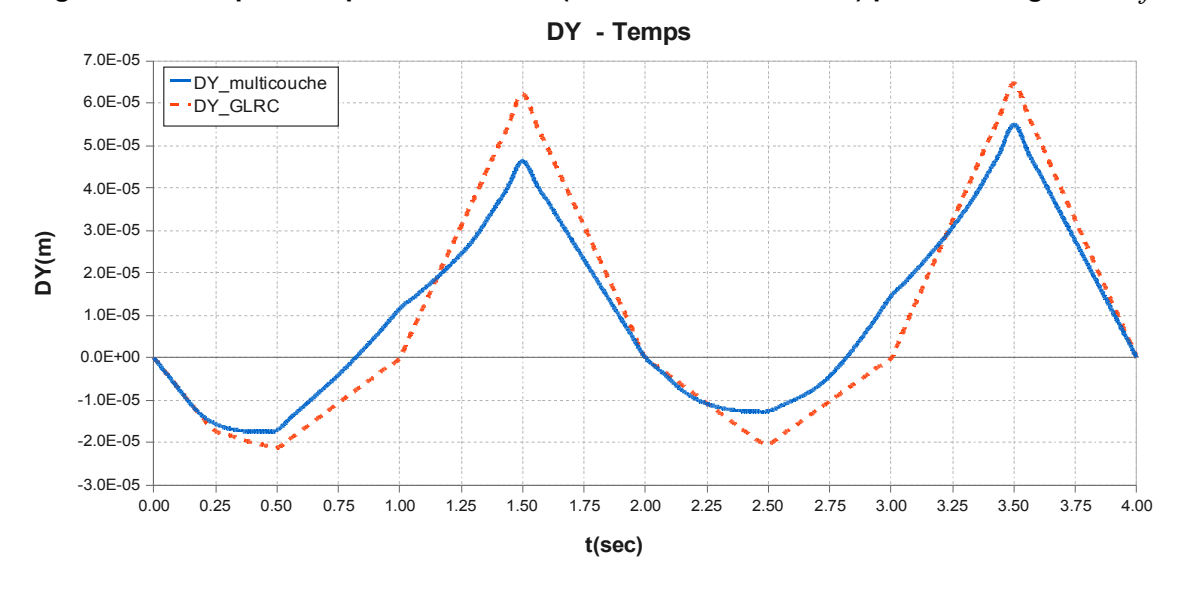


Diagrammes comparés moment  $M_{_{V\!V}}$  en fonction de la rotation DRY imposée pour le chargement f2:

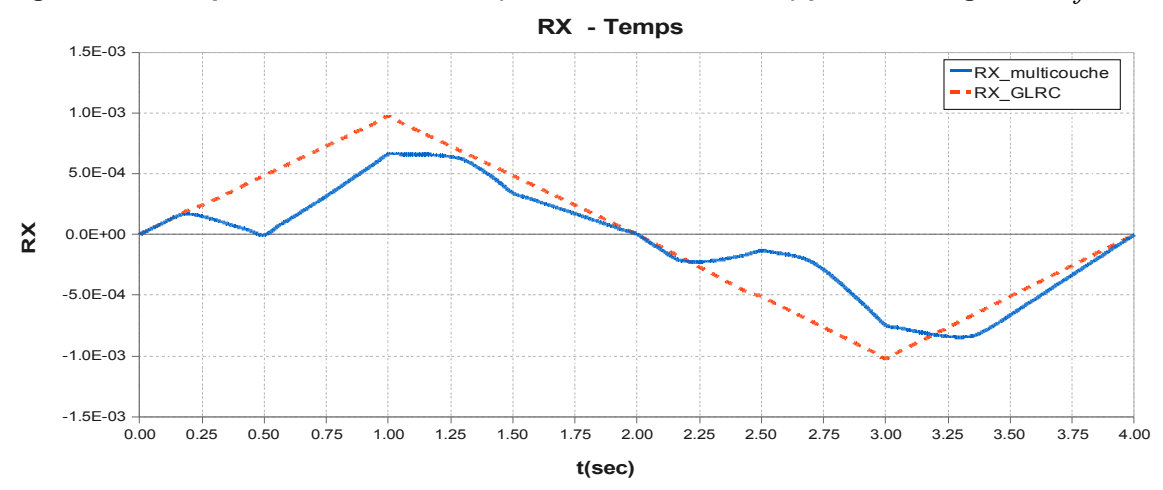


Date: 01/03/2013 Page: 25/63 Responsable: Sébastien FAYOLLE Clé: V6.05.106 Révision: 10570

#### Diagrammes comparés déplacement DY (dû à l'effet de Poisson) pour le chargement f2:



#### Diagrammes comparés rotation DRX (dû à l'effet de Poisson) pour le chargement f2:



Diagrammes de l'évolution de l'endommagement du modèle GLRC DM (  $d_{\scriptscriptstyle 1}$  pour la face supérieure et  $d_{\gamma}$  pour la face inférieure) en fonction du temps :

Variables d'endommagement d1 & d2 - Temps 1.4 1.2 1 0.8 ÷ 0.6 0.4 d1 Temps

Manuel de validation

Version default

Titre: SSNS106 - Endommagement d'une plaque plane sous so[...]
Responsable: Sébastien FAYOLLE

Date : 01/03/2013 Page : 26/63 Clé : V6.05.106 Révision : 10570

#### **Remarques**

Ces résultats sont obtenus en utilisant les paramètres matériau qui ont été identifiés à partir des tests A (pour les paramètres de membrane) et B (pour les paramètres de flexion). Bien que les résultats du modèle <code>GLRC\_DM</code> en traction — compression pure et en flexion pure soient très satisfaisants par rapport au calcul de référence multicouche, l'erreur du modèle <code>GLRC\_DM</code> en couplage de membrane — flexion dans la phase non-linéaire est notable. On constate que la réponse en phase élastique est juste et que la différence est due au critère d'apparition de l'endommagement. Par référence aux courbes, on constate qu'en couplage de membrane — flexion, les seuils d'endommagement (  $N_D$  et  $M_D$  ) déjà identifiés à partir des tests traction-compression pure et la flexion pure, donnent une surestimation en cas de couplage flexion-membrane par rapport à la solution de référence. Cela engendre une erreur notable dans les phases suivantes.

On propose d'abaisser les valeurs de  $N_D$  et  $M_D$  de 10% afin de diminuer cette erreur-là. (cf. [R7.32.01] modèle <code>GLRC\_DM</code> , § 3.2.1).

Do x L

Titre: SSNS106 - Endommagement d'une plaque plane sous so[...]

Date: 01/03/2013 Page: 27/63 Responsable: Sébastien FAYOLLE Clé: V6.05.106 Révision: 10570

#### Modélisation D 6

#### 6.1 Caractéristiques de la modélisation

Distorsion et cisaillement pur dans le plan.

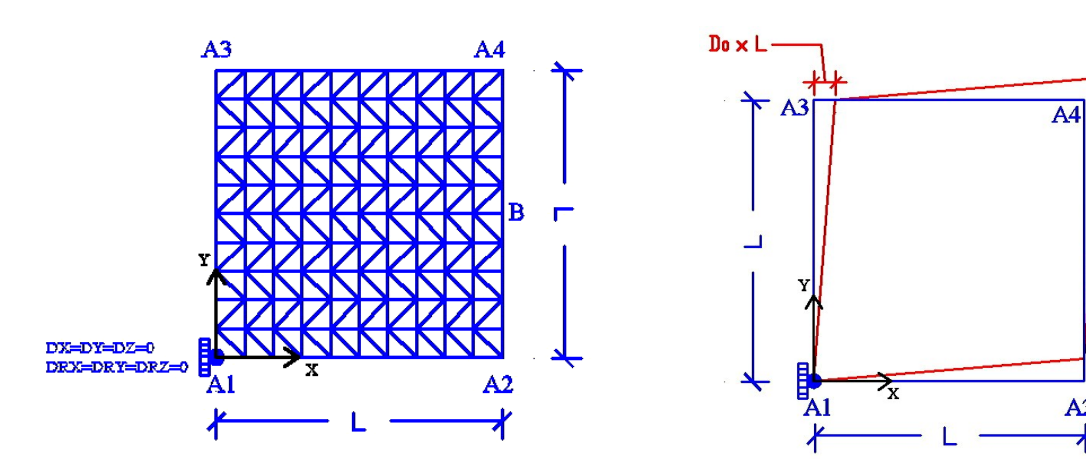


Figure 6.1-a: Maillage et conditions aux limites

Modélisation : DKTG. L = 1.0 m.

Conditions aux limites (voir figure ci-dessus à droite) de telle sorte que la plaque soit soumise à une distorsion pure :  $\varepsilon_{xy}$  doit être constant ou à un cisaillement pur : on applique des efforts. Par conséquent, on applique le champ de déplacement suivant sur les bords de la plaque pour la distorsion:

$$\begin{cases} u_x = D_0 \cdot y \\ u_y = D_0 \cdot x \end{cases} \Rightarrow \varepsilon = \frac{1}{2} \left( u_{x,y} + u_{y,x} \right) = D_0$$

ullet on impose un encastrement en  $A_1$  ,

 $\bullet\;u_x\!=\!D_0\cdot y\quad\text{,}\quad u_v^{}\!=\!0\;\;\text{sur l'arête}\;\;A_1-A_3\;\text{,}\;u_x^{}\!=\!0\quad\text{,}\quad u_y^{}\!=\!D_0\cdot x\;\;\text{sur l'arête}\;\;A_1-A_2\;\text{,}$ 

 $\bullet \ u_x = D_0 \cdot y \ , \quad u_y = D_0 \cdot L \ \text{ sur l'arête } \ A_2 - A_4 \ , \quad u_x = D_0 \cdot L \ , \quad u_y = D_0 \cdot x \ \text{ sur l'arête } \ A_3 - A_4 \ , \quad u_y = D_0 \cdot$ 

où  $D_0 = 3.310^{-4}$  et f(t) représentent l'amplitude du chargement cyclique en fonction du paramètre (de pseudo-temps) t, définie comme :

Fonction de chargement

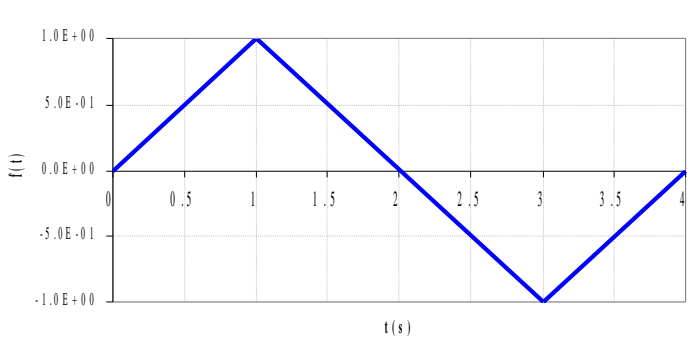


Figure 6.1-b: fonction de chargement

Incrément d'intégration : 0.05 s.

Titre: SSNS106 - Endommagement d'une plaque plane sous so[...]

Date: 01/03/2013 Page: 28/63

Responsable : Sébastien FAYOLLE Clé : V6.05.106 Révision : 10570

Pour le cisaillement, on applique les efforts suivants :

- on impose  $F_{_{_{\boldsymbol{\mathcal{V}}}}}\!=\!D_0$  sur  $A_2\,A_4$  ,
- on impose  $F_x = D_0 \text{ sur } A_4 A_3$  ,
- on impose  $F_y = -D_0 \operatorname{sur} A_3 A_1$  ,
- on impose  $F_x = -D_0$  sur  $A_1 A_2$  ,

## 6.2 Caractéristiques du maillage

Nœuds: 121.

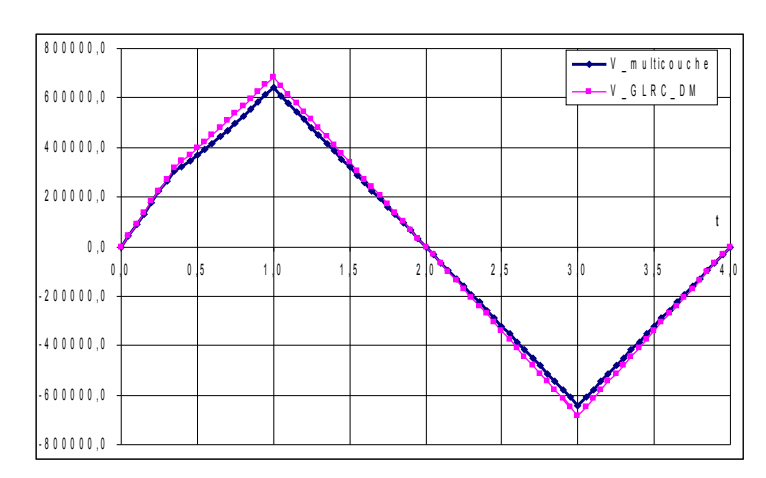
Mailles: 200 TRIA3; 40 SEG2.

#### 6.3 Grandeurs testées et résultats

Pour la distorsion, on compare l'effort tranchant  $N_{xy}$  obtenu par les deux modélisations ; les tolérances sont prises en valeur absolue sur ces différences relatives :

Identification	Type de référence	Valeur de référence	Toléranc e
DISTORSION POSITIF - PHASE ELASTIQUE $t = 0.25$			
Différence relative des efforts $N_{xy}$ en $B$ DISTORSION POSITIF - PHASE ENDOMMAGEMENT $t\!=\!1,0$	AUTRE_ASTER	0	5 10 <sup>-2</sup>
Différence relative des efforts $N_{xy}$ en $B$ DISTORSION POSITIF - PHASE DECHARGEMENT $t\!=\!1,\!5$	AUTRE_ASTER	0	7 10 -2
Différence relative des efforts $N_{xy}$ en $B$ DISTORSION NEGATIF - PHASE CHARGEMENT $t=3.0$	AUTRE_ASTER	0	7 10 -2
Différence relative des efforts $N_{xy}$ en $B$ DISTORSION NEGATIF - PHASE DECHARGEMENT $t=3.5$	AUTRE_ASTER	0	7 10 <sup>-2</sup>
Différence relative des efforts $N_{_{xy}}$ en $B$	AUTRE_ASTER	0	7 10 <sup>-2</sup>

## Diagramme effort tranchant $\,N_{_{X\!Y}}$ (dans le plan) en fonction du temps :



Révision: 10570

Titre: SSNS106 - Endommagement d'une plaque plane sous so[...]

Date: 01/03/2013 Page: 29/63 Responsable: Sébastien FAYOLLE Clé: V6.05.106

Diagramme effort tranchant  $\,N_{_{XV}}\,$  (dans le plan) en fonction de  $\,D_0\,$  imposé :

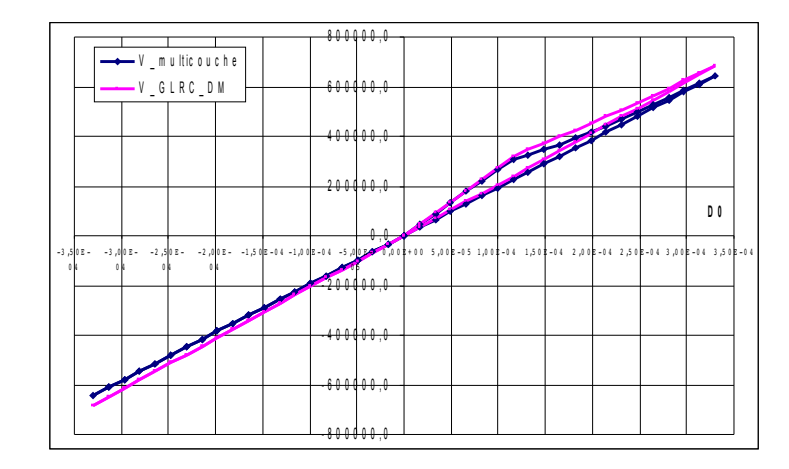
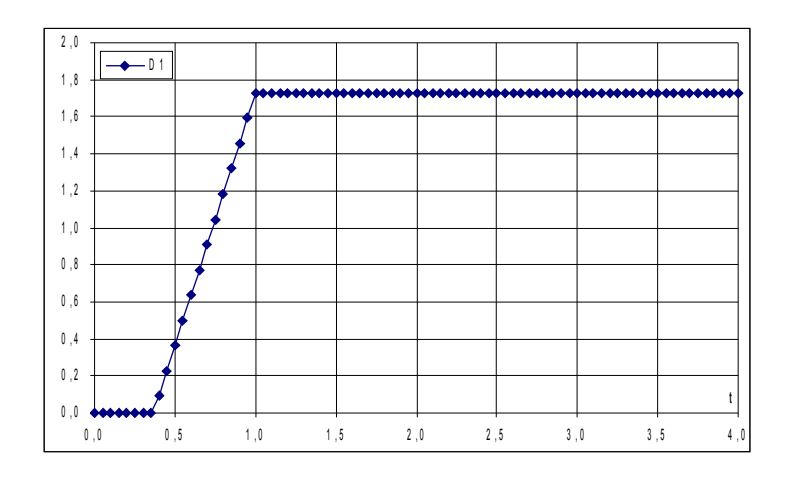


Diagramme de l'évolution de l'endommagement du modèle glrc\_DM (  $d_1$  =  $d_2$  ) en fonction du temps:



Pour le cisaillement, on fait des tests de non régression sur les déformations de cisaillement  $\varepsilon_{_{\chi\gamma}}$  :

Identification	Type de référence	Valeur de référence	Toléranc e
CISAILLEMENT POSITIF - PHASE ELASTIQUE $t$ =0,1			
Déformations de cisaillemen $\varepsilon_{xy}$ en $B$ DISTORSION POSITIF - PHASE DENDOMMAGEMENT $t\!=\!0.8$	NON_REGRESSION	3,013 10 <sup>-15</sup>	1 10 <sup>-6</sup>
Déformations de cisaillemen $\varepsilon_{xy}$ en $B$	NON_REGRESSION	2,410 10 <sup>-14</sup>	7 10 -2

#### 6.4 Remarques

Afin d'avoir un meilleur accord entre le modèle GLRC DM et la référence (modèle multicouche) en distorsion pure, il a été nécessaire de modifier le module de Young de  $E=35620\ MPa$  à  $E = 42500 \ MPa$  par rapport aux modélisations A,B,C, sachant qu'en distorsion pure les aciers ne sont pas chargés.

Responsable : Sébastien FAYOLLE

On vérifie que l'effort tranchant obtenu avec  $Code\_Aster$  à l'instant t = 0.37427, juste à apparition du premier endommagement produit la valeur théorique élastique :

$$N_{xy}^{D} = 2 \frac{\sqrt{2 \mu_{m} k_{0}}}{\sqrt{2 - \gamma_{mc} - \gamma_{mt}}} = \frac{N_{D}}{1 + \nu_{m}} \sqrt{\frac{(1 - \nu_{m})(1 + 2\nu_{m})(1 - \gamma_{mt}) + \nu_{m}^{2}(1 - \gamma_{mc})}{2 - \gamma_{mc} - \gamma_{mt}}}$$

soit: 
$$N_{xy}^D = 331128 \ N/m$$
.

Titre : SSNS106 - Endommagement d'une plaque plane sous so[...]

Responsable : Sébastien FAYOLLE

Date : 01/03/2013 Page : 31/63
Clé : V6.05.106 Révision : 10570

## 7 Modélisation E

## 7.1 Caractéristiques de la modélisation

Couplage flexion - cisaillement dans le plan.

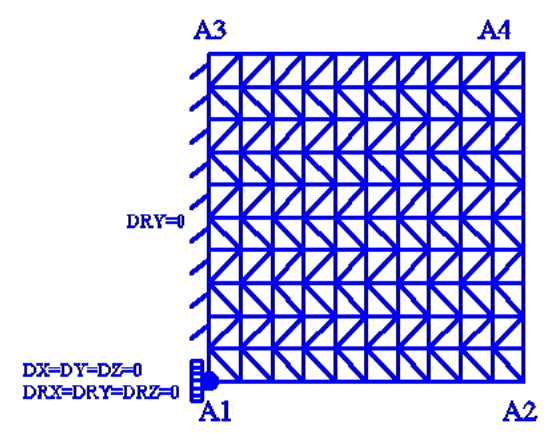


Figure 7.1-a: maillage

Modélisation : DKTG. L=1.0 m.

Conditions aux limites (voir figure ci-dessous):

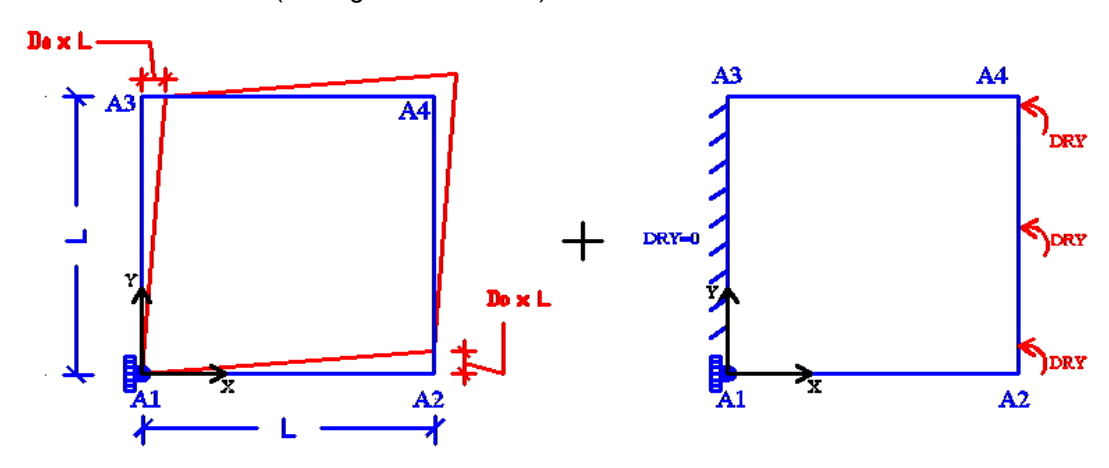


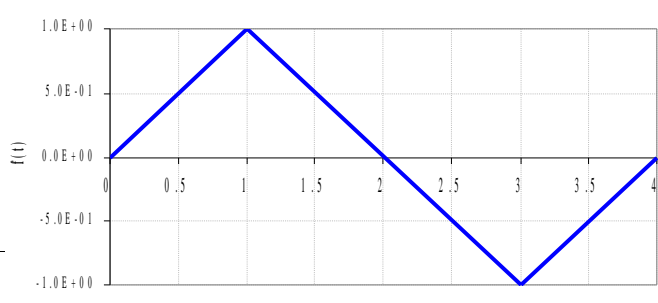
Figure 7.1-b: Conditions aux limites

 $\bullet$  on impose un encastrement en  $\,A_1\,$  , et

- $\bullet \ u_x = D_0 \cdot y \quad , \quad u_y = 0 \quad \text{sur l'arête} \quad A_1 A_3 \ , u_x = 0 \quad , \quad u_y = D_0 \cdot x \quad \text{et} \quad DRY = 0.0 \quad \text{sur l'arête} \quad A_1 A_2$
- $\bullet \ u_x = D_0 \cdot y \ , \quad u_y = D_0 \cdot L \ \text{ et } \ \mathrm{DRY} \ = \ R_0 \times f(t) \quad \text{sur l'arête} \quad A_2 A_4 \ , \quad u_x = D_0 \cdot L \ , \quad u_y = D_0 \cdot x \, \mathrm{sur}$  l'arête  $A_3 A_4$  ,

où  $D_0 = 1.110^{-4} \cdot f(t)$ ,  $R_0 = 6.010^{-3}$  et f(t) représentent l'amplitude du chargement cyclique en onction du paramètre (de pseudo-temps) t, définie comme :

#### 7.2 Caractér



non linéaire des plaques et des coques

Titre : SSNS106 - Endommagement d'une plaque plane sous so[...]

Responsable : Sébastien FAYOLLE

Date : 01/03/2013 Page : 32/63
Clé : V6.05.106 Révision : 10570

Nombre de nœuds : 121.

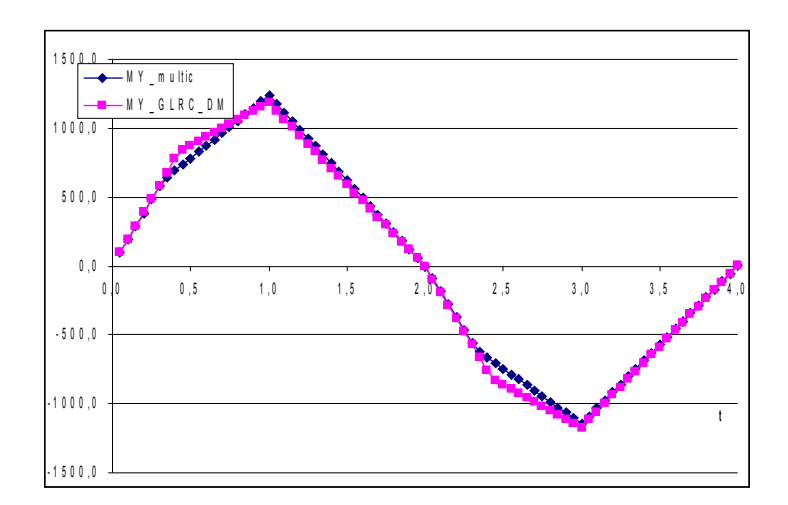
Nombre de mailles : 200 TRIA3 ; 40 SEG2.

#### 7.3 Grandeurs testées et résultats

On évalue par des tests de non-régression à divers instants les résultats obtenus par la modélisation  ${\tt GLRC\_DM}$ :

Identification	Type de référence	Valeurs de référence	tolérance
À t=1,0			
Déplacement $DX$ en $A2$	NON_REGRESSION	0	$1 \ 10^{-6}$
Déplacement $DZ$ en $A2$	NON_REGRESSION	$-3.0   10^{-3}$	$1 \ 10^{-4}$
Effort $N_{yy}$ en $A2$	NON_REGRESSION	15058.8134864	$1 \ 10^{-4}$
Variable d'endommagement $d1$ en $A1$	NON_REGRESSION	0.0	$1 \ 10^{-4}$
Variable d'endommagement $d2$ en $A1$	NON_REGRESSION	1.178108	1 10-4
$\lambda t = 2.8$			
Déplacement $DX$ en $A4$	NON_REGRESSION	$-8.8   10^{-5}$	1 10-4
Déplacement DZ en A4	NON_REGRESSION	$1.9504378 \ 10^{-3}$	1 10-4
Effort $N_{yy}$ en $A4$	NON_REGRESSION	-12047.0496585	1 10 <sup>-4</sup>
Variable d'endommagement $d1$ en $A1$	NON_REGRESSION	0.75196363	1 10-4
Variable d'endommagement $d2$ en $A1$	NON_REGRESSION	1.178108	$1 \ 10^{-4}$
$\lambda t = 3.0$			
Variable d'endommagement $d1$ en $A1$	NON_REGRESSION	1.162571	1 10-4
Variable d'endommagement $d2$ en $A1$	NON_REGRESSION	1.178108	1 10-4

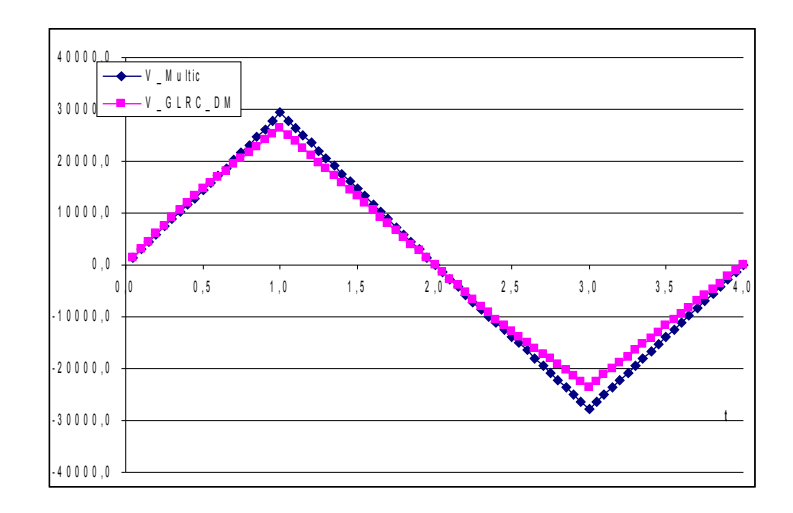
Diagrammes comparés modèle multicouche-modèle <code>GLRC\_DM</code> moment fléchissant  $M_{yy}$  en fonction du temps :



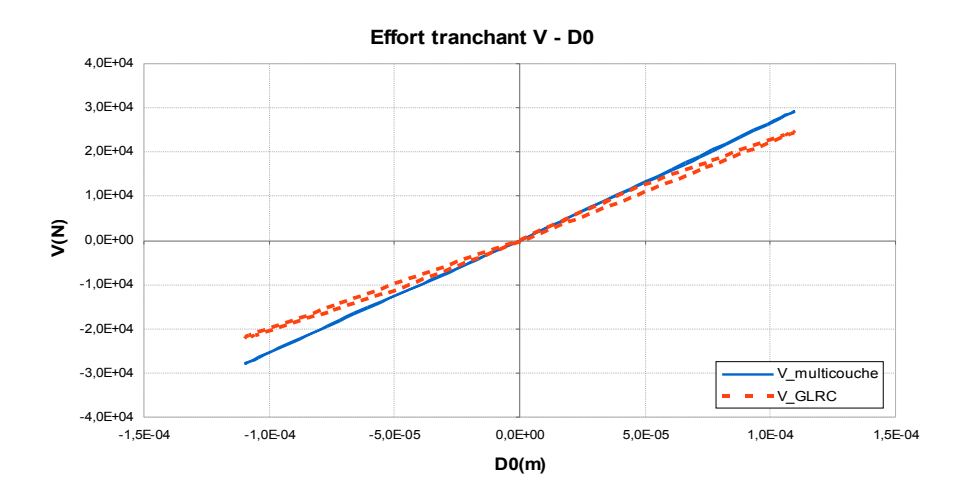
Titre: SSNS106 - Endommagement d'une plaque plane sous so[...]
Responsable: Sébastien FAYOLLE

Date : 01/03/2013 Page : 33/63 Clé : V6.05.106 Révision : 10570

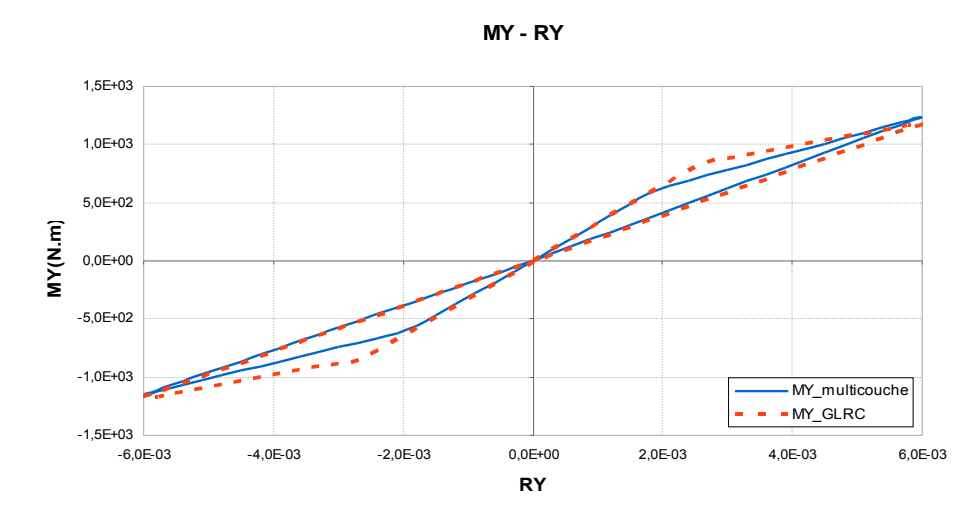
Diagrammes comparés modèle multicouche-modèle <code>GLRC\_DM</code> effort tranchant  $N_{xy}$  en fonction du temps :



Diagrammes comparés modèle multicouche-modèle <code>GLRC\_DM</code> de l'effort tranchant moment fléchissant  $N_{xv}$  en fonction de la distorsion :



Diagrammes comparés modèle multicouche-modèle <code>GLRC\_DM</code> du moment fléchissant  $M_{yy}$  en fonction de la rotation :



Responsable : Sébastien FAYOLLE

Date: 01/03/2013 Page: 34/63 Clé: V6.05.106 Révision: 10570

### Diagramme de l'évolution de l'endommagement du modèle $\mathtt{GLRC\_DM}$ ( $d_1$ , $d_2$ ) en fonction du temps :

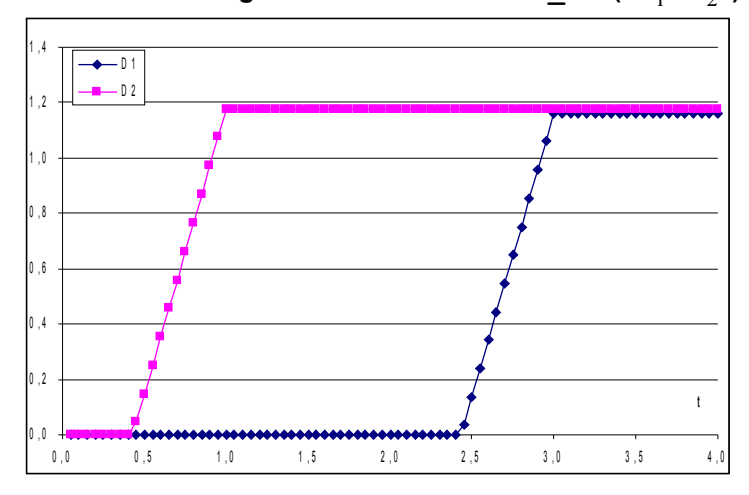
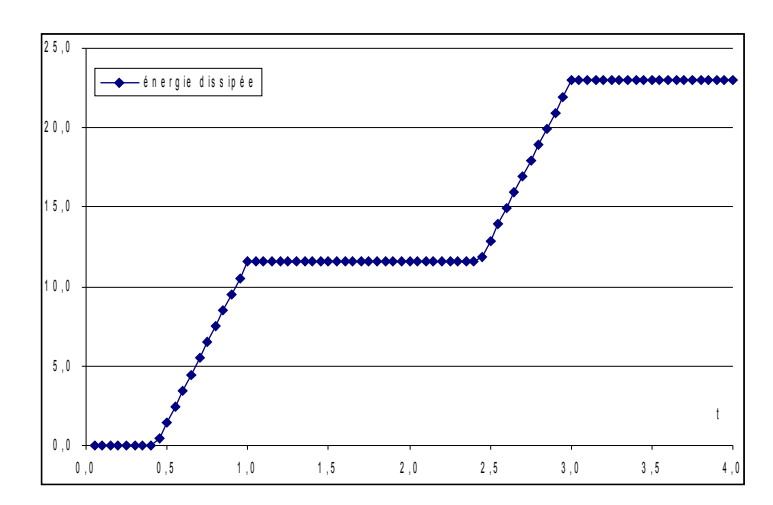


Diagramme de l'évolution de la densité surfacique d'énergie dissipée (en  $J/m^2$  ) du modèle <code>GLRC\_DM</code> en fonction du temps :



On vérifie, confer [R7.01.32], qu'avec les données du cas-test, on a :  $k_0 = 9,81138260345866$   $J/m^2$ , d'où les densités surfaciques d'énergie dissipée :

Instant	$d_1$	$d_2$	énergie dissipée $J/m^2$
t = 2,0 s	0.0000	1.1781	11.5589
t = 4.0  s	1.1626	1.1781	22.9653

Titre : SSNS106 - Endommagement d'une plaque plane sous so[...]

Responsable : Sébastien FAYOLLE

Date : 01/03/2013 Page : 35/63

Clé : V6.05.106 Révision : 10570

#### 8 Modélisation F

Traction – compression pure comportement élastoplastique endommageable (  $GLRC\_DM + Von$  Mises).

Dans ce test, on s'intéresse au comportement élastoplastique. On peut insérer un comportement plastique à la réponse du modèle <code>GLRC\_DM</code> via un "kit" qui permet de mettre en série le modèle <code>GLRC\_DM</code> avec un modèle plastique de Von Mises classique. Ce kit consiste à imposer le même tenseur des contraintes aux deux modèles et à cumuler les deux tenseurs des déformations.

## 8.1 Caractéristiques de la modélisation

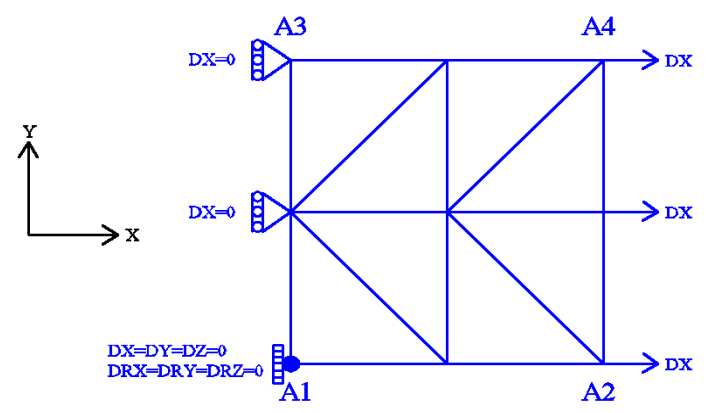


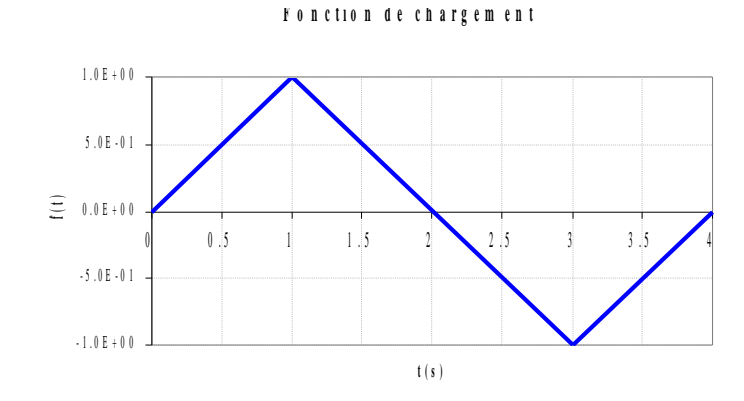
Figure 8.1-a: maillage et conditions aux limites

Modélisation : DKTG.  $L=1.0\,m$  .

Conditions aux limites :

- Encastrement en  $A_1$ ;
- DX = 0.0 sur l'arête  $A_1 A_3$ ;
- $DX = U_0 \times f(t)$  sur l'arête  $A_2 A_4$ ;

où  $U_0 = 3.0 \times 10^{-3} \, m$  et f(t) représentent l'amplitude du chargement cyclique en fonction du paramètre (de pseudo-temps) t comme suit :



Incrément d'intégration :  $8.50 \times 10^{-3}$ .

## 8.2 Caractéristiques du maillage

Nombre de nœuds : 9.

Nombre de mailles : 8 TRIA3 ; 8 SEG2.

Date: 01/03/2013 Page: 36/63 Responsable : Sébastien FAYOLLE Clé: V6.05.106 Révision: 10570

#### 8.3 Grandeurs testées et résultats

Identification	Type de référence	Valeur de référence	Toléranc e
À $t=0.017$ traction - phase élastique			
Déplacement $DY$ en $A4$	NON_REGRESSION	$1.44237 \ 10^{-2}$	$1 \ 10^{-4}$
Effort membranaire $N_{xx}$ en $A4$	AUTRE_ASTER	0	$5 \ 10^{-3}$
À $t=0.085$ traction - phase endommagement			
Déplacement $DY$ en $A4$	NON_REGRESSION	$-4.84715 \ 10^{-1}$	$1 \ 10^{-4}$
Effort membranaire $N_{xx}$ en $A4$	NON_REGRESSION	-3.460140	1 10-4
		10 <sup>-3</sup>	
$\lambda$ $t$ = 0,085 traction - phase plasticité + endommagement			
Effort membranaire $N_{xx}$ en $A4$	NON_REGRESSION	-0.069405040	$1 \ 10^{-4}$
À $t=2,04$ traction - phase décharge			
Effort membranaire $N_{xx}$ en $A4$	NON_REGRESSION	-1.11050 10 <sup>+5</sup>	$1 \ 10^{-4}$
À $t=0.017$ traction - phase élastique			
Densité d'énergie de déformation totale dans la dalle	NON_REGRESSION	4.642785	$1 \ 10^{-5}$
en A2	NOW DESCRIPTION	4 640705	
Densité d'énergie de déformation membranaire dans	NON_REGRESSION	4.642785	$1 \ 10^{-5}$
la dalle en $\ A2$ Densité d'énergie de déformation totale dans la dalle	NON_REGRESSION	4.642785	1 10 <sup>-5</sup>
maille $MI$ Densité d'énergie de déformation de flexion dans la	AUTRE_ASTER	0	1 10 <sup>-13</sup>
dalle maille $MI$ À $t\!=\!0.085$ traction - phase endommagement Densité d'énergie de déformation totale dans la dalle en $A2$ Densité d'énergie de déformation totale dans la dalle	NON_REGRESSION	48.15097 48.15097	1.5 10 <sup>-1</sup> 1.5 10 <sup>-1</sup>
maille $MI$ Densité d'énergie de déformation de flexion dans la	AUTRE_ASTER	0	1 10 <sup>-13</sup>
dalle maille $MI$ À $t\!=\!1,\!0$ fin de charge Densité d'énergie de déformation de flexion dans la	AUTRE_ASTER	0	1 10 <sup>-13</sup>
dalle maille $MI$ À $t=0.017$ traction - phase élastique Énergie de déformation dans la dalle Travail extérieur	NON_REGRESSION NON_REGRESSION		1 10 <sup>-5</sup> 1 10 <sup>-5</sup>
À $t = 0.085$ traction - phase endommagement Énergie de déformation dans la dalle	NON REGRESSION	54.78	2 10 <sup>-2</sup>
Travail extérieur	NON_REGRESSION	54.78	2 10 2 10 -2
$\lambda t = 1,0$ fin de charge Énergie de déformation dans la dalle	NON_REGRESSION	817.14	2.5 10 <sup>-3</sup>

Titre : SSNS106 - Endommagement d'une plaque plane sous so[...] Date : 01/03/2013 Page : 37/63
Responsable : Sébastien FAYOLLE Clé : V6.05.106 Révision : 10570

### 9 Modélisation G

### 9.1 Caractéristiques de la modélisation

Cisaillement pur dans le plan comportement élastoplastique endommageable ( GLRC\_DM + Von Mises).

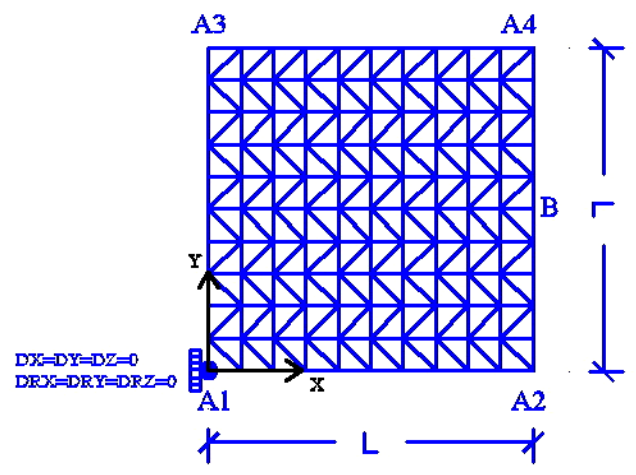


Figure 9.1-a: maillage

Modélisation : DKTG. L=1.0 m.

Conditions aux limites (voir figure ci-dessous):

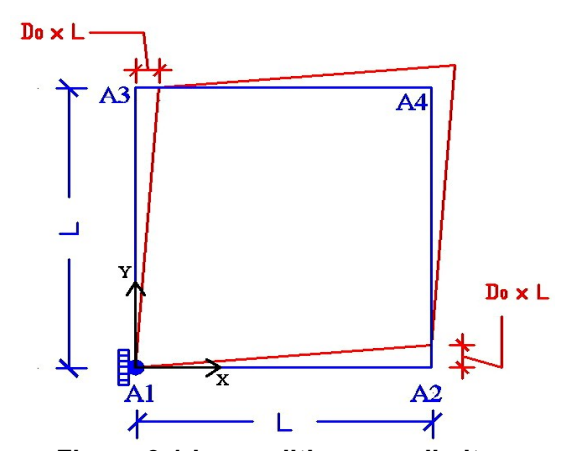


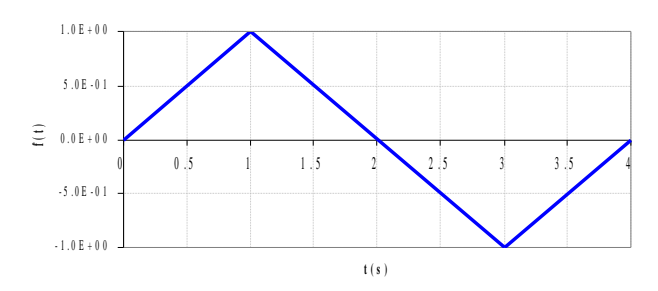
Figure 9.1-b: conditions aux limites

- on impose un encastrement en  $A_1$  ,
- $u_x = D_0 \cdot y$  ,  $u_y = 0$  sur l'arête  $A_1 A_3$  ,  $u_x = 0$  ,  $u_y = D_0 \cdot x$  et DRY = 0.0 sur l'arête  $A_1 A_2$  ,
- $u_x = D_0 \cdot y$ ,  $u_y = D_0 \cdot L$  et sur l'arête  $A_2 A_4$ ,  $u_x = D_0 \cdot L$ ,  $u_y = D_0 \cdot x$  sur l'arête  $A_3 A_4$ ,

où  $D_0 = 1.110^{-4} \cdot f(t)$ , et f(t) représentent l'amplitude du chargement cyclique en fonction du paramètre (de pseudo-temps) t, définie comme (incrément d'intégration :  $5.0 \times 10^{-5}$ ) :

Responsable : Sébastien FAYOLLE

#### Fonction de chargement



Titre: SSNS106 - Endommagement d'une plaque plane sous so[...]

Responsable: Sébastien FAYOLLE

Date: 01/03/2013 Page: 39/63
Clé: V6.05.106 Révision: 10570

## 9.2 Caractéristiques du maillage

Nombre de nœuds : 121.

Nombre de mailles : 200 TRIA3 ; 40 SEG2.

### 9.3 Grandeurs testées et résultats

Identification	Type de référence	Valeurs de référence	tolérance
$\dot{A} t = 0.25$			_
Déplacement $DY$ en $A4$	AUTRE_ASTER	0	$2,5   10^{-1}$
Effort membranaire $N_{_{yy}}$ en $\it A4$	AUTRE_ASTER	0	$5 \ 10^{-2}$
$\lambda t = 1,0$			
Effort membranaire $N_{yy}$ en $A4$	NON_REGRESSION	3353.497694	1,0 10-4
$\lambda t = 2.0$			
Déplacement $DX$ en $A4$	NON_REGRESSION	-0.2487559789	1,0 10-4
Effort membranaire $N_{_{yy}}$ en $A4$	NON_REGRESSION	0.2670950681	$1,0 10^{-4}$
$\lambda t = 2.0$			
Effort membranaire $N_{yy}$ en $A4$	NON_REGRESSION	-2577.113397	1,0 10-4
$\lambda t = 3.0$			
Effort membranaire $N_{_{yy}}$ en $A4$	NON_REGRESSION	25.02051934	1,0 10 <sup>-4</sup>

Date: 01/03/2013 Page: 40/63 Responsable: Sébastien FAYOLLE Clé: V6.05.106 Révision: 10570

#### Modélisation H 10

### Caractéristiques de la modélisation

T rac tion - Compression pures.

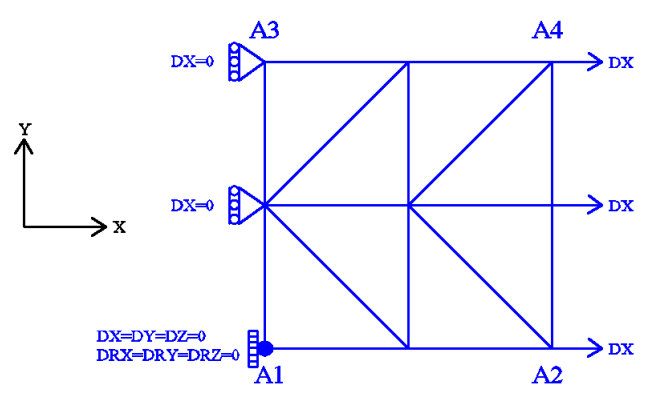


Figure 10.1-a: maillage et conditions aux limites.

Modélisation: DKTG Conditions aux limites :

- Encastrement en  $A_1$ ;
- DX = 0.0 sur l'arête  $A_1 A_3$ ;
- $D\!X\!=\!\boldsymbol{U}_{0}\times\boldsymbol{f}\left(t\right)$  sur l'arête  $\boldsymbol{A}_{2}\!-\!\boldsymbol{A}_{4}$  ;

où  $U_0\!=\!1.0\times 10^{-3}\,\mathrm{m}$  et  $f\left(t\right)$  représentent l'amplitude du chargement cyclique en fonction du paramètre (de pseudo-temps) t. Pour bien vérifier le modèle, on considère une fonction de chargement comme suit :

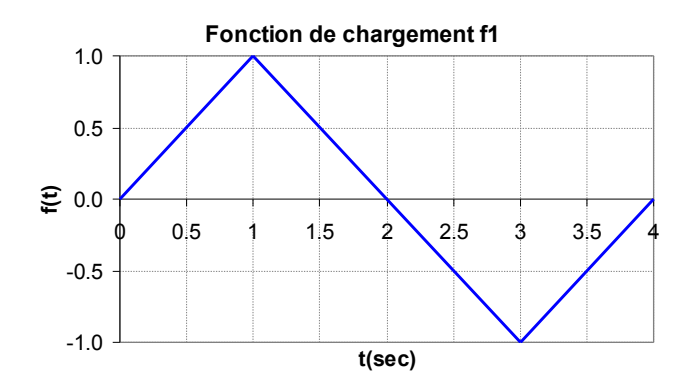


Figure 10.1-b: fonction de chargement : traction, puis compression

Note : la déformation extrémale est :  $1.0 \times 10^{-3}$  , soit environ le tiers de la déformation de passage en plasticité des aciers. Pas de temps d'intégration : 0.025 .

# 10.2 Caractéristiques du maillage

Nombre de nœuds : 9.

Nombre de mailles : 8 TRIA3 ; 8 SEG2.

Titre : SSNS106 - Endommagement d'une plaque plane sous so[...] Date : 01/03/2013 Page : 41/63
Responsable : Sébastien FAYOLLE Clé : V6.05.106 Révision : 10570

## 10.3 Solution de référence LABORD 1D

En plus de la solution de référence multicouches présentée au §2, on crée une seconde solution de référence à l'aide de la loi de comportement  ${\tt LABORD\_1D}$  [R7.01.07]. Cette seconde solution de référence est obtenue par une modélisation 1D en poutre multi-fibres, où le chargement est le même que celui des solutions multi-couches et  ${\tt GLRC\_DM}$ . On modélise le béton et les armatures séparément.

Cette solution découlant d'un calcul 1D, elle ne pourra pas prendre en compte les effets de poisson.

La longueur de la poutre est prise égale à 1m tandis que sa section est de  $1 \times 0.1m$  afin de correspondre aux dimensions de la plaque utilisée pour le calcul multi-couches et global.

### 10.3.1 Maillages et modèles

Il est nécessaire de définir deux maillages :

un maillage 1D longitudinal de la poutre, comprenant 2 nœuds et 1 élément (POU D EM).



Figure 10.3-a: maillage poutre pour LABORD 1D

un maillage 2D de la section transversale de béton.

Figure 10.3-b: maillage section pour LABORD\_1D

Au maillage 1D, on associe le modèle de poutre multi-fibres. Le « maillage » 2D n'est en fait que la représentation des fibres utilisées pour le calcul multi-fibres. Sur ce « maillage », on va ajouter deux fibres d'acier à l'aide de l'opérateur <code>DEFI\_GEOM\_FIBRE</code> et du mot-clé facteur <code>FIBRE</code>. La surface de chaque fibre d'armatures est de  $8.0 \times 10^{-4} \, m^2$  et leur position dans l'épaisseur est  $(0.0 \, , \pm \, 0.04 \, m)$ 

La fissuration du béton est modélisée par la loi de comportement LABORD\_1D, tandis qu'on suppose que l'acier reste toujours dans le domaine élastique.

### 10.3.2 Propriétés des matériaux

Béton (modèle LABORD 1D):

Module de Young :  $E_b = 32308.0 MPa$ 

Coefficient de Poisson :  $v_b = 0.0$ 

Seuil initial d'endommagement en traction (positif) :  $Y_{01} = 341.0 \ J.m^{-3}$ 

Seuil initial d'endommagement en compression (positif) :  $Y_{02} = 7075.0 \, J.m^{-3}$ 

Contrainte de refermeture totale des fissures en compression :  $\sigma_f$ =3.5 MPa

Paramètres caractéristiques du matériau :

$$A_1 = 0.01038$$
;  $A_2 = 0.599910^{-5}$   
 $B_1 = 1.2$ ;  $B_2 = 2.0$   
 $\beta_1 = 0.867 MPa$ ;  $\beta_2 = -35 MPa$ 

Acier :

Module de Young :  $E_a$  = 200000.0 MPa Limite de linéarité  $\sigma_a^{acier}$  : 570.0 MPa

Date: 01/03/2013 Page: 42/63

Titre: SSNS106 - Endommagement d'une plaque plane sous so[...]

Responsable : Sébastien FAYOLLE Clé : V6.05.106 Révision : 10570

Pente post-élastique  $E_{\acute{e}crou\acute{b}s}^{acier}$  : = 0.0015  $E_a$  = 300 MPa .

### 10.4 Valeurs testées et résultats

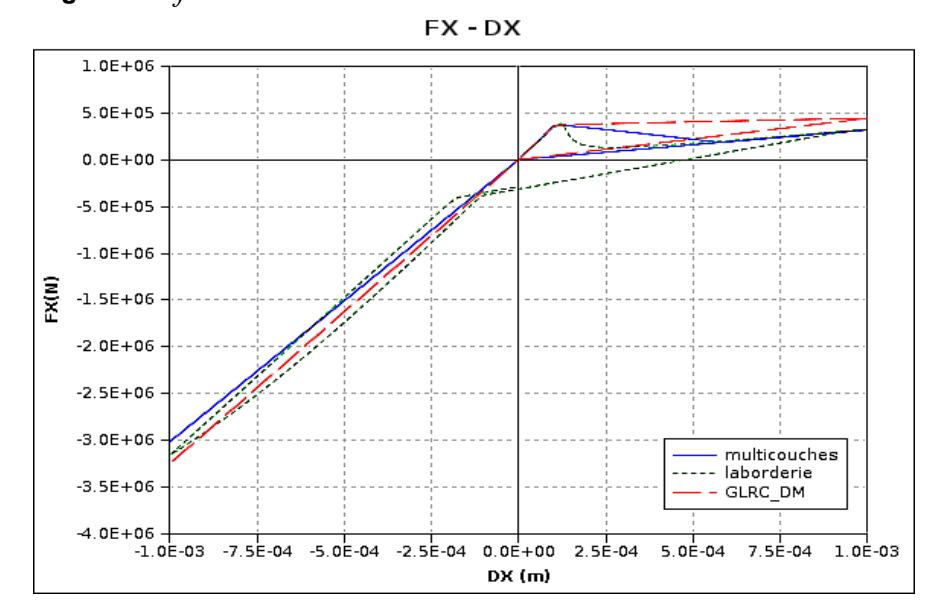
On compare les forces de réactions moyennes selon l'axe Ox et les déplacements moyens selon l'axe Oy obtenus par la modélisation multi-couches (référence), par la modélisation multi-fibres (référence 2) et par celle reposant sur le modèle <code>GLRC\_DM</code>, en terme de différences relatives; la tolérance est prise en valeur absolue sur ces différences relatives :

Identification	Type de référence	Valeur de référence	Tolérance
TRACTION - PHASE ELASTIQUE $t=0.25$		-	
Différence relative des forces $\overrightarrow{FX}$ en $A2-A4$	NON_REGRESSION	0.195288585	1 10 <sup>-6</sup>
ENDO ISOT			
Différence relative des forces $FX$ en $B$ LABORD 1D	NON_REGRESSION	1.95338104	$1 \ 10^{-6}$
Différence relative des déplacements $DY$ en $A\overline{2}-A4$	NON_REGRESSION	0.33511651	1 10-6
ENDO ISOT			
TRACTION - PHASE ENDOMMAGEMENT $t=1,0$			
Différence relative des forces $FX$ en $A2-A4$	NON_REGRESSION	0.38598977	1 10 -6
ENDO ISOT			
Différence relative des forces $FX$ en $B$ LABORD_1D	NON_REGRESSION	0.35971002	1 10 <sup>-6</sup>
TRACTION - PHASE DECHARGEMENT $t=1,5$			
Différence relative des forces $FX$ en $A2-A4$	NON_REGRESSION	0.385989778	1 10 -6
ENDO ISOT			
Différence relative des forces $FX$ en $B$ LABORD 1D	NON_REGRESSION	14.04965198	4. 10 -5
COMPRESSION - PHASE CHARGEMENT (toujours			
élastique) $t=2,5$		0 0 0 0 0 0 0 0 0 0 0 0 0 0 0 0 0 0 0 0	1 10 6
Différence relative des forces $FX$ en $A2-A4$	NON_REGRESSION	0.078395170	1 10 -
ENDO_ISOT			
Différence relative des forces $FX$ en $B$ LABORD_1D	NON_REGRESSION	-0.06578026	1 10 -6
COMPRESSION - PHASE DECHARGEMENT $t=3,5$			
Différence relative des forces $FX$ en $A2-A4$	NON_REGRESSION	0.078395170	1 10 -6
ENDO ISOT			
Différence relative des forces $FX$ en $B$ LABORD 1D	NON_REGRESSION	0.101212612	1 10 -6

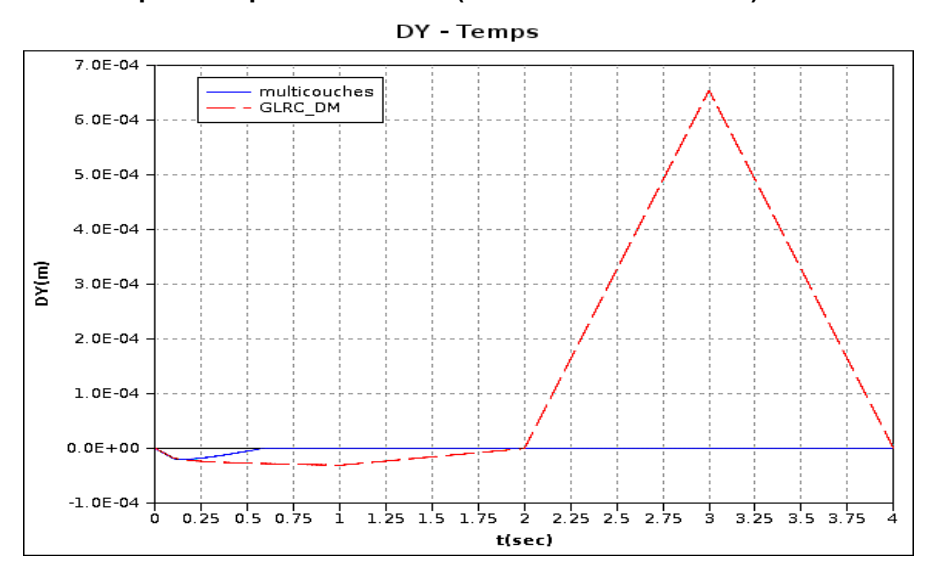
Responsable: Sébastien FAYOLLE

Date: 01/03/2013 Page: 43/63 Clé: V6.05.106 Révision: 10570

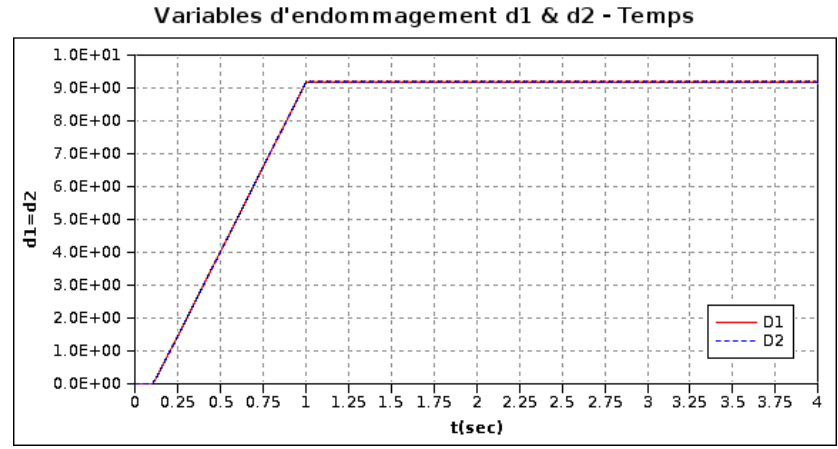
Diagrammes comparés force FX (efforts  $N_{xx}$ ) – déplacement DX en traction/compression pour le chargement f:



Diagrammes comparés déplacement DY (dû à l'effet de Poisson) en fonction du temps :



Diagrammes de l'évolution de l'endommagement du modèle  $\mathtt{GLRC\_DM}$  (  $d_1$  pour la face supérieure et  $d_2$  pour la face inférieure) en fonction du temps :



Manuel de validation

Fascicule v6.05 : Statique non linéaire des plaques et des coques

Date: 01/03/2013 Page: 44/63 Responsable: Sébastien FAYOLLE Clé: V6.05.106 Révision: 10570

#### 10.5 Remarques

Le cas test effectué ici vise à tester GLRC DM sous des sollicitations assez importantes pour qu'apparaisse effectivement la reprise de raideur des aciers sur les références EIB et LABORD 1D. Ce cas test reprend le cas test SSNS106A en ajoutant la référence LABORD 1D afin de comparer le modèle global GLRC DM avec un modèle adoucissant prenant en compte un comportement du béton plus proche de la réalité (refermeture de fissures, comportement adoucissant, dissymétrie tractioncompression). On remarque alors sur la courbe Efforts-déplacements que la réponse donnée par GLRC DM se rapproche des réponses données par les deux références.

On remarque d'autre part sur la courbe des déplacements DY dûs à l'effet de poisson, de grandes différences entre la courbe GLRC DM et la courbe EIB. Ceci s'explique par le fait que les déplacements DY sont calculés, dans le calcul multi-couches (EIB) sur les couches de béton, or la sollicitation appliquée est telle que le béton arrive à sa ruine aux alentours de l'instant 0.1.

Titre : SSNS106 - Endommagement d'une plaque plane sous so[...] Date : 01/03/2013 Page : 45/63
Responsable : Sébastien FAYOLLE Clé : V6.05.106 Révision : 10570

### 11 Modélisation I

### 11.1 Caractéristiques de la modélisation

Flexion pure alternée.

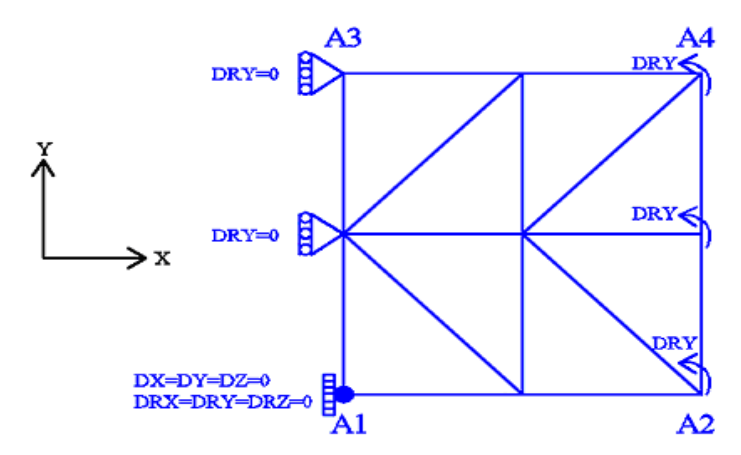


Figure 11.1-a: maillage et conditions aux limites

Modélisation : DKTG Conditions aux limites :

- DRY = 0.0 sur l'arête  $A_1 A_3$
- $D\!RY\!=\!R_{0}\!\times\!f\left(t\right)\,$  sur l'arête  $\,A_{2}\!-\!A_{4}\,$  ,

où  $R_0 = 3.0 \times 10^{-2}$  et f(t) est l'amplitude du chargement cyclique en fonction du paramètre (de pseudo-temps) t.

Pour vérifier le modèle, on considère la fonction de chargement suivante :

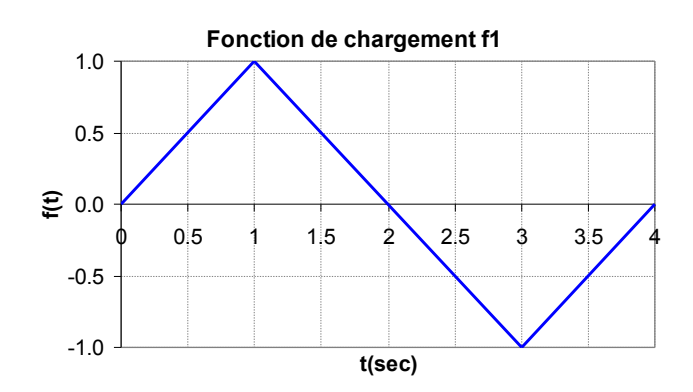


Figure 11.1-b: fonction de chargement

# 11.2 Caractéristiques du maillage

Nombre de nœuds : 9.

Nombre de mailles: 8 TRIA3; 8 SEG2.

# 11.3 Solution de référence LABORD\_1D

En plus de la solution de référence multicouches présentée au §2, on crée une seconde solution de référence à l'aide de la loi de comportement LABORD\_1D [R7.01.07]. Cette seconde solution de référence est obtenue par une modélisation 1D en poutre multi-fibres, où le chargement est le

Révision: 10570

Date: 01/03/2013 Page: 46/63

Clé: V6.05.106

Titre: SSNS106 - Endommagement d'une plaque plane sous so[...]

Responsable : Sébastien FAYOLLE

même que celui des solutions multi-couches et <code>GLRC\_DM</code>. On modélise le béton et les armatures séparément.

Cette solution découlant d'un calcul 1D, elle ne pourra prendre en compte les effets de poisson.

La longueur de la poutre est prise égale à 1m tandis que sa section est de  $1 \times 0.1m$  afin de correspondre aux dimensions de la plaque utilisée pour le calcul multi-couches et global.

### 11.3.1 Maillages et modèles

Il est nécessaire de définir deux maillages :

un maillage 1D longitudinal de la poutre, comprenant 2 nœuds et 1 élément (POU D EM).



un maillage 2D de la section transversale de béton.



Au maillage 1D, on associe le modèle de poutre multi-fibres. Le « maillage » 2D n'est en fait que la représentation des fibres utilisées pour le calcul multi-fibres. Sur ce « maillage », on va ajouter deux fibres d'acier à l'aide de l'opérateur <code>DEFI\_GEOM\_FIBRE</code> et du mot-clé facteur <code>FIBRE</code>. La surface de chaque fibre d'armatures est de  $8.0 \times 10^{-4} \, m^2$  et leur position dans l'épaisseur est  $(0.0\,,\pm\,0.04\,m)$ 

La fissuration du béton est modélisée par la loi de comportement LABORD\_1D, tandis qu'on suppose que l'acier reste toujours dans le domaine élastique.

### 11.3.2 Propriétés des matériaux

Béton (modèle LABORD\_1D):

Module de Young :  $E_b = 32308.0 \, MPa$ 

Coefficient de Poisson :  $v_b = 0.00$ 

Seuil initial d'endommagement en traction (positif) :  $Y_{01} = 341.0 \ J.m^{-3}$ 

Seuil initial d'endommagement en compression (positif) :  $Y_{02} = 7075.0 \, J.m^{-3}$ 

Contrainte de refermeture totale des fissures en compression :  $\sigma_f$ =3.5 MPa

Paramètres caractéristiques du matériau :

$$A_1 = 0.01038$$
;  $A_2 = 0.5999E - 5$   
 $B_1 = 1.2$ ;  $B_2 = 2.0$   
 $\beta_1 = 0.867 MPa$ ;  $\beta_2 = -35 MPa$ 

Acier :

 $\label{eq:module de Young: Ea} \ \ E_a = 200000.0 \ \mathit{MPa}$ 

Limite de linéarité  $\sigma_e^{acier}$  : 570.0 MPa

Pente post-élastique  $E_{\acute{e}crouis}^{acier}$  : = 0.0015  $E_a$  = 300 MPa .

Titre: SSNS106 - Endommagement d'une plaque plane sous so[...]
Responsable: Sébastien FAYOLLE

ne sous so[...] Date : 01/03/2013 Page : 47/63 Clé : V6.05.106 Révision : 10570

#### 11.4 Valeurs testées et résultats

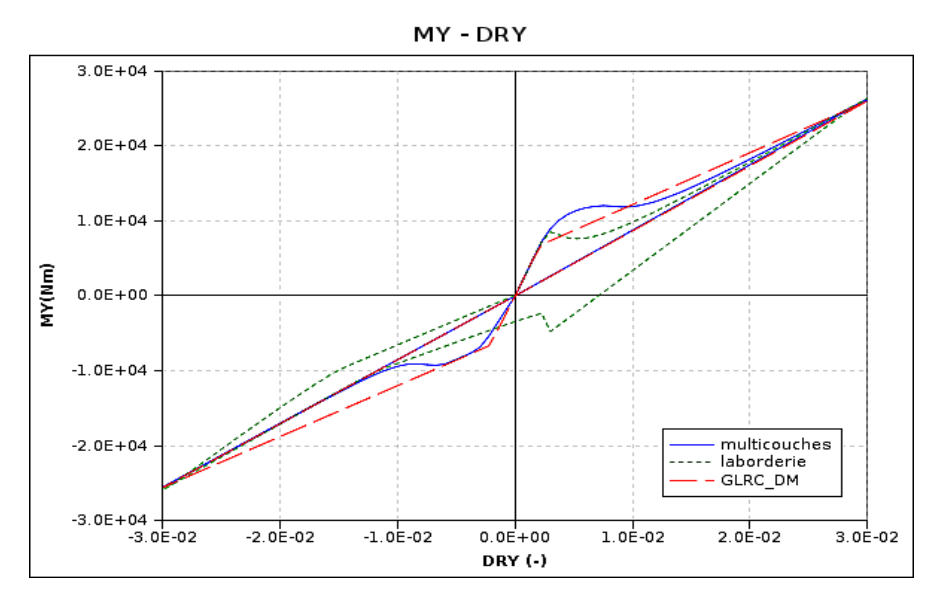
On compare les forces de réactions moyennes selon l'axe Ox et les déplacements moyens selon l'axe Oy obtenus par la modélisation multi-couches (référence), par la modélisation multi-fibres (référence 2) et par celle reposant sur le modèle <code>GLRC\_DM</code>, en terme de différences relatives; la tolérance est prise en valeur absolue sur ces différences relatives :

Identification	Type de référence	Valeur de référence	Toléranc e
FLEXION POSITIVE - PHASE ELASTIQUE $t=0.25$			
Différence relative des moments $MY$ en $A2-A4$	NON_REGRESSION	-0.131037	1 10 <sup>-6</sup>
$rac{ ilde{E}NDO\_ISOT}{ ilde{D}iff\'erence}$ relative des moments $MY$ en $B$	NON_REGRESSION	0.263299	1 10 <sup>-6</sup>
${\it LABORD\_1D}$ Différence relative des rotations $DRX$ en $A2-A4$	NON_REGRESSION	0.056251	1 10 <sup>-6</sup>
${\it ENDO\_ISOT} \\ {\it FLEXION POSITIVE - PHASE ENDOMMAGEMENT} \\ t\!=\!1,\!0$			
Différence relative des moments $MY$ en $A2-A4$	NON_REGRESSION	-0.0093348	1 10 -6
$rac{ ilde{E}NDO\_ISOT}{ ilde{D}iff\'erence}$ relative des moments $MY$ en $B$	NON_REGRESSION	-0.012608	1 10-6
LABORD_1D FLEXION POSITIVE - PHASE DECHARGEMENT $t=1,5$			
Différence relative des moments $MY$ en $A2-A4$	NON_REGRESSION	-0.0093348	1 10 -6
${ t ENDO\_ISOT} \ { t Différence}$ relative des moments $MY$ en $B$	NON_REGRESSION	0.414629	1 10 -6
FLEXION NEGATIVE - PHASE ELASTIQUE $t = 2,25$ Différence relative des moments $MY$ en $A2-A4$	NON_REGRESSION	0.116694	1 10 -6
${ ilde {\it ENDO}}_{-} { ilde {\it ISOT}}$ Différence relative des moments $MY$ en $B$	NON_REGRESSION	0.352502	1 10 -6
$LABORD\_1D$ FLEXION NEGATIVE - PHASE ENDOMMAGEMENT $t=3,0$			
Différence relative des moments $MY$ en $A2-A4$	NON_REGRESSION	0.0011557	1 10 -6
${ t ENDO\_ISOT} \ { t Différence}$ relative des moments $MY$ en $B$	NON_REGRESSION	-0.011571	1 10 -6
LABORD_1D FLEXION NEGATIVE - PHASE DECHARGEMENT $t=3.5$			
Différence relative des moments $MY$ en $A2-A4$	NON_REGRESSION	0.0011558	1 10 -6
${\it ENDO\_ISOT}$ ${\it Différence}$ ${\it relative}$ ${\it des}$ ${\it moments}$ ${\it MY}$ ${\it en}$ ${\it B}$	NON_REGRESSION	0.290645	1 10 -6
LABORD_1D			

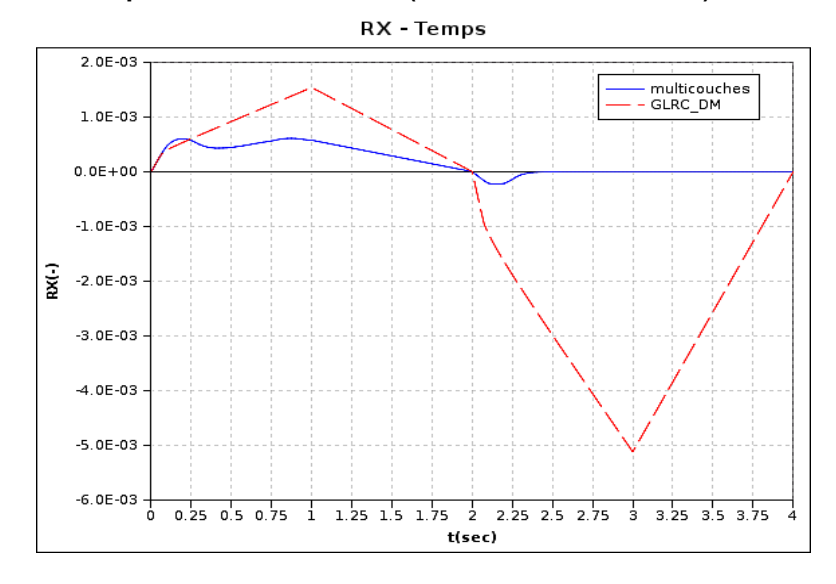
Responsable : Sébastien FAYOLLE

Date : 01/03/2013 Page : 48/63 Clé : V6.05.106 Révision : 10570

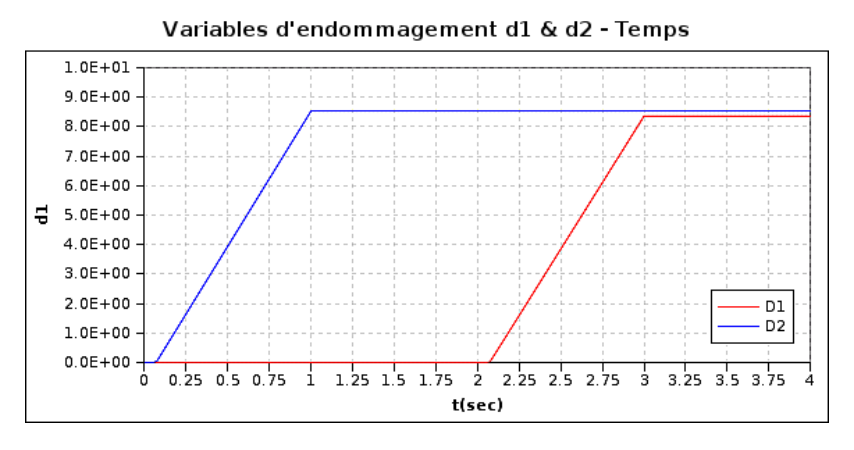
Diagrammes comparés moment  $\,MY$  – rotation  $\,DRY$  en flexion alternée pour le chargement  $\,f$ 



Diagrammes comparés rotation DRX (dû à l'effet de Poisson) en fonction du temps :



Diagrammes de l'évolution de l'endommagement du modèle <code>GLRC\_DM</code> ( $d_1$  pour la face supérieure et  $d_2$  pour la face inférieure) en fonction du temps :



Date: 01/03/2013 Page: 49/63 Responsable: Sébastien FAYOLLE Clé: V6.05.106 Révision: 10570

#### 11.5 Remarques

Le cas test effectué ici vise à tester GLRC DM sous des sollicitations assez importantes pour qu'apparaisse effectivement la reprise de raideur des aciers sur les références EIB et LABORD 1D. Ce cas test reprend le cas test SSNS106B en ajoutant la référence LABORD 1D afin de comparer le modèle global GLRC DM avec un modèle adoucissant prenant en compte un comportement du béton plus proche de la réalité (refermeture de fissures, comportement adoucissant, dissymétrie tractioncompression). On remarque alors sur la courbe moments-rotations que la réponse donnée par GLRC DM se rapproche des réponses données par les deux références.

On peut faire la même remarque qu'au §10.6 sur les rotations DRX cette fois, en effet, les rotations, pour le modèle multi-couches sont elles aussi calculées sur le béton et deviennent donc nulles une fois la ruine du béton atteinte. On constate par ailleurs que la dissipation calculée par GLRC DM se situe entre celle calculée par EIB et celle calculée par LABORD 1D.

Titre : SSNS106 - Endommagement d'une plaque plane sous so[...]

Date : 01/03/2013 Page : 50/63

Responsable : Sébastien FAYOLLE

Clé : V6.05.106 Révision : 10570

### 12 Modélisation J

### 12.1 Caractéristiques de la modélisation

Couplage de Traction - Compression et Flexion.

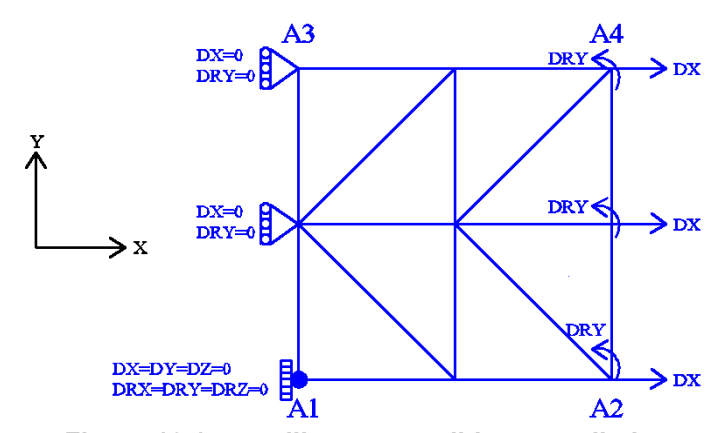


Figure 12.1-a: maillage et conditions aux limites

Modélisation: DKTG

Conditions aux limites : couplage de Traction – Compression et Flexion :

- DX = 0.0 et DRY = 0.0 sur l'arête  $A_1 A_3$
- $DX = U_0 \times f\left(t\right)$  et  $DRY = R_0 \times f\left(t\right)$  sur l'arête  $A_2 A_4$  ,

où  $U_0 = 1. \times 10^{-3}$ ,  $R_0 = 3. \times 10^{-2}$  et f(t) est l'amplitude du chargement cyclique en fonction du paramètre (de pseudo-temps) t.

On considère le chargement suivant :

La même fonction f de chargement pour la membrane et la flexion :

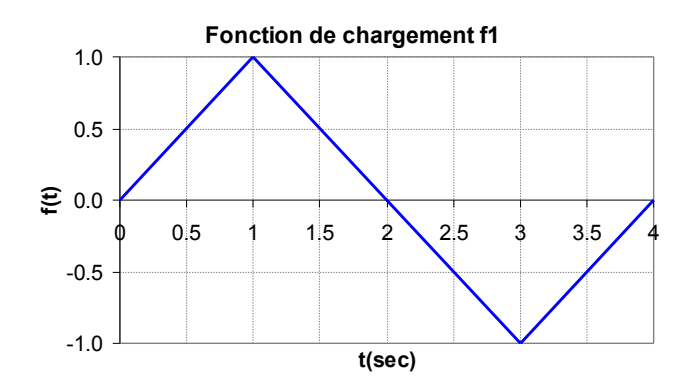


Figure 12.1-b: fonction de chargement

## 12.2 Caractéristiques du maillage

Nombre de nœuds : 9.

Nombre de mailles: 8 TRIA3; 8 SEG2.

# 12.3 Solution de référence LABORD\_1D

On se reportera à la solution de référence LABORD\_1D expliquée pour la modélisation H (§10) de traction-compression pures.

Titre : SSNS106 - Endommagement d'une plaque plane sous so[...]

Responsable : Sébastien FAYOLLE

Date : 01/03/2013 Page : 51/63
Clé : V6.05.106 Révision : 10570

#### 12.4 Valeurs testées et résultats

On compare les forces de réactions moyennes selon l'axe Ox et les déplacements moyens selon l'axe Oy obtenus par la modélisation multi-couches (référence), par la modélisation multi-fibres (référence 2) et par celle reposant sur le modèle <code>GLRC\_DM</code>, en terme de différences relatives; la tolérance est prise en valeur absolue sur ces différences relatives :

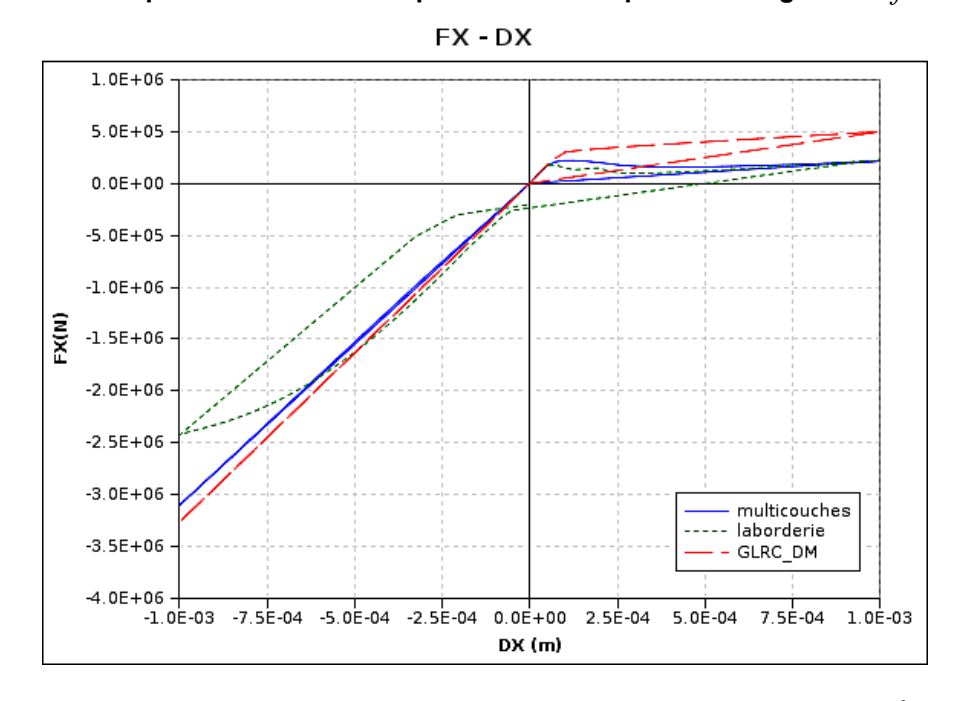
Identification	Type de référence	Valeurs de référence	Toléranc e
TRACTION-FLEXION POSITIVE - PHASE ELASTIQUE $t=0,25$			
	NON_REGRESSION	0.942464	1 10 <sup>-6</sup>
ENDO_ISOT  Différence relative des efforts $FX$ en $B$ LABORD 1D	NON REGRESSION	2.324003	1 10 <sup>-6</sup>
	NON_REGRESSION	0.760269	1 10 <sup>-6</sup>
${ t ENDO\_ISOT} \ { t Différence} \ { t relative} \ { t des} \ { t moments} \ { t MY} \ { t en} \ { t B}$	NON_REGRESSION	0.957721	1 10 <sup>-6</sup>
$LABORD\_1D$ Différence relative des déplacements $DY$ en $A2-A4$	NON_REGRESSION	1.984216	1 10-6
${\scriptsize ENDO\_ISOT}$ TRACTION-FLEXION POSITIVE - PHASE ENDOMMAGEMENT $t\!=\!1,\!0$			
Différence relative des efforts $FX$ en $A2-A4$	NON_REGRESSION	1.310623	1 10 -6
ENDO_ISOT  Différence relative des efforts $FX$ en $B$ LABORD 1D	NON REGRESSION	1.229502	1 10 <sup>-6</sup>
	NON_REGRESSION	0.159191	1 10 -6
${ t ENDO\_ISOT}$ ${ t Différence}$ ${ t relative}$ ${ t des}$ ${ t moments}$ ${ t MY}$ ${ t en}$ ${ t B}$	NON_REGRESSION	0.247438	1 10 <sup>-6</sup>
$LABORD\_1D$ TRACTION-FLEXION POSITIVE - PHASE DECHARGEMENT $t=1,5$			
· · · · · · · · · · · · · · · · · · ·	NON_REGRESSION	1.310623	1 10 -6
ENDO_ISOT	NON REGRESSION	-340.6072	1 10 -6
	NON_REGRESSION	0.159191	1 10 -6
ENDO_ISOT	NON_REGRESSION	0.498459	1 10 -6
LABORD_1D			
COMPRESSION-FLEXION NEGATIVE - PHASE ELASTIQUE $t=2,25$			
Différence relative des moments $MY$ en $A2-A4$	NON_REGRESSION	-0.697620	1 10 -6
${ t ENDO\_ISOT} \ { t Difference}$ relative des moments $MY$ en $B$	NON_REGRESSION	-0.719143	1 10 -6
${\it LABORD\_1D}$ COMPRESSION-FLEXION NEGATIVE - PHASE ENDOMMAGEMENT $t=3,0$			
Différence relative des efforts $FX$ en $A2-A4$	NON_REGRESSION	0.052263	1 10 -6
ENDO_ISOT			
Différence relative des efforts $FX$ en $B$ LABORD_1D Différence relative des moments $MY$ en $A2-A4$	NON_REGRESSION	0.346083	1 10 -6
	NON DECDERATOR	0 (05(00	1 10 -6

LABORD 1D

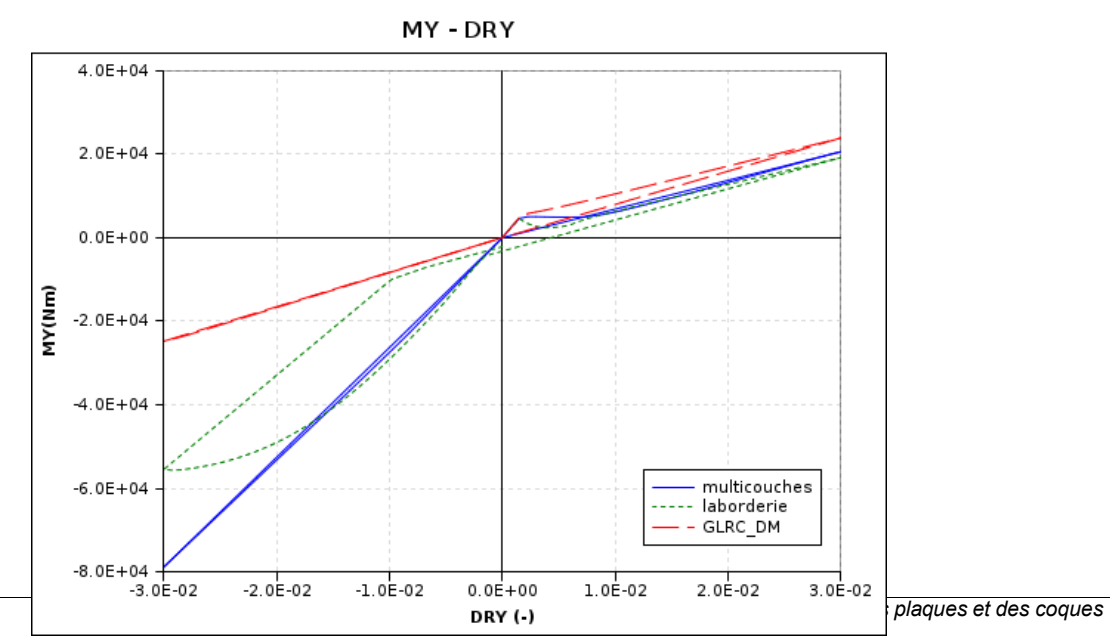
Manuel de validation

Titre : SSNS106 - Endommagement d'une plaque plane sous so[] Responsable : Sébastien FAYOLLE	Date : 01/03/2013
${ t ENDO\_ISOT}$ ${ t Différence}$ ${ t relative}$ ${ t des}$ ${ t moments}$ ${ t MY}$ ${ t en}$ ${ t B}$ ${ t NON\_REGRES}$	SION -0.553360 1 10 <sup>-6</sup>
$LABORD\_1D$ FLEXION NEGATIVE - PHASE DECHARGEMENT $t=3.5$	
Différence relative des efforts $FX$ en $A2-A4$ NON_REGRES	SION $0.052263$ 1 10 $^{-6}$
ENDO_ISOT  Différence relative des efforts $FX$ en $B$ LABORD_1D NON_REGRES  Différence relative des moments $MY$ en $A2-A4$ NON_REGRES	
${ t ENDO\_ISOT} \ { t Difference} \ { t relative} \ { t des} \ { t moments} \ { t MY} \ { t en} \ { t B} \ { t NON\_REGRES}$	SION -0.427322 1 10 <sup>-6</sup>

### Diagrammes comparés force FX – déplacement DX pour le chargement f:

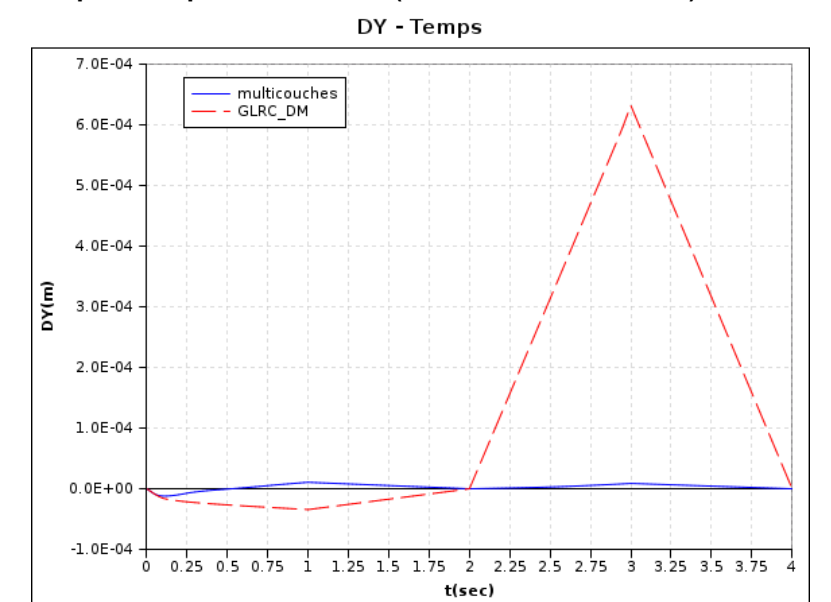


## Diagrammes comparés moment MY – rotation DRY pour le chargement f :

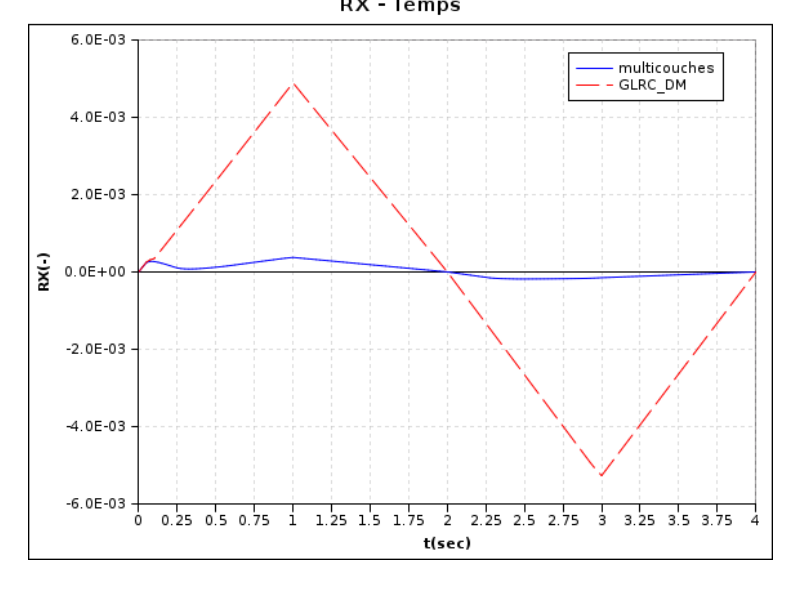


Date: 01/03/2013 Page: 53/63 Responsable: Sébastien FAYOLLE Clé: V6.05.106 Révision: 10570

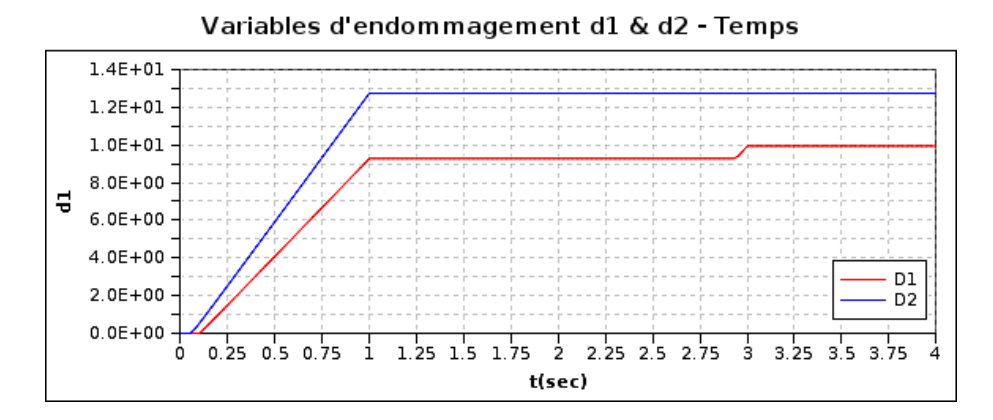
#### Diagrammes comparés déplacement DY (dû à l'effet de Poisson) en fonction du temps :



Diagrammes comparés rotation DRX (dû à l'effet de Poisson) en fonction du temps : RX - Temps



Diagrammes de l'évolution de l'endommagement du modèle GLRC DM ( $d_1$  pour la face supérieure et  $\,d_{\,2}\,$  pour la face inférieure) en fonction du temps :



Version default

Titre : SSNS106 - Endommagement d'une plaque plane sous so[...]

Responsable : Sébastien FAYOLLE

Date : 01/03/2013 Page : 54/63
Clé : V6.05.106 Révision : 10570

### 12.5 Remarques

Le cas test effectué ici vise à tester <code>GLRC\_DM</code> sous des sollicitations assez importantes pour qu'apparaisse effectivement la reprise de raideur des aciers sur les références <code>EIB</code> et <code>LABORD\_1D</code>. Ce cas test reprend le cas test <code>SSNS106C</code> en ajoutant la référence <code>LABORD\_1D</code> afin de comparer le modèle global <code>GLRC\_DM</code> avec un modèle adoucissant prenant en compte un comportement du béton plus proche de la réalité (refermeture de fissures, comportement adoucissant, dissymétrie traction-compression). On remarque alors les efforts ultimes donnés par la modélisation <code>GLRC\_DM</code> sont surestimés par rapport aux modèles <code>EIB</code> et <code>LABORD\_1D</code>. D'autre part, on peut voir sur la courbe moment-rotation que le modèle global <code>GLRC\_DM</code> ne reprend pas de raideur de flexion lors du rechargement en flexion négative et que cela mène à une sous estimation des moments mis en jeu.

Titre : SSNS106 - Endommagement d'une plaque plane sous so[...]

Responsable : Sébastien FAYOLLE

Date : 01/03/2013 Page : 55/63
Clé : V6.05.106 Révision : 10570

### 13 Modélisation K

### 13.1 Caractéristiques de la modélisation

Compression - traction avec ALPHA C=100

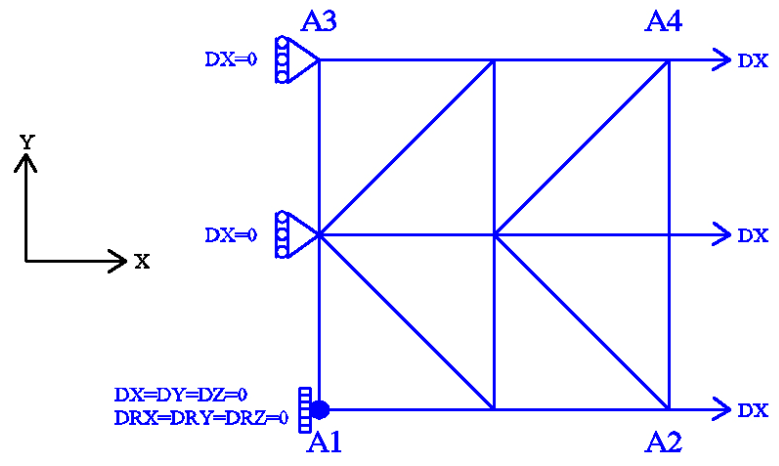


Figure 13.1-a: maillage et conditions aux limites.

Modélisation : DKTG Conditions aux limites :

- Encastrement en  $A_1$ ;
- DX = 0.0 sur l'arête  $A_1 A_3$ ;
- $DX = U_0 \times f(t)$  sur l'arête  $A_2 A_4$  ;

où  $U_0 = 2.0 \times 10^{-4} \, m$  et f(t) représentent l'amplitude du chargement cyclique en fonction du paramètre (de pseudo-temps) t. Pour bien vérifier le modèle, on considère deux fonctions de chargement comme suit :

## Fonction de chargement f

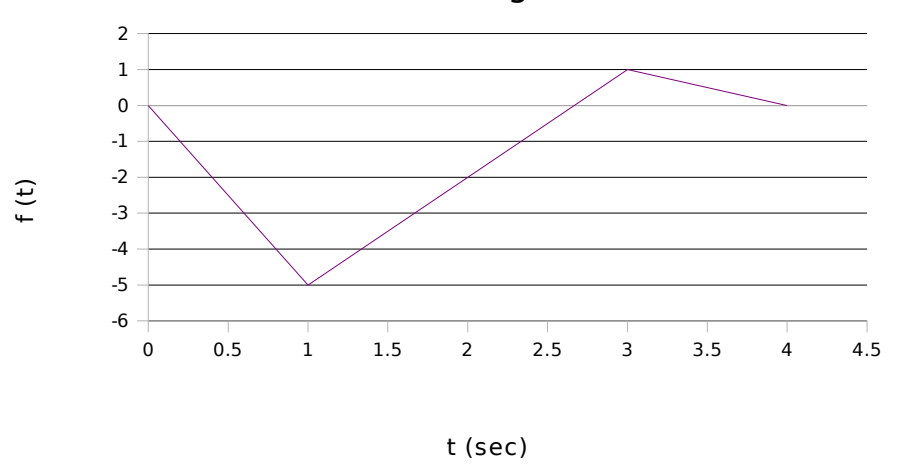


Figure 13.1-b: Fonctions de chargement.

# 13.2 Caractéristiques du maillage

Nombre de nœuds : 9. Nombre de mailles : 8 TRIA3 ; 8 SEG2.

Date: 01/03/2013 Page: 56/63

Titre: SSNS106 - Endommagement d'une plaque plane sous so[...]

Responsable : Sébastien FAYOLLE Clé : V6.05.106 Révision : 10570

#### 13.3 Valeurs testées et résultats

On compare les forces de réactions moyennes selon l'axe Ox et les déplacements moyens selon l'axe Oy obtenus par la modélisation multi-couches (référence) et par celle reposant sur le modèle  ${\tt GLRC\_DM}$ , en terme de différences relatives; la tolérance est prise en valeur absolue sur ces différences relatives :

Identification	Type de référence	Valeur de référence	Tolérance
Dissipation à $t=0.05$	ANALYTIQUE	0	5 10 <sup>-2</sup>
Dissipation à $t=0.75$	NON_REGRESSION	254.9756	$5 \ 10^{-2}$
Dissipation à $t=1$ COMPRESSION $t=0.25$	NON_REGRESSION	346.5721	5 10 <sup>-2</sup>
Différence relative des forces $FX$ en $A2-A4$	NON_REGRESSION	4.046337 105	5 10 <sup>-2</sup>
Différence relative des déplacements $DY$ en	ANALYTIQUE	0	5 10 <sup>-2</sup>
A2-A4 COMPRESSION $t=1,0$ Différence relative des forces $FX$ en $A2-A4$ Différence relative des déplacements $DY$ en	NON_REGRESSION ANALYTIQUE	5.204660 10 <sup>5</sup>	5 10 <sup>-2</sup> 0.1
A2-A4 COMPRESSION $t=1,5$ Différence relative des forces $FX$ en $A2-A4$ Différence relative des déplacements $DY$ en	NON_REGRESSION ANALYTIQUE	-2.687820 10 <sup>6</sup>	5 10 <sup>-2</sup> 0.1
A2-A4 TRACTION $t=3,0$ Différence relative des forces $FX$ en $A2-A4$ Différence relative des déplacements $DY$ en	NON_REGRESSION ANALYTIQUE	-4.175743 10 <sup>6</sup>	5 10 <sup>-2</sup> 0.1
A2-A4 TRACTION $t=3,5$ Différence relative des forces $FX$ en $A2-A4$ Différence relative des déplacements $DY$ en $A2-A4$	NON_REGRESSION ANALYTIQUE	-2.087571 10 <sup>6</sup>	5 10 <sup>-2</sup> 0.1

Titre : SSNS106 - Endommagement d'une plaque plane sous so[...] Date : 01/03/2013 Page : 57/63
Responsable : Sébastien FAYOLLE Clé : V6.05.106 Révision : 10570

### 14 Modélisation L

### 14.1 Caractéristiques de la modélisation

Chargement température évolutif tel que la déformation thermique associée soit égale à la déformation mécanique de la modélisation A.

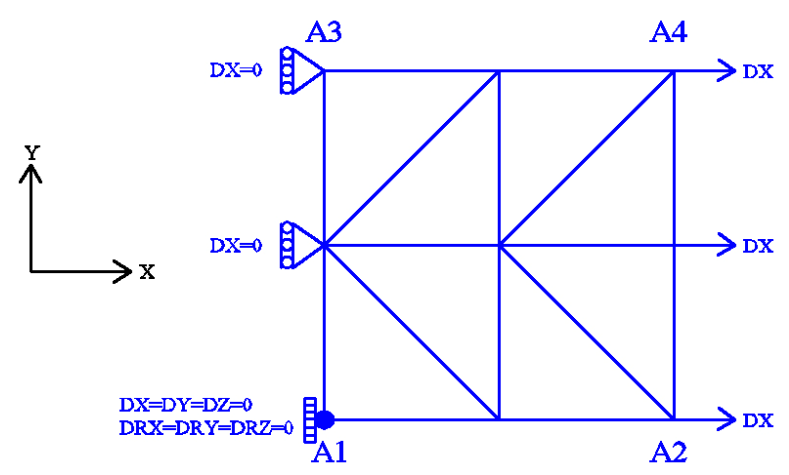


Figure 14.1-a: maillage et conditions aux limites.

Modélisation : DKTG Conditions aux limites :

- Encastrement en  $A_1$ ;
- DX = 0.0 sur l'arête  $A_1 A_3$ ;
- $DX = U_0 \times f(t)$  sur l'arête  $A_2 A_4$  avec ici  $U_0 = 0.0$

Dans la modélisation A on avait  $U_0 = 2.0 \times 10^{-4} \, m$ 

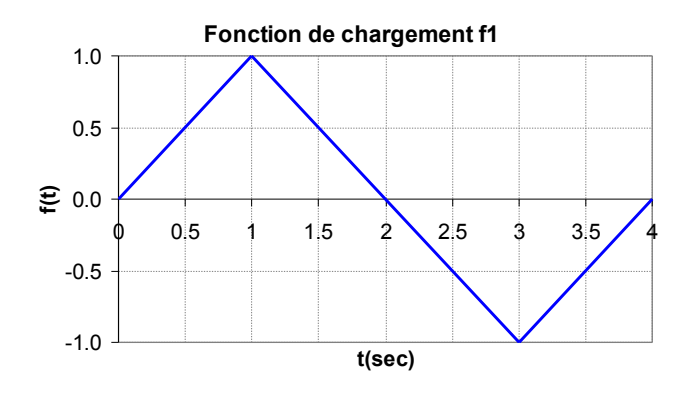
La thermique doit donc vérifier l'équation  $-\alpha(T-T_{ref})=DX=2.0\times10^{-4}\times f(t)$ 

- On prend  $T_{ref} = 10$ .  $\alpha = 1.0 \times 10^{-5}$ 

Pour f(t)=1 on doit donc avoir T=-10 comme température dans la coque Pour f(t)=-1 on doit avoir T=30.

et faire varier linéairement la température entre ces valeurs.

Les deux fonctions de chargement sont les mêmes que pour la modélisation A :



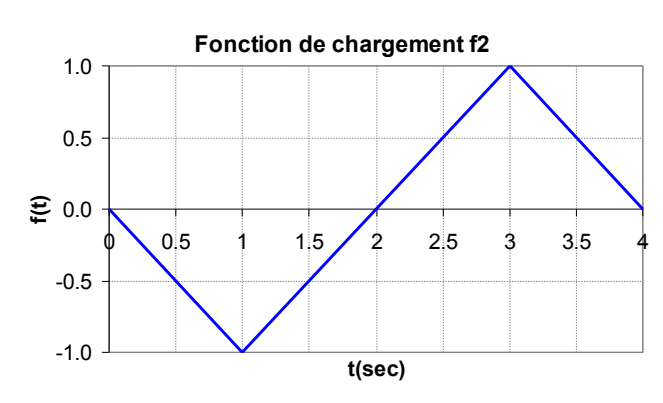


Figure 14.1-b: Fonctions de chargement f1 (gauche) et f2 (droite).

Ici on les applique à la température.

Date: 01/03/2013 Page: 58/63 Responsable: Sébastien FAYOLLE Clé: V6.05.106 Révision: 10570

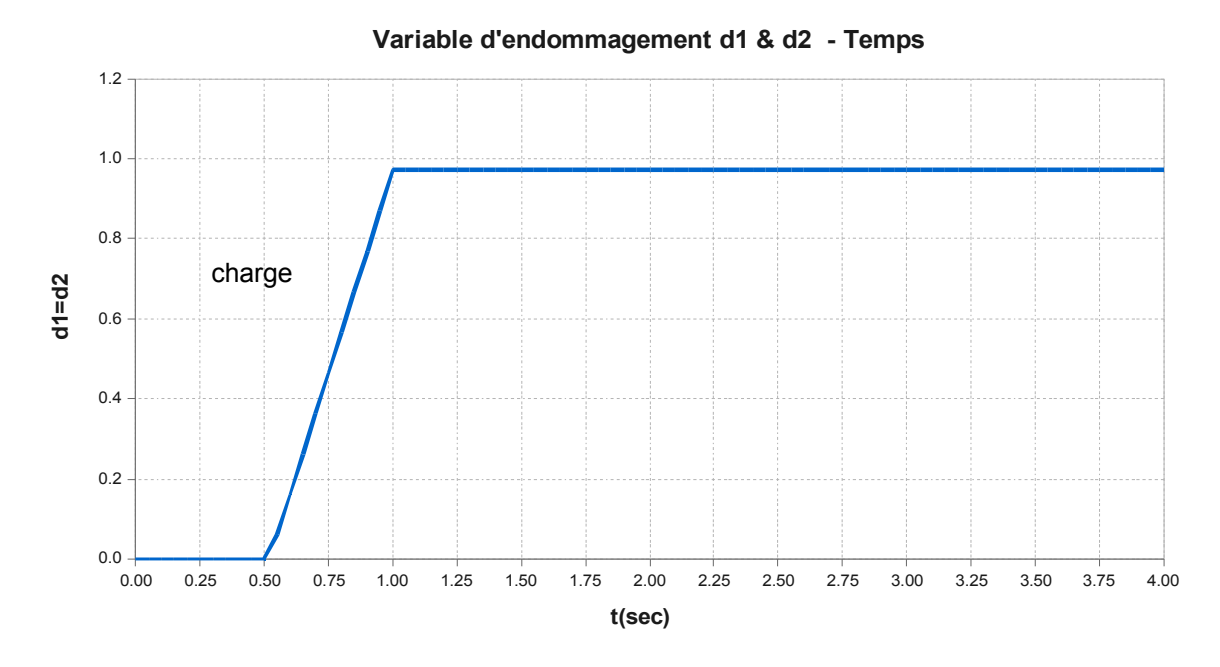
#### 14.2 Caractéristiques du maillage

Nombre de nœuds : 9. Nombre de mailles : 8 TRIA3 ; 8 SEG2.

### 14.3 Valeurs testées et résultats pour la fonction de chargement f1

On teste l'énergie dissipée qui a le même profil que pour la modélisation A.

Diagrammes de l'évolution de l'endommagement du modèle  ${\tt GLRC\_DM}$  ( $d_1$  pour la face supérieure et  $\,d_{\,2}\,$  pour la face inférieure) en fonction du temps :



A partir des variables d'endommagement, on teste également l'énergie dissipée qui s'écrit : [R7.01.32 §2.7]

$$E = k_0 \times (d_1 + d_2)$$
 avec ici  $k_0 = 8.89910 J/m^2$ 

L'énergie dissipée a donc le même profil que la courbe ci-dessus.

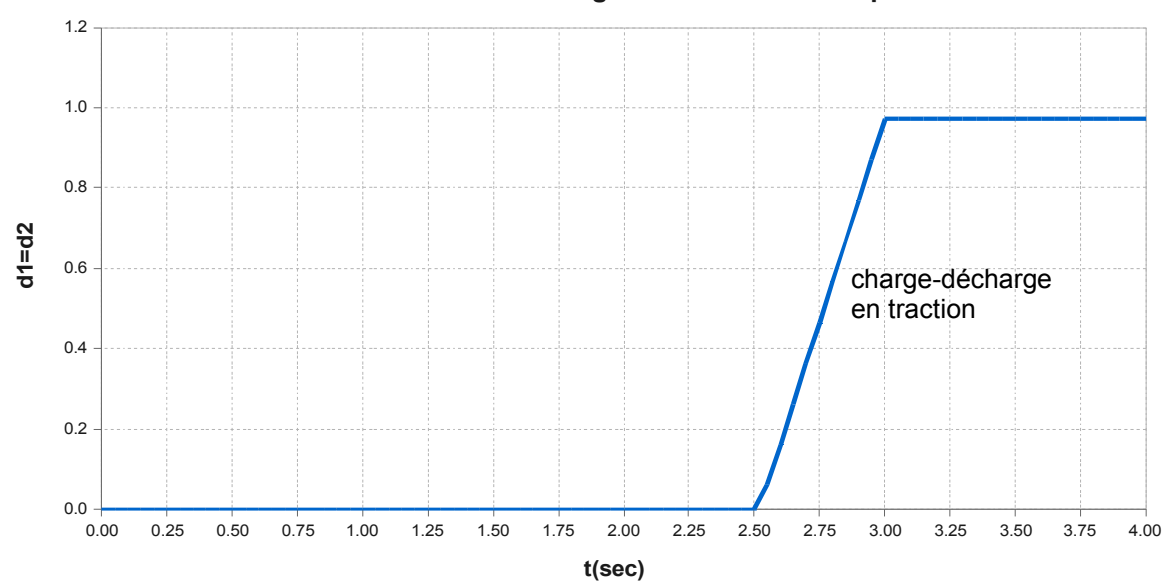
# 14.4 Valeurs testées et résultats pour la fonction de chargement f2

Les variables d'endommagement d1 et d2 varient de la même façon que pour la modélisation A.

Titre: SSNS106 - Endommagement d'une plaque plane sous so[...] Responsable: Sébastien FAYOLLE

Date : 01/03/2013 Page : 59/63 Clé : V6.05.106 Révision : 10570

#### variable d'endommagement d1 & d2 - Temps



Titre : SSNS106 - Endommagement d'une plaque plane sous so[...]

Date : 01/03/2013 Page : 60/63

Responsable : Sébastien FAYOLLE

Clé : V6.05.106 Révision : 10570

## 15 Modélisation M

### 15.1 Caractéristiques de la modélisation

On applique une différence de température dans l'épaisseur telle que la flexion engendrée soit la même en terme d'efforts que celle de la modélisation B.

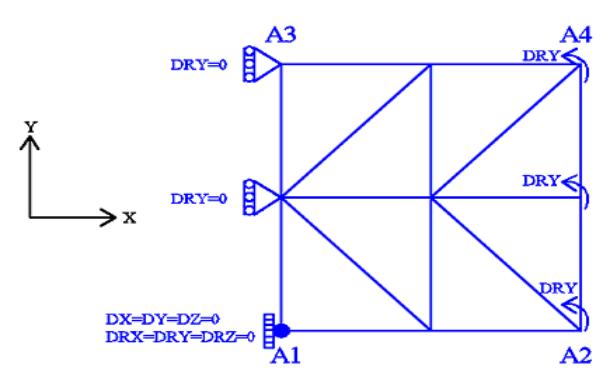


Figure 15.1-a: maillage et conditions aux limites

Modélisation : DKTG Conditions aux limites :

• DRY = 0.0 sur l'arête  $A_1 - A_3$ 

•  $DRY = R_0 \times f(t)$  sur l'arête  $A_2 - A_4$  avec ici  $R_0 = 0.0$ 

Dans la modélisation B on avait  $R_0 = 6 \times 10^{-3}$ 

La thermique doit donc vérifier l'équation  $-\alpha T_{gra} = DRY = 6 \times 10^{-3} \times f\left(t\right)$  avec  $T_{gra} = \left(T_{su} - T_{inf}\right)/e$  où e est l'épaisseur.

Pour f(t)=1. on doit donc avoir  $T_{su}-T_{inf}=-60$ . comme gradient dans l'épaisseur.

Pour f(t)=-1 on doit avoir  $T_{su}-T_{inf}=60$ .

et faire varier linéairement la température entre ces valeurs.

Les 3 fonctions de chargement sont les mêmes que pour la modélisation B :

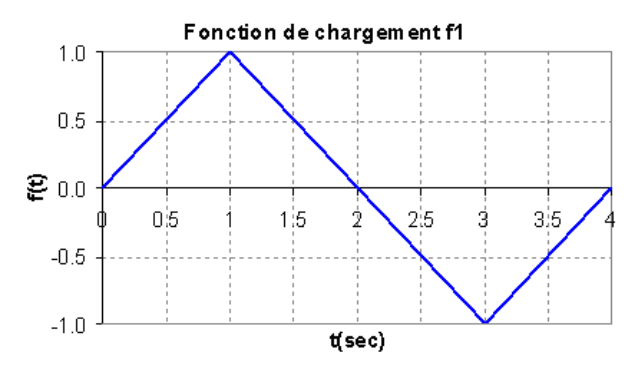


Figure 15.1-b: Flexion positive, puis flexion négative

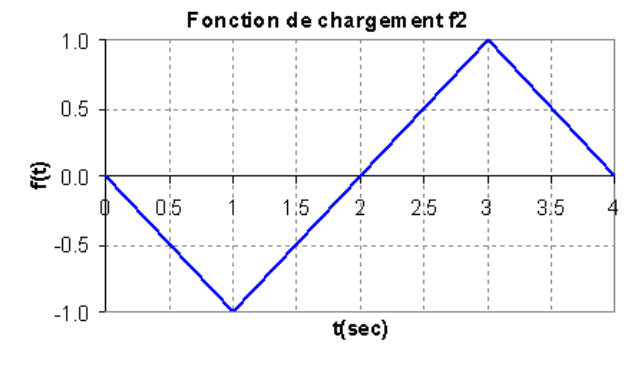


Figure 15.1-c: Flexion négative, puis flexion positive

Date: 01/03/2013 Page: 61/63 Responsable: Sébastien FAYOLLE Clé: V6.05.106 Révision: 10570

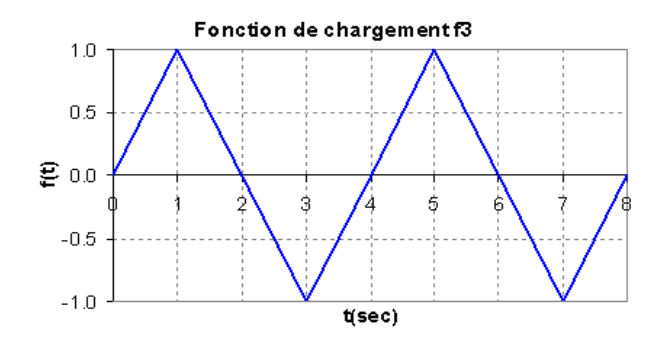


Figure 15.1-d: Deux cycles de flexion alternée

Note : la déformation extrémale des aciers est :  $2.4 \times 10^{-3}$  , soit en-deçà du passage en plasticité des aciers. Incrément d'intégration : 0.05 s .

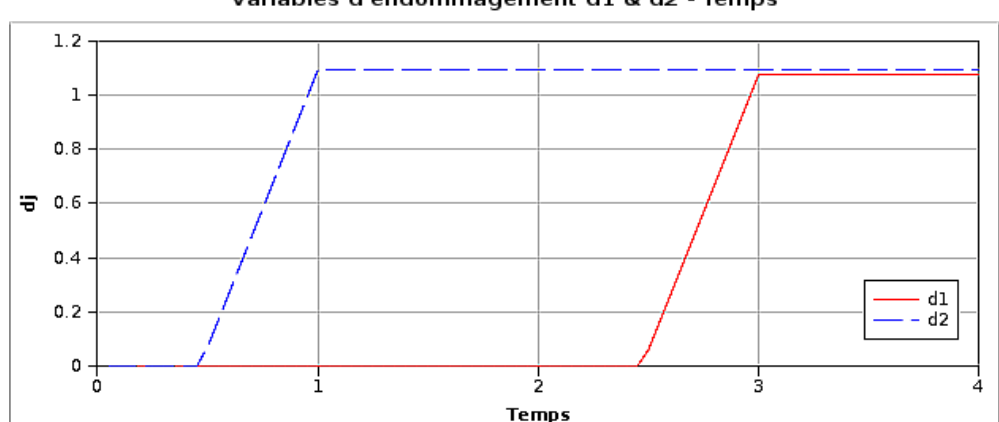
### 15.2 Caractéristiques du maillage

Nombre de nœuds : 9. Nombre de mailles : 8 TRIA3.

### 15.3 Grandeurs testées et résultats pour la fonction de chargement f1

Les variables d'endommagement d1 et d2 varient de la même façon que pour la modélisation B.

Diagrammes de l'évolution de l'endommagement du modèle  ${\tt GLRC\_DM}$  ( $d_1$  pour la face supérieure et  $d_2$  pour la face inférieure) en fonction du temps :



Variables d'endommagement d1 & d2 - Temps

# 15.4 Grandeurs testées et résultats pour la fonction de chargement f3

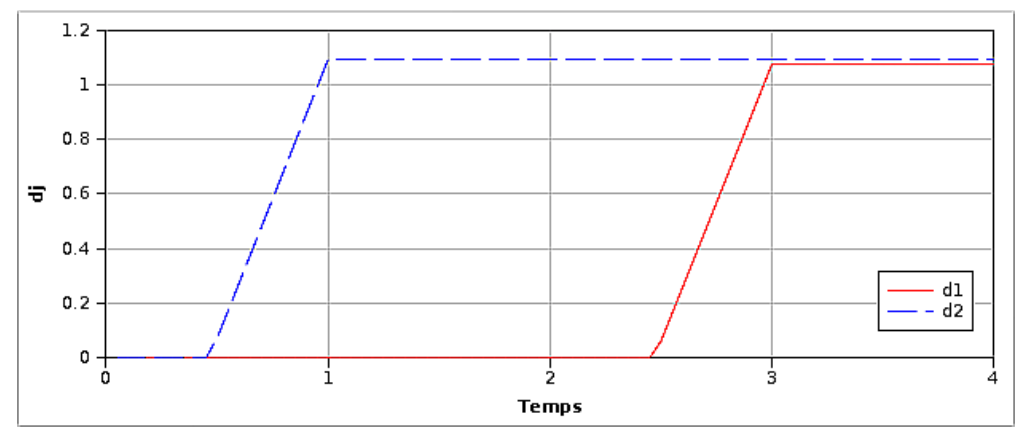
Les variables d'endommagement d1 et d2 varient de la même façon que pour la modélisation B.

Responsable: Sébastien FAYOLLE

Date: 01/03/2013 Page: 62/63 Clé: V6.05.106 Révision: 10570

Diagrammes de l'évolution de l'endommagement du modèle <code>GLRC\_DM</code> (  $d_1$  pour la face supérieure et  $d_2$  pour la face inférieure) en fonction du temps :

Variables d'endommagement d1 & d2 - Temps



Révision: 10570

Titre: SSNS106 - Endommagement d'une plaque plane sous so[...] Date: 01/03/2013 Page: 63/63 Responsable: Sébastien FAYOLLE Clé: V6.05.106

#### 16 Synthèse des résultats

Ces tests ayant pour but de valider le modèle GLRC DM servent aussi à montrer un certain nombre de ces faiblesses. En résumé les rôle des tests sont les suivants :

- A: Tester uniquement le comportement en traction/compression sous la condition d'uniformité (quasi 1D ). On identifie les paramètres membrane.
- B: Tester uniquement le comportement en flexion cyclique sous la condition d'uniformité (quasi 1D). On identifie les paramètres flexion.
- C: Tester le comportement couplant les phénomènes de membrane et de flexion sous la condition d'uniformité (quasi 1D).
- **D**: Tester le comportement pour le cisaillement et la distorsion dans le plan
- *E* : Tester le couplage de flexion et cisaillement dans le plan.
- F: Tester le comportement traction compression pure avec « kit dll » de comportement élastoplastique endommageable (GLRC DM + Von Mises).
- G: Tester le comportement traction compression pure avec « kit\_ddl » de comportement élastoplastique endommageable (GLRC DM + Von Mises).
- H: Tester le comportement en traction-compression avec des sollicitations importantes pour évaluer les paramètres membrane identifiés dans le test A
- I: Tester le comportement en flexion alternée avec des sollicitations importantes pour évaluer les paramètres flexion identifiés dans le test B
- $oldsymbol{J}$  : Tester le comportement en traction-flexion alternées avec des sollicitations importantes pour apprécier le comportement sous sollicitations couplées.
- L : Tester un chargement température provoquant des déformations de membrane.
- **M**: Tester un chargement température provoquant des déformations de flexion.

Dans la plupart des situations des modélisations A à E, les déplacements, les efforts et les moments prédits par le modèle GLRC DM sont représentés avec une erreur modeste (<10%) par référence à un modèle multicouche, ce qui semble tout à fait satisfaisant pour un modèle ayant vocation à représenter le comportement « global » d'une structure. L'erreur plus importante est observée (~25%) lors des tests sur l'effet de Poisson dans la phase endommageante et lorsque l'endommagement est activé en membrane-flexion couplés. Le premier défaut est moins important si on s'intéresse plus à l'énergie dissipée dans le système et moins aux déplacements. Le deuxième défaut est plus gênant et montre bien qu'un modèle « global » optimal devrait toujours être calé par rapport à la sollicitation principale que l'on souhaite modéliser : on choisira en conséquence les paramètres du modèle. La contribution principale à l'erreur est probablement due à l'anisotropie du béton armé non prise en compte par le modèle (voir R7.01.32).

Les deux modélisations F et G où on évalue le « kit » GLRC DM et élastoplasticité de Von Mises ont surtout une valeur démonstrative des possibilités offertes.

Les résultats de la modélisation L (resp. M) sont les mêmes que ceux de la modélisation A.